

B. Prov.

XVIII

255

29-9-16



130 ITI

105

7

24

B Prov.
XVIII.
255

He bentos

B. Prov. II

2408 - 2112



642785

TRAITÉ DE PALEONTOLOGIE OU HISTOIRE NATURELLE DES ANIMAUX FOSSILES CONSIDÉRÉS DANS LEURS RAPPORTS ZOOLOGIQUES ET GÉOLOGIQUES

PAR

F.-J. PICTET,

Professeur de zoologie et d'anatomie comparée à l'Académie de Genève.

ATLAS DE 110 PLANCHES.



J.-B. BAILLIÈRE ET FILS
LIBRAIRES DE L'ACADEMIE IMPÉRIALE DE MÉDECINE
Rue Basteille, 19

LONDRES | NEW-YORK
E. BAILLIÈRE, 219, REGENT-STREET | E. BAILLIÈRE, 250, BROADWAY
MADRID, C. BAILLY-BAILLIÈRE, CALLE DEL PRINCIPE, 11

1853—1857



Paris. — Imprimerie de L. Mame, rue Blaize, 8.

TRAITÉ DE PALÉONTOLOGIE.



EXPLICATION DES PLANCHES.

PLANCHE I.

MAMMIFÈRES. — QUADRUPÈNES, CHEIROPTÈRES ET INSECTIVORES.

- Fig. 1. — Fragment de la mâchoire inférieure du *Miacetus eocenensis*, Owen, p. 158, de l'argile de Londres : 4 a, vue par sa surface triturante ; 4 b, vue de profil. De grandeur naturelle.
- Fig. 2. — Mâchoire inférieure du *Pliopithecus antiquus*, Gervais, p. 459, du terrain miocène de Sansan : 2 a, vue de profil ; 2 b, par sa surface de trituration. De grandeur naturelle.
- Fig. 3. — Portion de squelette du *Vespertilio parisensis*, Cuv., p. 466, des gypses de Montmarie. De grandeur naturelle.
- Fig. 4. — Dentition de l'*Eriomys europeus* vivant. De grandeur naturelle.
- Fig. 5. — Crâne mutilé, vu en dessous, de l'*Eriomys avernensis*, Pomel, p. 470, des terrains miocènes d'Auvergne. De grandeur naturelle.
- Fig. 6. — Mâchoire inférieure de l'*Eriomys fossilis*, Schmerling, p. 471, des cavernes de Belgique.
- Fig. 7. — Mâchoire inférieure du *Galerix riveroides*, Pomel, p. 471, de Sansan. De grandeur naturelle.
- Fig. 8. — Dentition de la musaraigne (*Sorex tetragonurus*) vivante, p. 473, grossie.
- Fig. 9. — Mâchoire inférieure d'une musaraigne des cavernes (Schmerling, pl. V, fig. 10), grossie.
- Fig. 10. — Mâchoire inférieure du *Plesiosorex soricinoides*, Pomel, p. 475, des terrains miocènes d'Auvergne. La figure au trait indique la grandeur naturelle.
- Fig. 11. — Dentition de la taupe commune (*Talpa europea*, L.) vivante, grossie.
- Fig. 12. — Humérus de la taupe de Sansan, rapporté à l'espèce commune par M. de Blainville, et à l'*Hypognathus telluris*, p. 179, par M. Pomel. De grandeur naturelle.
- Fig. 13. — Mâchoire inférieure du *Palaeopalax magnus*, Owen, p. 178, des terrains diluvieux d'Angleterre : 13 a, vue de profil ; 13 b, par la surface triturante. De grandeur naturelle.
- Fig. 14. — Mâchoire inférieure du *Geotrypus antiquus*, Pomel (*Talpa noctiventata*, Blainv.), p. 178, des terrains miocènes d'Auvergne. La figure au trait indique la grandeur naturelle.

PLANCHE II.

MAMMIFÈRES CARNASSIERS. — URSINAE.

- Fig. 1. — Tête de l'ours des cavernes (*Ursus spelaeus*, Blum.), p. 187. Un sixième de la grandeur naturelle.
Fig. 2. — Humérus de la même espèce.
Fig. 3. — Fémur de la même espèce.
Fig. 4. — Tête de l'ours brun d'Europe (*Ursus arctos*, Lin.) trouvée fossile dans Cambridgeshire, p. 189. Un quart de la grandeur naturelle.
Fig. 5. — Dents de la mâchoire supérieure de l'ours brun d'Europe, vues en dessus et de profil. Moitié de la grandeur naturelle.
Fig. 6. — Dents de la mâchoire inférieure de la même espèce, vues de même et au même grossissement.
Fig. 7. — Mâchoire supérieure de l'*Hyaenocetus stenodus*, Owen, p. 189. Un tiers de la grandeur naturelle.
Fig. 8. — Portion de la mâchoire inférieure de la même espèce; à la même réduction.
-

PLANCHE III.

MAMMIFÈRES CARNASSIERS. — URSINAE ET CANIDAE.

- Fig. 1. — Tête de l'*Articyon primarius*, Bl., p. 193, du terrain suessoniens de la Fère, vue en dessus. Un tiers de la grandeur naturelle.
Fig. 2. — Dentition de la mâchoire supérieure de la même espèce, vue par la surface de trituration. Moitié de la grandeur naturelle.
Fig. 3. — Humerus de la même espèce. Un quart de la grandeur naturelle.
Fig. 4. — Fragment de la tête de l'*Amphicyon major*, Lartet, de Sansan, p. 193 : a, vue de profil; b, dentition vue par la surface de trituration. Un quart de la grandeur naturelle.
Fig. 5. — Humerus de la même espèce. Un quart de la grandeur naturelle.
Fig. 6. — Cubitus de la même espèce. Un quart de la grandeur naturelle.
Fig. 7. — Tibia de la même espèce. Un quart de la grandeur naturelle.
Fig. 8. — Tête du *Hyenaodon brachyrhynchus*, Bl., p. 196, du terrain miocène inférieur du département du Tarn. Moitié de la grandeur naturelle.
Fig. 9. — Mâchoire inférieure du *Hyenaodon leptorhynchus*, de Laisier et de Parieu, p. 200, du terrain miocène inférieur d'Auvergne. Moitié de la grandeur naturelle.
Fig. 10. — Molaires de la mâchoire supérieure du *Hyenaodon (Taxotherium) curvieri*, Pons., p. 200, de Montmartre. Moitié de la grandeur naturelle.
Fig. 11. — Cubitus rapporté à la même espèce, de Montmartre. Moitié de la grandeur naturelle.
Fig. 12. — Dentition du chien, pris comme type de la tribu des canidés : a, dents de la mâchoire supérieure; b, dents de la mâchoire inférieure.
Fig. 13. — Mâchoire inférieure du *Cynodons focastris*, p. 207, des lignites de la Debruge (sous-genre *Cynostricts*). De grandeur naturelle.
Fig. 14. — La même, vue par la surface de trituration.
Fig. 15. — Les deux molaires tuberculeuses de la mâchoire supérieure, vues par leur surface de trituration. De grandeur naturelle.
-

PLANCHE IV.

MAMMIFÈRES CARNASSIERS. — VIVERRIDÉS ET VERMIFORMES.

- Fig. 1. — Dentition de la civette commune (*Viverra cireta*, Lin.), vue de profil, p. 211, représentée pour servir de type à la famille des viverridés. De grandeur naturelle.
- Fig. 2. — Fragment de la mâchoire inférieure de la *Viverra zibethoides*, p. 211. De grandeur naturelle.
- Fig. 3. — Fragment de la mâchoire inférieure de la *Palaeonictis gigantea*, p. 212. De grandeur naturelle.
- Fig. 4. — Dentition du glouton commun (*Gulo luscus*, L.), comme un des types de la famille des vermiiformes : *a*, mâchoire supérieure; *b*, mâchoire inférieure. Les dents sont vues par leur surface de trituration.
- Fig. 5. — Tête du *Gulo spelaea*, p. 214, des cavernes d'Allemagne. Un tiers de la grandeur naturelle.
- Fig. 6. — Dentition de la fouine commune (*Mustela foina*, L.), comme type du genre des martes : *a*, mâchoire supérieure; *b*, mâchoire inférieure. Les dents sont vues par leur surface de trituration.
- Fig. 7. — Portion antérieure de la tête du *Plesioptade angustifrons*, Pomel, p. 217, des terrains miocènes d'Auvergne : *a*, vue en dessous; *b*, vue en dessus.
- Fig. 8. — Mâchoire inférieure du *Plestictis Croizeti*, p. 218, des mêmes gisements ; de grandeur naturelle : *a*, la carnassière vue de profil.
- Fig. 9. — Dentition de la loutre commune (*Lutra vulgaris*, L.), comme type du genre : *a*, mâchoire supérieure; *b*, mâchoire inférieure. Les dents sont vues par leur surface de trituration.
- Fig. 10. — Mâchoire supérieure du *Potamotherium* ou (*Lutritrix?*) *Valletoni*, Pomel, p. 220, des terrains tertiaires miocènes d'Auvergne. Cette figure montre en arrière de la tuberculeuse la petite alvéole qui indique l'existence d'une forte dent qui manque aux autres, et qui est le caractère différentiel de ce genre perdu. Les dents sont vues par leur surface de trituration.

PLANCHE V.

MAMMIFÈRES CARNASSIERS. — BYENIDÉS ET FELIDÉS.

- Fig. 1. — Dentition de l'hyène commune, comme type du genre. Moitié de la grandeur naturelle.
- Fig. 2. — Tête de la *Hyena spelaea*, Goldf., p. 223, de la grotte de Kent. Un quart de la grandeur naturelle.
- Fig. 3. — Mâchoire inférieure de la même espèce. Moitié de la grandeur naturelle.
- Fig. 4. — Carnassière et tuberculeuse supérieures de la *Hyena crocata*, p. 224. Moitié de la grandeur naturelle.
- Fig. 5. — Les mêmes dents de la *Hyena spelaea*, Goldf., p. 223. Même réduction.
- Fig. 6. — Les mêmes dents de la *Hyena orvernensis*, Cruz, et Job, p. 223. Même réduction.
- Fig. 7. — Dentition du lion, mâchoire supérieure (*Felis leo*, Lin.), pris comme type du genre des chats, p. 225. Moitié de la grandeur naturelle.
- Fig. 8. — Mâchoire inférieure de la même espèce. Même réduction.
- Fig. 9. — Tête du *Felis spelaea*, Goldf., des cavernes d'Allemagne, p. 228. Moitié de la grandeur naturelle.
- Fig. 10. — Tête du *Machairodus cultridens*, p. 230, des terrains pliocènes d'Auvergne. Moitié de la grandeur naturelle.

Fig. 11. — Dent canine de la même espèce, vue par son diamètre antéro-postérieur et par son diamètre transversal. Même réduction.

PLANCHE VI.

MAMMIFÉRES CARNASSIERS ET RONGEURS. — PROQUES ET RONGEURS.

- Fig. 1. — Dents molaires du *Phoca ambigua*, Il. de Meyer, p. 233 : 1, a, et 1, a', dent vue de profil et en dessus; 1, b, 1, c, deux autres dents; de grandeur naturelle.
- Fig. 2 et 3. — Dents canines de la même espèce; de grandeur naturelle.
- Fig. 4. — Dents de la mâchoire supérieure de la marmotte des Alpes, *Arctomys alpinus*, Lin., p. 237, prise comme type des rongeurs à 5 molaires.
- Fig. 5. — Dents de la mâchoire supérieure de la marmotte des terrains pliocènes d'Auvergne, *Arctomys arvernensis*, Gervais, p. 236; de grandeur naturelle.
- Fig. 6. — Dents de la mâchoire supérieure de l'*Isiodoromys pseudanaeum*, Gervais, p. 240, du terrain miocène d'Auvergne; grande triple.
- Fig. 7. — Dents de la mâchoire inférieure de l'*Archomys chinchilloides*, Gervais, p. 241, du terrain miocène d'Auvergne; grande double.
- Fig. 8. — Dents de la mâchoire supérieure du *Theridomys Lembronicus*, Gervais, p. 243, du terrain miocène d'Auvergne; grande triple.
- Fig. 9. — Dents de la mâchoire inférieure du *Theridomys agnathus*, Gervais, p. 243, du terrain miocène inférieur des environs du Puy; grande triple.
- Fig. 10. — Dents de la mâchoire supérieure du *Theridomys Blainvillii*, Gervais, du terrain miocène d'Auvergne, grande triple.
- Fig. 11. — Dents de la mâchoire inférieure de la même espèce, et au même grossissement.
- Fig. 12. — Dents de la mâchoire inférieure du *Mesogeryonius*, Gervais, p. 247, du terrain miocène d'Auvergne; grande triple.
- Fig. 13. — Tête vue en dessus, du castor commun, p. 251, *Castor fiber*, Lin., trouvée fossile dans le Cambria-shire (diluvien); deux tiers de la grandeur naturelle.
- Fig. 14. — La même tête vue en dessous; même réduction.
- Fig. 15. — Mâchoire inférieure de la même espèce trouvée près de Newbury (diluvien), de grandeur naturelle.
- Fig. 16. — Mâchoire inférieure du *Castor Trogotherium*, p. 252, trouvée fossile à Bacton (diluvien): moitié de la grandeur naturelle.
- Fig. 17. — Dents de la mâchoire supérieure du *Castor Issonorensis*, Gervais, p. 251, du terrain pliocène d'Auvergne; de grandeur naturelle.
- Fig. 18. — Dents du *Castor subpyrenaicus*, Gervais, p. 253, du terrain miocène; de grandeur naturelle. (Genre *Chalicomys*, Gervais.)
- Fig. 19. — Tête du *Stenociber Viciaensis*, Gervais, vue en dessous, p. 252 (miocène d'Auvergne); de grandeur naturelle.
- Fig. 20. — Mâchoire inférieure de la même espèce; de grandeur naturelle.
- Fig. 21. — Dents de la mâchoire inférieure du *Chalicomys Jergeri*; p. 253 (miocène d'Allemagne).
- Fig. 22. — Dent de l'*Hystrix refossa*, Gervais, p. 235 (pliocène d'Auvergne).
- Fig. 23. — Dents du *Lepus lozodus*, Gervais, p. 256 (pliocène de Montpellier).
-

PLANCHE VII.

MAMMIFÉRES ÉDENTÉS. — MEGATHERIUM ET MYLODON.

- Fig. 1. — Squelette du *Megatherium Cuvieri*, p. 266, de l'Amérique méridionale, un trente-sixième de la grandeur naturelle.
Fig. 2. — Tête de la même espèce réduite à un dix-huitième de la grandeur naturelle.
Fig. 3. — Dents molaire de la même espèce.
Fig. 4. — Coupe théorique destinée à montrer la manière dont les dents molaires se rencontrent dans la mastication.
Fig. 5. — Squelette du *Mylodon robustus*, Owen, p. 270, de l'Amérique méridionale, réduit à un trente-sixième de la grandeur naturelle. On a adopté la même réduction que pour le megatherium afin de montrer le rapport de taille de ces deux espèces.
Fig. 6. — Tête de la même espèce; un douzième de la grandeur naturelle.
Fig. 7. — Mâchoire inférieure du *Mylodon Darwinii*, Owen, p. 270, de l'Amérique méridionale. Un cinquième de la grandeur naturelle. 7, a, dernière molaire moins réduite.
Fig. 8. — Dernière molaire de la même mâchoire, vue de profil. Un cinquième de la grandeur naturelle.
-

PLANCHE VIII.

MAMMIFÉRES ÉDENTÉS. — MEGALONYX, SCELIDOTHERIUM ET GLYPTODON.

- Fig. 1. — Mâchoire inférieure du *Megalonyx Jeffersonii*, Cuv., p. 269, d'Amérique. Deux tiersièmes de la grandeur naturelle.
Fig. 2. — Surface de trituration des molaires de la même espèce.
Fig. 3. — Une des phalanges unguéales antérieures de la même espèce.
Fig. 4. — Tête du *Scelidotherium Brontognathi*, Lund, p. 271, de l'Amérique méridionale. Un huitième de la grandeur naturelle.
Fig. 5. — Surface de trituration des dents du *Scelidotherium leptocephalum*, Owen, p. 271, d'Amérique méridionale. Deux cinquièmes de la grandeur naturelle. a, mâchoire supérieure; b, mâchoire inférieure.
Fig. 6. — Pied antérieur restauré du *Scelidotherium Cuvieri*, Lund, p. 271. Un sixième de la grandeur naturelle.
Fig. 7. — Fémur du *Scelidotherium leptocephalum*, Owen. Un sixième de la grandeur naturelle.
Fig. 8. — Carapace et portion du squelette restauré du *Glyptodon clavipes*, Owen, p. 273, d'Amérique méridionale.
Fig. 9. — Une portion de carapace du Glyptodon, vue à une réduction moindre.
Fig. 10. — Dent du *Glyptodon clavipes*. Moitié de la grandeur naturelle. — a, Surface de trituration de grandeur naturelle.
Fig. 11. — Pied postérieur du *Glyptodon clavipes*. Un sixième de la grandeur naturelle.
Fig. 12. — Mâchoire inférieure du *Chlamydothorium Humboldti*, Lund; p. 274, d'Amérique méridionale, montrant les alvéoles des dents; un tiers de la grandeur naturelle.
Fig. 13. — Phalange unguiale (d'après Cuvier) du *Macrottherium d'Eppelshaim*, p. 277.
-

PLANCHE IX.

MAMMIFÉRES PROBOSCIIDIENS. — ÉLÉPHANTS ET MASTODONTES.

- Fig. 1. — Copie souvent reproduite du squelette du grand mammouth (*Elephas primigenius*, Blum.), trouvé en 1799 dans les glaces de la Sibérie, p. 283.
Fig. 2. — Tête de la même espèce, montrant la longueur des alvéoles des défenses (os incisifs) et l'aplatissement du front, caractéristiques de l'éléphant fossile.
Fig. 3. — Sixième molaire supérieure du même éléphant : a, vue de profil ; b, vue par la surface triturante. Un sixième de la grandeur naturelle.
Fig. 4. — Cinquième molaire inférieure de l'éléphant d'Asie. Un sixième de la grandeur naturelle.
Fig. 5. — Sixième molaire inférieure de l'éléphant d'Afrique. Même réduction.
Fig. 6. — Mâchoire inférieure d'un jeune mastodonte de l'Ohio (*Mastodon giganteum*, Cav.), p. 287. On y voit encore les deux petites défenses qui tombent avec l'âge. Un sixième de la grandeur naturelle. Cette même mâchoire montre la brièveté de la symphise dans cette espèce.
Fig. 7. — Troisième molaire supérieure du même mastodonte adulte. Même réduction.
Fig. 8. — Mâchoire inférieure du *Mastodon longirostris*, Kaup, p. 289, des terrains miocènes européens, montrant l'allongement extraordinaire de la symphise qui caractérise cette espèce : a, vue en dessus ; b, vue de profil. Un douzième de la grandeur naturelle.
Fig. 9. — Sixième molaire supérieure de la même espèce : a, vue de profil ; b, vue par la surface triturante. Un sixième de la grandeur naturelle.
Fig. 10. — Sixième molaire supérieure du *Mastodon tapiroides*, p. 289, des terrains miocènes d'Europe : a, vue de profil ; b, vue par la surface triturante. Un sixième de la grandeur naturelle.

PLANCHE X.

MAMMIFÉRES PACHYDERMES PERISSODACTYLES. — RHINOCÉROS ET TAPIOIDES.

- Fig. 1. — Tête du rhinocéros sans cornes et à quatre doigts aux pieds antérieurs, formant le genre ou sous-genre des *Aceratherium* (*A. incisivum*), p. 296 et 297, des terrains miocènes. Un neuvième de la grandeur naturelle.
Fig. 2. — Tête d'un rhinocéros à corne, à dents incisives persistantes, à trois doigts aux pieds antérieurs. Cette tête est celle qui a été décrite sous le nom de *Rhinoceros Schleyermacheri*, p. 297, espèce qui doit être réunie au Rhinocéros des terrains miocènes. Un neuvième de la grandeur naturelle.
Fig. 3. — Tête du rhinocéros à narines cloisonnées (*R. tichorhinus*), p. 298, des terrains diluviens. Même réduction que les deux précédentes.
Fig. 4. — Dents de la mâchoire supérieure du *Rhinoceros megarhinus*, de Christol, p. 297, des terrains pliocènes. Un tiers de la grandeur naturelle.
Fig. 5. — Dents de la mâchoire inférieure de la même espèce, à la même réduction.
Fig. 6. — Une des dents de l'*Elasmotherium Fischeri*, p. 300, telle qu'elle a été reproduite par divers auteurs, d'après la figure originale de M. Fischer.
Fig. 7. — Mâchoire supérieure du *Tapirus priapus*, Kaup, p. 304, du terrain miocène d'Eppelsheim. Moitié de la grandeur naturelle.
Fig. 8. — Dents de la mâchoire inférieure de la même espèce, à la même réduction.

- Fig. 9. — Mâchoire supérieure du *Tapiro Arvernensis*, Croiz. et Job., p. 301, du terrain pliocène d'Auvergne, à la même réduction.
- Fig. 10. — Dents de la mâchoire inférieure de la même espèce, à la même réduction.
- Fig. 11. — Fragment de mâchoire et dernières molaires du *Coryphodon eocenensis*, Owen, p. 304, du terrains éocène d'Angleterre. Un quart de la grandeur naturelle.
- Fig. 12. — Dentition de la mâchoire supérieure du grand *Lophiodon d'Isel*, Cuv., p. 305, du parisien inférieur. Moitié de la grandeur naturelle.
- Fig. 13. — Mâchoire inférieure du *Lophiodon de Nanterre* (*Lophiodon parisiensis*, Gervais), p. 305, du calcaire grossier. Un quart de la grandeur naturelle.

PLANCHE XI.

MAMMIFÈRES PACHYDERMES. — TAPIROÏDES ET PALÉOTHERIOMORPHES.

- Fig. 1. — Dernière dent molaire inférieure du *Pachynolopodus cesseroculus*, Gervais, p. 307. De grandeur naturelle.
- Fig. 2. — Deux molaires supérieures du *Pachynolopodus Duvalii*, Pouvel, p. 307, du calcaire grossier de Paris. La première molaire antérieure manque, on voit une double alvéole pour ses deux racines; de grandeur naturelle.
- Fig. 3. — Mâchoire inférieure de la même espèce; moitié de la grandeur naturelle.
- Fig. 4. — Dents de la mâchoire inférieure du *Lophiotherium cervicalis*, Gervais, d'Alais, p. 308; de grandeur naturelle.
- Fig. 5. — Fragments de mâchoire inférieure avec les deux dernières molaires du *Tapirodon hyrcanus*, Gervais, des environs d'Apt, p. 308; de grandeur naturelle.
- Fig. 6. — Fragments de mâchoire supérieure du *Listriodon* (*Tapirotherium*, Lartet), de Simorre (*L. splendidus*, H. de Meyer), p. 308; un quart de la grandeur naturelle.
- Fig. 7. — Mâchoire inférieure de la même espèce; même réduction.
- Fig. 8. — Squelette restauré du *Paleotherium magnum*, d'après Cuvier.
- Fig. 9. — Contour probable du même animal.
- Fig. 10. — Tête du *Paleotherium medianum*, des gypses de Montmartre, p. 310; de grandeur naturelle.
- Fig. 11. — Tête du *Paleotherium crassum*, Cuvier, des mélus gisements, et à la même réduction.
- Fig. 12. — Dentition de la mâchoire supérieure du *Paleotherium giraudicum*, Blainv., de la Grive (Dordogne), p. 311; un tiers de la grandeur naturelle.
- Fig. 13. — Dentition de la mâchoire inférieure du *Paleotherium medium*, Cuv.; même réduction.
- Fig. 14. — Tarse et métatarsie de la même espèce; un quart de la grandeur naturelle.
- Fig. 15. — Pied postérieur du *Paleotherium crassum*, Cuv.; un quart de la grandeur naturelle.
- Fig. 16. — Fragment de mâchoire inférieure portant les trois dernières molaires du *Propaleotherium d'Isel*, Cuv., p. 312; moitié de la grandeur naturelle.

PLANCHE XII.

MAMMIFÈRES PACHYDERMES. — SOLIPÈDES, MACRAUCHENIA ET HIPPOPOTAMES.

- Fig. 4, a. — Dentition de la mâchoire supérieure de l'*Anchitherium aureliense*, Gervais (*Paleotherium hippoides*, Blainv.), p. 314; du terrain miocène; moitié de la grandeur naturelle.
- 4, b. — Dentition de la mâchoire inférieure de la même espèce; à la même réduction.

- Fig. 2. — Os métacarpiens de la même espèce : *a*, métacarpien médian ; *b*, un des métacarpiens accessoires ou latéraux : un quart de la grandeur naturelle.
- Fig. 3. — Dentition de la mâchoire inférieure de l'*Hippurion prystylum*, Gervais, p. 315, du terrain pliocène de Cucuron ; de grandeur naturelle.
- Fig. 4. — Trois molaires supérieures de la même espèce ; de grandeur naturelle.
- Fig. 5. — Dents molaires supérieures de l'*Hippurion gracile* (*Hippotherium gracile*, Kaup.), p. 315, du terrain miocène d'Eppelesheim, de grandeur naturelle.
- Fig. 6. — Dentition du cheval actuel (*Equus caballus*, Linné) ; moitié de la grandeur naturelle : *a*, mâchoire supérieure ; *b*, mâchoire inférieure.
- Fig. 7. — Molaire du cheval trouvé fossile, par M. Darwin, dans l'Amérique méridionale, p. 318 ; de grandeur naturelle.
- Fig. 8. — Avant-dernière molaire inférieure du *Macrauchenia patagonica*, Owen, p. 319, de Patagonie ; moitié de la grandeur naturelle.
- Fig. 9. — Vertèbre cervicale de la même espèce ; un sixième de la grandeur naturelle.
- Fig. 10. — Fémur de la même espèce ; même réduction.
- Fig. 11. — Tibia de la même espèce ; même réduction.
- Fig. 12. — Pied antérieur de la même espèce ; même réduction.
- Fig. 13. — Dentition de la mâchoire supérieure de l'Hippopotame fossile du Val d'Arno, p. 321 ; moitié de la grandeur naturelle : *a*, dernière molaire, de grandeur naturelle.
- Fig. 14. — Dentition de la mâchoire inférieure de la même espèce ; moitié de la grandeur naturelle.
- Fig. 15. — Mâchoire inférieure de l'Hippopotame à six incisives, des montagnes Siwalik (*Hexoprotodon siwalensis*, Cautley et Falconer), p. 322 ; un quart de la grandeur naturelle.

PLANCHE XIII.

MAMMIFÉRES PACHYDERMES. — SURIENS (COCHONS, etc.).

- Fig. 1. — Tête du *Sus priscus*, Marcel de Serres, des cavernes du midi de la France, p. 325. Un sixième de la grandeur naturelle.
- Fig. 2. — Tête de la même espèce, vue en dessous.
- Fig. 3. — Dentition de la mâchoire supérieure de la même espèce.
- Fig. 4. — Dentition de la mâchoire inférieure de la même espèce.
- Fig. 5. — Les deux dernières molaires inférieures du *Palaeocherus major*, p. 327, des terrains miocènes d'Auvergne ; de grandeur naturelle.
- Fig. 6. — Mâchoire supérieure du *Palaeocherus typus*, p. 327, des terrains miocènes d'Auvergne ; de grandeur naturelle.
- Fig. 7. — Dentition du *Chersomys macrourus*, Gervais, p. 327, de Sansan ; de grandeur naturelle : *a*, les trois dernières molaires supérieures ; *b*, les trois dernières molaires inférieures.
- Fig. 8. — Mâchoire supérieure de l'*Entelodus magicus*, Aymard, du Puy-en-Velay, p. 328 ; un tiers de la grandeur naturelle : *a*, dents vues par leur surface de trituration.
- Fig. 9. — Dentition de la mâchoire inférieure de la même espèce ; à la même réduction.
- Fig. 10. — Dentition de la mâchoire supérieure du *Cheropodamus parisienensis*, Cav., des gypses de Montmartre, p. 329 ; moitié de la grandeur naturelle.
- Fig. 11. — Les quatre dernières molaires supérieures du *Hyotherium Sommeringii*, H. de Meyer, de Georgengsund, p. 330 ; les deux tiers de la grandeur naturelle.
- Fig. 12. — Dentition de la mâchoire supérieure du *Hipopotamus verreauxi*, Owen, p. 332, des terrains éocènes d'Angleterre ; un quart de la grandeur naturelle.
- Fig. 13. — Dentition de la mâchoire inférieure ; à la même réduction.
- Fig. 14. — Dentition de la mâchoire supérieure de l'hyopotame du Puy (*Hipopotamus velox*), p. 331, type du genre *Bostrychodon*, Aymard. Moitié de la grandeur naturelle.
-

PLANCHE XIV.

MAMMIFÈRES PACHYDERMES. — SCUILLIENS ET ANOPLOTHÉRIOÏDES.

- Fig. 1. — Dentition de la mâchoire supérieure de l'*Anthracotherium magnum* de Digoin, p. 333. Un quart de la grandeur naturelle.
Fig. 2. — Dentition de la mâchoire inférieure de la même espèce, des lignites de Cadibona. A la même réduction.
Fig. 3. — Dentition de la mâchoire supérieure de l'*Hyracotherium leporinum*, Owen, p. 334, du terrain tertiaire éocène d'Angleterre. De grandeur naturelle.
Fig. 4. — Dentition du *Microtherium erinaceus*, Wood., p. 334, du terrain éocène d'Angleterre. De grandeur naturelle : *a*, mâchoire supérieure ; *b*, mâchoire inférieure.
Fig. 5. — Dentition de la mâchoire supérieure de l'*Acotherium saturninum*, Gervais, p. 334, des lignites de la Débruge. De grandeur naturelle.
Fig. 6. — Tête de l'*Anoplotherium communum*, Cuv., p. 336, des gypses de Montmartre. Un quart de la grandeur naturelle.
Fig. 7. — Dentition de la mâchoire supérieure de la même espèce, à la même réduction : *a*, dernière molaire, moitié de la grandeur naturelle.
Fig. 8. — Dentition de la mâchoire inférieure de la même espèce. Un quart de la grandeur naturelle, *a*, pénultième molaire; moitié de la grandeur naturelle.
Fig. 9. — Pied antérieur de la même espèce. Un quart de la grandeur naturelle.
Fig. 10. — Pied postérieur de la même espèce, à la même réduction.
Fig. 11. — Forme probable de la même espèce, d'après Cuvier.
Fig. 12. — Squelette de la même espèce, d'après Cuvier.
Fig. 13. — Pied antérieur de l'*Eurytherium latipes*, Gervais, p. 337, des lignites de la Débruge.

PLANCHE XV.

MAMMIFÈRES PACHYDERMES. — ANOPLOTHÉRIOÏDES.

- Fig. 1. — Forme probable du *Nyctodon gracile*, Cuv., p. 338, des gypses de Paris.
Fig. 2. — Squelette restauré de la même espèce.
Fig. 3. — Dentition de la mâchoire supérieure. De grandeur naturelle.
Fig. 4. — Dentition de la mâchoire inférieure. De grandeur naturelle.
Fig. 5. — Pied antérieur de la même espèce. Moitié de la grandeur naturelle.
Fig. 6. — Les quatre dernières molaires supérieures du *Chalicotherium grande*, Gervais, p. 337, de Sansan. Un quart de la grandeur naturelle. — *a*, la dernière molaire, moitié de la grandeur naturelle.
Fig. 7. — Pied postérieur du *Dichobune leporina*, Cuv., p. 338, des gypses de Montmartre. Moitié de la grandeur naturelle.
Fig. 8. — Mâchoire supérieure de la même espèce. De grandeur naturelle.
Fig. 9. — Mâchoire inférieure de l'*Aphelotherium Duvernoyi*, Gervais, p. 339, des gypses de Paris. De grandeur naturelle.
Fig. 10. — Tête de l'*Ophotherium communum* d'Auvergne, p. 340. De grandeur naturelle.

- Fig. 11. — Dentition de la mâchoire supérieure de la même espèce.
Fig. 12. — Molaires supérieures du *Dichodon cuspidatus*, Owen, p. 342, des terrains éocènes d'Angleterre. De grandeur naturelle.
Fig. 13. — Mâchoire inférieure de la même espèce. Moitié de la grandeur naturelle. — *a*, les deux dernières molaires, de grandeur naturelle.
-

PLANCHE XVI.

MAMMIFÉRES RUMINANTS. — CERFS ET SIVATHÉRIUM.

- Fig. 1. — Squelette du *Cervus à bois gigantesques*, d'Irlande, p. 355.
Fig. 2. — Tête de la même espèce. Un quinzième de la grandeur naturelle : *a*, vue de face; *b*, vue de profil.
Fig. 3. — Molaire supérieure de cerf, montrant la petite colonnette et la brièveté du fût, caractéristiques de ce genre.
Fig. 4. — Bois du *Cervus pardensis*, Croizet et Jobert, p. 354. Un sixième de la grandeur naturelle.
Fig. 5. — Tête du *Sivatherium giganteum*, p. 368, des tertiaires subhimalayens, d'après MM. Cautley et Falconer.
Fig. 6. — Dents molaires supérieures de la même espèce.
-

PLANCHE XVII.

MAMMIFÉRES RUMINANTS. — CERVIDES ET BOEVS.

- Fig. 1. — Dentition de la mâchoire inférieure de l'*Amphitragulus elegans*, Pomel, p. 348, des terrains miocènes d'Auvergne. De grandeur naturelle. — *a*, la dernière molaire vue en dessus.
Fig. 1b. — Dent canine de la mâchoire supérieure de la même espèce. De grandeur naturelle.
Fig. 2. — Dentition de la mâchoire inférieure du *Dremotherium Feignouxii*, Geoffroy, p. 349, des tertiaires miocènes d'Auvergne ; de grandeur naturelle. — *a*, la dernière molaire vue en dessus.
Fig. 3. — Surface triturante d'une molaire de mouton.
Fig. 4. — Une arrière-molaire de la mâchoire inférieure du bœuf, avant que la trituration ait atteint la colonnette.
Fig. 5. — La même, lorsque la colonnette fait partie de la surface triturante de la dent.
Fig. 6. — Surface triturante d'une molaire supérieure du bœuf.
Fig. 7. — Tête du *Bos primigenius* Bison, p. 364, souche des Aurochs de Lithuanie.
Fig. 8. — Tête du *Bos Ursus* de César, p. 364, souche probable de nos races domestiques.
-

PLANCHE XVIII.

MAMMIFÉRES INCERTAINS. — *TOXODON* ET *DIMOTHERIUM*.

- Fig. 1. — Tête du *Toxodon platensis*, Owen, p. 366, de l'Amérique méridionale, vue en dessous. Un neuvième de la grandeur naturelle.
Fig. 2. — La même, vue de profil. Même réduction.
Fig. 3. — Région occipitale de la même tête.
Fig. 4. — Sixième molaire supérieure, vue dans son diamètre antéro-postérieur. Un cinquième de la grandeur naturelle.
Fig. 5. — La même, vue par la face externe.
Fig. 6. — Fragment de la mâchoire inférieure de la même espèce ; même réduction : — a, une des arrière-molaires grossie.
Fig. 7. — Portion incisive de la mâchoire inférieure de la même espèce. Un quart de la grandeur naturelle.
Fig. 8. — Une des incisives vue de profil. Un cinquième de la grandeur naturelle.
Fig. 9. — Tête du *Dimotherium giganteum*, Kaup, p. 369, des terrains tertiaires d'Eppelsheim. Un quinzième de la grandeur naturelle.
Fig. 10. — La même tête vue en dessous, à la même réduction.
Fig. 11. — La même tête vue en dessous, à la même réduction.
Fig. 12. — Cinquième molaire supérieure. Un sixième de la grandeur naturelle.
Fig. 13. — Troisième molaire supérieure. Un sixième de la grandeur naturelle.
-

PLANCHE XIX.

MAMMIFÉRES AQUATIQUES. — SIRENOIDES, ZEUGLÉDONTES ET CÉTACES.

- Fig. 1. — Tête de l'*Halitherium Serresii*, Gervais, p. 374, vue de profil. Un cinquième de la grandeur naturelle.
Fig. 2. — La même tête vue en dessus, à la même réduction.
Fig. 3. — Région palatine et maxillaire de la même tête, à la même réduction.
Fig. 4. — Dent molaire de la même espèce. Deux cinquièmes de la grandeur naturelle.
Fig. 5. — Fragment de mâchoire supérieure du *Syndodus Grateloupi*, Gervais, p. 379, de Dax.
Fig. 6. — Une molaire du *Trachytherium Rondini*, Gervais, p. 374. Moitié de la grandeur naturelle.
Fig. 7. — Tête du *Zeuglodon Hydrocarus*, Koch, p. 376, du terrain tertiaire de l'Amérique septentrionale, d'après les figures publiées par M. Koch, dans les mémoires de Haidinger.
Fig. 8. — Mâchoire inférieure de la même espèce.
Fig. 9. — Une des dents molaires de la même espèce. Un quart de la grandeur naturelle.
Fig. 10. — Coupe d'une dent de la même espèce, d'après M. Owen.
Fig. 11. — Deux vertèbres lombaires de la même espèce, d'après M. Koch.
Fig. 12. — Trois vertèbres dorsales et leurs côtes, d'après M. Koch.
Fig. 13. — Tête réduite du *Ziphius cavirostris*, Cuv., p. 385.
Fig. 14. — Tête du *Delphinus (Phocaena) crassidens*, Owen, p. 382, d'Angleterre.
-

PLANCHE XX.

MAMMIFÈRES DIDELPHIES ET TRACES D'OISEAUX.

- Fig. 1. a et b. — Mâchoire inférieure du *Thylacotherium Prevostii*, Cuv., p. 393, trouvée à Stonesfield.
De grandeur double.
- Fig. 2. — Mâchoire inférieure du *Thylacotherium Broderipii*, Cuv., p. 393, du même gisement. Au même grossissement.
- Fig. 3. — Mâchoire inférieure du *Phascolotherium Bucklandii*, Brod., p. 394, du même gisement. Au même grossissement.
- Fig. 4. — Dentition de la mâchoire inférieure du *Diprodotus australis*, Owen, p. 399 (les 5 dernières molaïres), de la Nouvelle-Hollande. Moitié de la grandeur naturelle.
- Fig. 5. a et b. — Mâchoire inférieure du *Notscherium inerme*, Owen, p. 400, de la Nouvelle-Hollande. Un quart de la grandeur naturelle.
- Fig. 6. — Portion d'un squelette de sarigue découvert dans les gypses de Montmartre par Cuvier, p. 395 (*Didelphis Cuvieri*). De grandeur naturelle.
- Fig. 7. — Impression de pas d'oiseau avec des empreintes de gouttes de pluie, du terrain trinique des Etats-Unis, p. 405.
- Fig. 8. — Empreinte du pied de l'*Ornithichnites giganteus*, Hitchcock. Un huitième de la grandeur naturelle, p. 406.
- Fig. 9. — Empreinte du pied de l'*O. tuberosus*, Hitchcock.
- Fig. 10. — — — de l'*O. ingens*, —
- Fig. 11. — — — de l'*O. diversus*, — (var. *clavis*).
- Fig. 12. — — — de l'*O. diversus*, — (var. *platyodactylus*).
- Fig. 13. — — — de l'*O. tetradoctylus*, —
- Fig. 14. — — — de l'*O. palmatus*, —
- Fig. 15. — — — de l'*O. minimus*, —

Les figures 8-15 ont toutes été réduites dans la même proportion (un huitième de leur grandeur naturelle).

PLANCHE XXI.

OISEAUX DES TERRAINS TERTIAIRES ET DE LA NOUVELLE-HOLLANDE.

- Fig. 1. — Squelette d'un oiseau, p. 408, trouvé à Montmartre par Cuvier. Moitié de la grandeur naturelle.
- Fig. 2. — Sternum du *Lithornis vulturinus*, Owen, p. 410, de l'argile de Londres. De grandeur naturelle.
- Fig. 3. — Tête de *Dinornis* (*D. cassiarinus*? Owen), p. 417, de la Nouvelle-Zélande. Moitié de la grandeur naturelle.
- Fig. 4. — Membre postérieur du *Dinornis giganteus*, Owen, p. 417, réduit à peu près au douzième de sa grandeur naturelle.
- Fig. 5. — Tête de *Palapteryx* (*P. geranoides*) Owen, p. 417, de la Nouvelle-Zélande. Moitié de la grandeur naturelle.
- Fig. 6. — Tarse et pied du *Palapteryx robustus*, Owen, p. 417, de la Nouvelle-Zélande. Un sixième de la grandeur naturelle.
- Fig. 7. — Membre postérieur et contour du corps du *Casoor à casque*, réduit dans la même proportion que la fig. 4, pour montrer ses rapports de taille avec le *Dinornis giganteus*.
-

PLANCHE XXII.

REPTILES CHÉLONIENS.

- Fig. 1. — Carapace de la *Testudo antiqua*, Brönn, p. 463, comme type des tortues de terre. Un quart de la grandeur naturelle. — a, vue en dessus; b, vue de profil. Les lignes doubles représentent les sillons d'impressions formés par le bord des écailles, les lignes dentées les séparations des pièces osseuses.
Fig. 2. — Plastron de la même espèce. Même réduction.
Fig. 3. — Carapace de l'*Emyx livris*, Owen, p. 449, des terrains éocènes d'Angleterre, vue en dessus. Moitié de la grandeur naturelle.
Fig. 4. — Plastron de la *Chelydra Murchisoni*, Bell, p. 454, des schistes tertiaires d'Oeningen. Un sixième de la grandeur naturelle.
Fig. 5. — Carapace du *Trionyx Barberi*, Owen, p. 457, des terrains éocènes d'Angleterre. Un sixième de la grandeur naturelle.
Fig. 6. — Deux pièces costales du *Trionyx rivicola*, Owen, p. 457, des mêmes gisements. Moitié de la grandeur naturelle. — a, face externe; b, face interne.
Fig. 7. — Squelette d'une tortue de mer vivante, comme type des Chelonées (*Chelone canescens*). — a, squelette vu en dessous, le plastron ayant été enlevé; b, le plastron.
Fig. 8. — Tête, vue de profil, de la *Chelone longiceps*, Owen, p. 461, des terrains éocènes d'Angleterre. Un tiers de la grandeur naturelle.
Fig. 9. — Tête, vue de profil, de la *Chelone breviceps*, Owen, p. 461, des mêmes gisements. Un tiers de la grandeur naturelle.
Fig. 10. — Portion de la carapace et fragments des pattes postérieures de l'*Iddiochelys Wagneri*, H. de Meyer, p. 463, des schistes lithographiques de Kelleim. Un tiers de la grandeur naturelle.
-

PLANCHE XXIII.

REPTILES DINOSAURIENS. — MEGLOSAURUS ET STYLOSAURUS.

- Fig. 1. — Mâchoire inférieure du *Meglosaurus Bucklandi*, Cuvier, p. 467, de l'oolithe de Stonesfield. Un quart de la grandeur naturelle. — a, vue en dedans; b, vue de dehors.
Fig. 2. — Dent du même animal: a, vue parallèlement à son diamètre antéro-postérieur; b, vue transversalement. Deux tiers de la grandeur naturelle.
Fig. 3. — Os du même animal, qui est considéré comme un eoracodien. Un huitième de la grandeur naturelle.
Fig. 4. — Clavicule probable de la même espèce. Même réduction.
Fig. 5. a, b. — Fœur de la même espèce. Même réduction.
Fig. 6. — Omoplate et os coracodien de l'*Hylerosaurus Mantelli*, p. 469, du terrain wealdien d'Angleterre. Un sixième de la grandeur naturelle.
Fig. 7. a, b. — Humérus de la même espèce. Même réduction.
Fig. 8. — Phalange des doigts de la même espèce. Même réduction.
Fig. 9. — Épines dorsales formant probablement dans le même animal une crête dorsale sensibilisante à celle des iguanes. Même réduction.
Fig. 10. — Ecusson osseux de la peau du même animal. Même réduction.
Fig. 11. — Dents attribuées à la même espèce. De grandeur naturelle.
-

PLANCHE XXIV.

REPTILES DINOSAURIENS. — IGUANODON ET PELOROSAURUS.

- Fig. 1. — Mâchoire inférieure de l'*Iguanodon Mantelli*, p. 470, du terrain wealdien d'Angleterre ; d'après le bel exemplaire figuré par M. Mantell, vue en dehors. Un quart de la grandeur naturelle.
Fig. 2. — La même, vue du côté interne.
Fig. 3 à 7. — Dents de l'*Iguanodon Mantelli*. Moitié de la grandeur naturelle. — Fig. 3. Dent de la mâchoire supérieure, côté gauche : a, vue en dehors ; b, vue de côté ; c, surface triturante.
— Fig. 4. La même, plus usée. — Fig. 5. Dent de la mâchoire inférieure, côté gauche, vue en dedans, usée. — Fig. 6. Dent de la mâchoire inférieure, côté droit, non usée : a, vue en dedans ; b, vue en dehors. — Fig. 7. Dent de la même mâchoire, côté gauche, commençant à s'user, vue en dehors.
Fig. 8. — Section d'une dent non usée, grossie quatre fois.
Fig. 9. — Vertèbre dorsale de l'*Iguanodon du Kentish Ring*, p. 472. Un sixième de la grandeur naturelle.
Fig. 10. — Vertèbre caudale. A la même réduction.
Fig. 11. — Clavicule de la même espèce. Même réduction.
Fig. 12. — Humerus de la même espèce. Même réduction.
Fig. 13. — Fémur de la même espèce. Même réduction. Le fémur et l'humerus appartiennent au même individu et montrent la singulière disproportion qui existe entre ces deux os.
Fig. 14. — Phalanges des doigts des pieds postérieurs. Même réduction.
Fig. 15. — Phalanges ungérales des mêmes pieds. Même réduction.
Fig. 16. — Vertèbres du *Pelorosaurus Conybeari*, Mantell, p. 473. Un huitième de la grandeur naturelle.
Fig. 17. — Os en V, ou arc haemal d'une vertèbre caudale du même animal. Même réduction.
Fig. 18. — Humerus de la même espèce, vu par sa face antérieure. Un douzième de la grandeur naturelle.

PLANCHE XXV.

REPTILES SAURIENS. — CROCODILIENS.

- Fig. 1. — Tête du *Crocodilus Hastingsie*, Owen, p. 479, des terrains éocènes d'Angleterre. Un sixième de la grandeur naturelle. — a, vue en dessous ; b, vue en dessus.
Fig. 2. — Extrémité du museau du *Crocodilus Hautoniensis*, Owen, p. 480 [sous-genre des Caimans], des terrains éocènes d'Angleterre, vu en dessous. Un quart de la grandeur naturelle.
Fig. 3. — Tête du *Teleosaurus minimus*, Quenstedt, p. 486, du lias supérieur d'Allemagne. De la grandeur naturelle.
Fig. 4. — Tête restaurée, vue de profil, du *Teleosaurus* [*Mystriosaurus Lourillardi*, Kaup], p. 484, du lias supérieur d'Allemagne. Deux septièmes de la grandeur naturelle.
Fig. 5. — Dents du *Teleosaurus Mandibularis*, Kaup, p. 485, du lias supérieur d'Allemagne. Grandeur naturelle.
Fig. 6. — Écussion dermique du *Teleosaurus bollensis*, Jaeger, (*Macrospinosaurus*), p. 486, du lias supérieur d'Allemagne. Moitié de la grandeur naturelle.
Fig. 7. — Tête restaurée, vue de profil, du *Teleosaurus* (*Pelagosaurus*) *typus*, Bronn, p. 487, du lias supérieur d'Allemagne. Un tiers de la grandeur naturelle.

- Fig. 8. — Disposition des écailles ou écaillons dermaux de l'abdomen, dans la même espèce. Même réduction.
- Fig. 9. — Extrémité du museau du *Stenosaurus rostratus*, Gœfr., p. 492, d'après l'exemplaire original du musée de Genève, provenant des marnes kimméridgiennes de Normandie. Un tiers de la grandeur naturelle. — a, vu en dessus; b, vu en dessous; c, de profil.
- Fig. 10. — Dents du *Succhassaurus cultridens*, Owen, p. 494, du terrain wealdien d'Angleterre. De grandeur naturelle.
- Fig. 11. — Dent du *Goniopholis crassidens*, Owen, p. 495, du même terrain. Grandeur naturelle.

PLANCHE XXVI.

REPTILES. — LACERTIFORMES ET PTÉRODACTYLIENS.

- Fig. 1. — Dent du *Pachosaurus platyodon*, Riley et Stutch., p. 503, du terrain péneu. De grandeur naturelle.
- Fig. 2. — Dent du *Cladodus lloydii*, Owen, p. 503, du terrain triasique. De grandeur naturelle.
- Fig. 3. — Tête du *Mosasaurus Camperi*, p. 505, du terrain crétacé supérieur de Maastricht. Un douzième de la grandeur naturelle.
- Fig. 4. — Tête du *Geosaurus Sommeringii*, p. 506, des schistes lithographiques de Bavière. Deux neuvièmes de la grandeur naturelle.
- Fig. 5. — Dents du *Leiodon conicus*, Owen, p. 507, de la craie. Moitié de la grandeur naturelle.
- Fig. 6. — Coupe d'une des némes dents pour montrer la cavité centrale.
- Fig. 7. — Mâchoire inférieure du *Raphionaurus subtilidens*, Owen, p. 507, de la craie. De grandeur naturelle. — a, vue de profil; b, vue par sa face dentaire.
- Fig. 8. — Dent du *Crocodilus crassidens*, Owen, p. 508, de la craie. Grossie cinq fois.
- Fig. 9. — Dents du *Phytosaurus cylindricodon*, Jaeger, p. 514, du Keuper; a, la vraie dent de grandeur naturelle; b, remplissage des alvéoles que l'on avait anciennement confondu avec les dents.
- Fig. 10. — Mâchoire inférieure du *Menodon plicatus*, H. de Meyer, p. 515, du grès bigarré. De grandeur naturelle. — a, une dent grossie.
- Fig. 11. — Deux dents du *Termostaurus Alberti*, Pfeiffer, p. 515, du Keuper. De grandeur naturelle.
- Fig. 12. — Dents du *Bronchotemnus perrensis*, H. de Meyer, p. 519, du terrain jurassique. Moitié de la grandeur naturelle.
- Fig. 13. — Dent du *Polyptychodon interruptus*, Owen, p. 522, de la craie. De grandeur naturelle.
- Fig. 14. — Squelette restauré du *Pterodactylus crassirostris*, Goldf., p. 525, des schistes lithographiques de Bavière. Moitié de la grandeur naturelle.
- Fig. 15. — Tête du *Pterodactylus longirostris*, Oken, p. 525, de Pappenheim.
- Fig. 16. — Tête et cou du *Pterodactylus brevirostris*, Cuvier, p. 525, d'Eichstaedt. De grandeur naturelle.
- Fig. 17. — Dent du *Pterodactylus compressirostris*, Owen, p. 527, de la craie. De grandeur naturelle.
- Fig. 18. — Tête du *Rhomphorhynchus Gemmingii*, H. de Meyer, p. 528, des schistes lithographiques de Bavière. Moitié de la grandeur naturelle.

PLANCHE XXVII.

REPTILES ENALIOSAURIENS. — ICHTHYOSAURUS ET SIMOSAURUS.

- Fig. 1. — Squelette restauré de l'*Ichthyosaurus communis*, De la Bèche et Conybe., p. 531, d'après Conybeare.

- Fig. 2. — Tête de l'*Ichthyosaurus platyodon*, De la Bèche et Conybh., p. 534, du lias de Lyne Regis; d'après sir Everard Home.
Fig. 3. — La même, vue en dessus, d'après Conybeare.
Fig. 4. — Coupe théorique destinée à montrer le mode de remplacement et de réabsorption des dents : a, l'ancienne dent; b, la nouvelle; c, coupe de la mâchoire.
Fig. 5. — Coupe horizontale d'une dent de l'*Ichthyosaurus communis*, faite près de la base, grossie au microscope, d'après Owen.
Fig. 6. — Dent de la même espèce. De grandeur naturelle.
Fig. 7. — Dent de l'*Ichthyosaurus intermedius*, De la Bèche et Conybh., p. 535. De grandeur naturelle.
Fig. 8. — Dent de l'*Ichthyosaurus tenuirostris*, Id., p. 535. Id.
Fig. 9. — Dent de la mâchoire supérieure de l'*Ichthyosaurus campylodon*, Carter, p. 534, de la craie. De grandeur naturelle.
Fig. 10. — Dents de la mâchoire inférieure de la même espèce.
Fig. 11. — Dent de l'*Ichthyosaurus platyodon*, De la Bèche et Conybh., p. 535. Moitié de la grandeur naturelle.
Fig. 12. — Appareil sternal restauré d'un ichthysaure, avec les pattes ou nageoires antérieures.
Fig. 13. — Vertèbres dorsales d'un ichthysaure, figurées de manière à montrer la forme des corps et la manière dont ils s'insèrent aux arcs neuraux; a, les corps; b, les arcs neuraux.
Fig. 14. — Coupe théorique, pour montrer le mode d'articulation des corps entre eux et les cavités qui les séparent.
Fig. 15. — Vertèbre caudale, disposée comme la figure 13.
Fig. 16. — Tête du *Simosaurus Gaillardotii*, p. 541, du terrain triasique. Un quart de la grandeur naturelle, d'après MM. H. de Meyer et Plieninger.
Fig. 17. — Dent de la même espèce de grandeur naturelle.
Fig. 18. — La même dent coupée, et sa tranche.

PLANCHE XXVIII.

REPTILES ENALIOSAURIENS. — *Plesiosaurus* ET *Nothosaurus*.

- Fig. 1. — Squelette restauré du *Plesiosaurus dolichodeirus*, Conybh., p. 534, d'après Conybeare.
Fig. 2. — Squelette de la même espèce, vu du côté du ventre. L'exemplaire original est long de 5 pieds 7 pouces anglais.
Fig. 3. — Squelette du *Plesiosaurus macrocephalus*, p. 535, d'après M. Buckland.
Fig. 4. — Dent de Plésiosaure, fortement grossie, d'après Conybeare.
Fig. 5. — Dent de Pliosaure, p. 537. Moitié de la grandeur naturelle.
Fig. 6. — Tête du *Nothosaurus mirabilis*, Münster, p. 539, du terrain triasique d'Allemagne; a, vue en dessus; b, vue de profil. Un quart de la grandeur naturelle.
Fig. 7. — Dent d'une espèce du même genre, de grandeur naturelle.
Fig. 8. — Coprolite du lias de Lyne Regis, p. 542, d'après M. Buckland.
Fig. 9. — Coupe transversale d'un autre coprolite du même gisement, montrant l'enroulement spiral.
Fig. 10. — Coprolite de la craie marneuse de Lewes.
Fig. 11. — Coupe longitudinale d'un coprolite du même gisement.
-

PLANCHE XXIX.

REPTILES. — LABYRINTHODONTES.

- Fig. 1. — Tête du *Mastodonsaurus Jaegeri*, Alberti, du keuper inférieur du Wurtemberg, vue en dessous, tome I, p. 547. Un douzième de la grandeur naturelle.
Fig. 2. — La même, vue en dessous.
Fig. 3. — Dent de la même espèce.
Fig. 4. — Coupe transversale de cette même dent, grossie.
Fig. 5. — Bouclier pectoral d'un *Mastodonsaurus* de Saaldorf. Un douzième de la grandeur naturelle.
Fig. 6. — Pièces scapulaires de la même espèce; même réduction.
Fig. 7. — Tête vue en dessous du *Copitosaurus robustus*, II, de Meyer, du keper de Stuttgart, tome I, p. 548. Un douzième de la grandeur naturelle.
Fig. 8. — Tête du *Rhinomimus Janikovi*, Fischer, tome I, p. 552, du liais de Russie. Moitié de la grandeur naturelle.
Fig. 9. — Tête de l'*Archegosaurus Dechenii*, Goldfuss, tome I, p. 551; du terrain carbonifère. Un tiers de la grandeur naturelle.
Fig. 10. — Compte d'une dent : a, dent tronquée, b, coupe.
Fig. 11. — Restauration des écailles du tronc d'un *Archegosaurus*, d'après M. Goldfuss.
Fig. 12. — Quelques écailles grossies.
Fig. 13. — Tronc du *Tetrapeton elginense*, Mantell, tome I, p. 554, des terrains dévonien d'Écosse. De grandeur naturelle.

PLANCHE XXX.

REPTILES OPHIDIENS ET BATRACIENS, ET TRACES DE PAS.

- Fig. 1. — Vertèbre du milieu du corps du *Paleophis typhus*, Owen, tome I, p. 557; de l'argile éocène de Braklesham (Sussex), vue par la face antérieure. De grandeur naturelle.
Fig. 2. — La même, vue de profil.
Fig. 3. — La même, vue par sa face postérieure.
Fig. 4. — Vertèbre du milieu du corps du *Palerix rhombifer*, Owen, tome I, p. 557, du terrain éocène d'Hordwell-Cliff.
Fig. 5. — La même, vue de profil.
Fig. 6. — La même, vue par sa face postérieure.
Fig. 7. — Squelette du *Paleobatrachus Goldfussi*, Tschudi (*Homo diluviana*, Goldfuss), tome I, p. 562, des lignites des Siebengebirge. De grandeur naturelle.
Fig. 8. — Tétard probable de la même espèce. De grandeur naturelle.
Fig. 9. — Squelette de l'*Andrias Schenckeri*, Tschudi (*Homo diluvii testis*, Schenck), tome I, p. 565, des schistes d'Ofingen. Un tiers de la grandeur naturelle.
Fig. 10. — Squelette de la *Salamandra Ogygia*, Goldfuss, tome I, p. 566, des lignites des Siebengebirge. De grandeur naturelle.
Fig. 11. — Squelette du *Triton Noachicus*, Goldfuss, tome I, p. 566, du même gisement. De grandeur naturelle.
Fig. 12. — Empreintes de pas attribuées au genre *Cheirotethium*, tome I, p. 569, du grès rouge de Höldburghausen. Un huitième de la grandeur naturelle.

PLANCHE XXXI.

POISSONS TÉLÉOSTÉENS. — CTÉNOÏDES ET PLATIRONCTES.

- Fig. 1. — squelette de la Perche commune, (*Perca fluviatilis*, Linnaé). — 1, colonne épinière et arcs neuraux; 2, arcs hémiaux; 3, côtes; 4, apophyses des côtes; 5, première nageoire dorsale, soutenue par des rayons épiniens; 6, seconde dorsale, soutenue par des rayons mous; 7, nageoire caudale; 8, nageoire anale; 9, rayons porte-nageoires ou osselets interapophysaires supérieurs; 10, les mêmes, inférieurs; 11, nageoire pectorale; 12, nageoire ventrale.
- Fig. 2. — tête de la même espèce, dans laquelle les os sont numérotés par les mêmes chiffres qui ont été employés par MM. Cuvier, Meckel, Agassiz, etc. — 1, frontaux principaux; 2, frontaux antérieurs; 3, nasaux; 4, frontaux postérieurs; 7, pariétaux; 8, occipitaux supérieurs; 9, occipitaux externes; 12, étaillles du temporal; 17, intermaxillaires; 18, maxillaires supérieurs; 19, jingaux ou sous-orbitaires; 20, os mobiles du nez; 21, surtemporaux; 23, mastoidiens; 24, transverses; 26, os carrés; 27, enesse; 28, opercule; 30, préopercule; 31, tympanomaxillaire ou synptérique; 32, sous-opercule; 33, interopercule; 34, dentaire; 35, articulaire; 36, angulaire; 43, scapulaires; 46 et 47, scapulaires; 48, clavicule; 51 et 52, bras et avant-bras. Les numéros qui manquent correspondent à des os qui ne sont pas visibles dans la tête, telle que nous l'avons disposée.
- Fig. 3. — Écaillles d'une jeune perche. 3 a, une écaille de la ligne latérale avec le canal muqueux; 3 b, écaille ordinaire.
- Fig. 4. — *Smerdi minutus*, Agass., tome II, p. 45, d'Aix en Provence. De grandeur naturelle.
- Fig. 5. — Écaillles du *Beryx microcephalus*, Agass., tome II, p. 49, de la craie blanche du Sosset.
- Fig. 6. — *Cristiceps paradoxus*, Müller (*Pterygocephalus paradoxus*, Agass.), tome II, p. 61, du Monte Bolca. De grandeur naturelle.
- Fig. 7. — *Semionophorus velicanus*, Agass., tome II, p. 68, du Monte Bolca. De grandeur naturelle.
- Fig. 8. — *Pygurus nobilis*, Agass., tome II, p. 68, du Monte Bolca. De grandeur naturelle.
- Fig. 9. — *Rhombus minimus*, Agass., tome II, p. 76, du Monte Bolca. De grandeur naturelle.

PLANCHE XXXII.

POISSONS TÉLÉOSTÉENS ET GANOÏDES. — CYCLOIDES ET HOPOLETRIDIES.

- Fig. 1. — tête de truite (*Salmo trutta*, Linnaé). Les os du crâne sont marqués des mêmes numéros que dans la figure 2 de la planche XXXI.
- Fig. 2-4. — Écaillles de différents poissons cycloïdes : 2, *Omberoides Lewesiensis*, Agassiz; 3, Brochet, *Esox lucius*, Linnaé; 4, *Tinca leptostoma*, Agassiz.
- Fig. 5. — Mâchoire inférieure de l'*Enchodus halocyon*, Agass., tome II, p. 81, de la craie de Lewes.
- Fig. 6. — Portion de la mâchoire du *Sauvodon lemons*, Agass., tome II, p. 94, de la craie de Lewes. De grandeur naturelle.
- Fig. 7. — Dents isolées du *Scorpiocephalus lanciformis*, Agass., tome II, p. 93, de la craie de New Jersey. De grandeur naturelle.
- Fig. 8. — Portion d'une plaque calcaire contenant une accumulation de *Lebias cephalotes*, Agass., tome II, p. 107, des plâtrières d'Aix en Provence. De grandeur naturelle.
- Fig. 9. — tête du *Spaniodes blandus*, Pictet, tome II, p. 115, des terrains crétacés du Liban (calcaire tendre de Sach-el-Ajma). De grandeur naturelle.
- Fig. 10. — squelette de l'*Anguilla breviscula*, Agass., tome II, p. 118, du Monte Bolca. De grandeur naturelle.

- Fig. 11. — Squelette de *Sauroramuspha Freyeri*, Heckel, tome II, p. 215, du terrain crétacé de Comen. Un peu plus petit que nature. a, nageoire anale un peu grossie, pour montrer les osselets surapophysaires.
- Fig. 12. — *Euryphodus Boissieri*, Pictet, tome II, p. 216, des terrains crétacés du mont Liban (calcaire de Hakel). De grandeur naturelle.
- Fig. 13. — *Dercetis elongatus*, Agass., tome II, p. 217, de la craie de Lewes. De grandeur naturelle.
- Fig. 14. — Écoussons latéraux de la même espèce, grossis.
- Fig. 15. — Écoussons latéraux grossis du *Dercetis trigoneter*, Pictet, tome II, p. 217, des calcaires tendres de Sach-el-Ahma.
- Fig. 16. — Écoussons latéraux grossis du *Dercetis lingsifer*, Pictet, du même gisement.

PLANCHE XXXIII.

POISSONS GANOÏDES. — OSTEODERMES CYCLIQUES.

- Fig. 1. — Restauration du genre *Leptolepis*, Agass., tome II, p. 136.
- Fig. 2. — Restauration du genre *Megalurus*, Agass., tome II, p. 139.
- Fig. 3. — Écailles du *Megalurus lepidotus*, Agass.
- Fig. 4. — *Coccolepis Bucklandi*, Agass., tome II, p. 140, de Solenhofen. De grandeur naturelle.
- Fig. 5. — Écailles de la même espèce grossies.
- Fig. 6. — Coupe théorique d'un rayon de nageoire, d'un rayon porte-nageoire et d'un arc hémal du genre *Cocicanthus*, Agass., tome II, p. 141.
- Fig. 7-8. — Écailles du *Macropoma Mantelli*, Agass., tome II, p. 152, de la craie blanche d'Angleterre.
- Fig. 9. — Écailles du *Glyptolepis microlepidotus*, Agass., tome II, p. 143, des vieux grès rouges d'Angleterre.
- Fig. 10. — *Holoptichius Andersonii*, Agass., tome II, p. 145, vu par sa face ventrale. Moitié de la grandeur naturelle. Des mêmes grès rouges d'Angleterre.
- Fig. 11. — Écailles de l'*Holoptichius giganteus*, Agass., tome II, p. 146, des mêmes gisements.
- Fig. 12. — Écailles de l'*Actinolepis tuberculatus*, Agass., tome II, p. 146, du terrain dévonien des environs de Saint-Pétersbourg.
- Fig. 13. — Dent du *Dendrodoa striatus*, Owen, tome II, p. 147, du terrain dévonien d'Elgin. De grandeur naturelle.
- Fig. 14. — Dent du *Lammodus biporeatus*, Agass., tome II, p. 148, du même gisement. De grandeur naturelle.
- Fig. 15. — Dent du *Cricodus incisus*, Agass., tome II, p. 149, des mêmes gisements. De grandeur naturelle.
- Fig. 16. — Écailles de l'*Asterolepis ornata*, Eichwald, tome II, p. 149, des terrains dévoniens de Riga. De grandeur naturelle.
- Fig. 17. — Une portion d'une autre écaille du même poisson, grossie.
- Fig. 18. — Portion d'une écaille osseuse du *Bothriolepis fuscus*, Agass., tome II, p. 151, des terrains dévoniens d'Elgin. a, de grandeur naturelle.
- Fig. 19. — Écailles du *Pommostes paradoxus*, Agass., tome II, p. 151, du terrain dévonien de Riga.

PLANCHE XXXIV.

POISSONS GANOÏDES. — LÉPIDOSTÉRIDES HOMOCÉRQUES.

- Fig. 1. — Figure restaurée du genre *Aipidorynchus*, Agass., tome II, p. 156.
- Fig. 2. — Figure restaurée du genre *Lepidotus*, Agass., tome II, p. 150.
- Fig. 3-4. — Écailles du *Lepidotus semiannulatus*, Agass., grossie, du bas de Whitby.
- Fig. 5. — Dents du *Lepidotus Mantelli*, Agass., des râbles d'Hastings.

- Fig. 6. — Écaillles du *Pholidophorus limbatus*, Agass., tome II, p. 168, du Liass de Lyme-Regis.
Fig. 7. — Queue du *Lepidosternus ossifer*, tome II, p. 170, vivant; pour montrer le mode de terminaison des écailles dans une queue hétérocercpe et la disposition des fulcres sur la nageoire caudale.
Fig. 8. — Squelette de la même queue, représenté comme type de la terminaison la plus fréquente de la colonne épinière dans les ganoides homocercques.
Fig. 9. — Disposition des écailles dans la même espèce, prise comme type des Ganoides rhombifères.
Fig. 10. — Squelette restauré du genre *Caturus*, Agass., tome II, p. 170, comme type d'un Lépidostéide homocercque à corde dorsale persistante.
Fig. 11. — Demi-vertébres (supérieure et inférieure) qui enveloppent la corde dorsale dans plusieurs Ganoides, tome II, p. 6.
Fig. 12. — Ces mêmes pièces dans leur position relative.
Fig. 13. — Queue de l'*Eugnathus orthostomus*, Agass., tome II, p. 176, du lias de Lyme-Regis. Un tiers de la grandeur naturelle.
Fig. 14. — *Dipodus Cœli*, Agass., tome II, p. 168 du lias de Lyme-Regis. Un tiers de la grandeur naturelle.
Fig. 15. — Mâchoire du *Tetragonolepis mastodonteus*, Agass., tome II, p. 166, des sables d'Hastings.
Fig. 16. — Écaillles du *Tetragonolepis monilifer*, Agass., du lias d'Angleterre.

PLANCHE XXXV.

POISSONS GANOÏDES. — LÉPIDOSTÉIDES HÉTÉROCERCQUES.

- Fig. 1. — Tête du *Megalichthys Hibberti*, Agass., tome II, p. 179, du terrain carbonifère de Glasgow, vue en dessous. Un huitième de la grandeur naturelle.
Fig. 2. — La même, vue en dessous.
Fig. 3. — La même, vue de profil.
Fig. 4. — Dent du *Sauvichtys acuminatus*, Agass., tome II, p. 178, du muschelkalk d'Austclift.
Fig. 5. — Dent du *Sauvichtys longidens*, Agass., id.
Fig. 6. — Dent du *Sauvichtys apicalis*, Agass., du muschelkalk de Bayreuth.
Fig. 7. — *Sauvichtys Mongotii*, Agass., du muschelkalk de Lnnéville. — Dans les figures 4, 5, 6 et 7, les petites dents figurées sous la lettre a indiquent la grandeur naturelle.
Fig. 8. — Écaillles de l'*Acerolepis Sedgwicki*, Agass., tome II, p. 180, du terrain magnésien d'Angleterre.
Fig. 9. — Forme probable des poissons du genre *Amblypterus*, Agass., tome II, p. 181.
Fig. 10. — Écaillles de l'*Amblypterus striatus*, Agass., du terrain carbonifère de New-Haven.
Fig. 11. — Écaillles de l'*Amblypterus nemopterus*, Agass., du même gisement.
Fig. 12. — Forme d'une espèce allongée appartenant au genre *Palaeoniscus*, Agass., tome II, p. 185.
Fig. 13. — Forme d'une espèce courte du même genre.
Fig. 14. — *Palaeoniscus Vratislavensis*, Agass., des schistes de Ruppeldorf en Bohême. De grandeur naturelle.
Fig. 15. — Écaillles du *Palaeoniscus glaphyrus*, Agass., du calcaire magnésien d'Angleterre.
Fig. 16. — Écaillles du *Palaeoniscus carinatus*, Agass., du terrain carbonifère de New-Haven.
Fig. 17. — Écaillles du *Palaeoniscus angustus*, Agass., des schistes carbonifères de Muse, près Autun.

PLANCHE XXXVI.

POISSONS GANOÏDES. — ACANTHODIENS ET Pycnodontes.

- Fig. 1. — *Acanthodes* restauré, tome II, p. 189.
Fig. 2. — Écaillles de l'*Acanthodes sulcatus*, Agass., du terrain carbonifère de New-Haven.

- Fig. 3. — Écaillles de l'*Acanthodes Bromii*, Agass., de la houille de Saarbrück.
Fig. 4. — *Diplocaelus* restauré, tome II, p. 190.
Fig. 5. — Écailles du *Diplocaelus striatus*, Agass., du vieux grès rouge d'Angleterre.
Fig. 6. — Rayon qui soutient la nageoire dorsale dans la même espèce.
Fig. 7. — Manière dont les arcs neuraux et hémiaux s'épaient à leur base pour protéger la corde dorsale, en formant ce que M. Heckel appelle des demi-vertébres, tome II, p. 6 et 195.
Fig. 8. — Les mêmes demi-vertébres dans une espèce où elles ont le bord dentelé.
Fig. 9. — Forme des mêmes demi-vertébres dans les Pyenodontes tertiaires. Ces organes s'engrènent ensemble par une sorte de dentelure.
Fig. 10. — *Pycnodus rhombus*, Agass., tome II, p. 199, de Torre d'Orlando, près Naples. De grandeur naturelle, dessiné d'après un échantillon du musée de Genève.
Fig. 11. — *Pycnodus* restauré, tome II, p. 197.
Fig. 12. — Dent molaire d'un poisson du même genre. α , vue en dessus; δ , vue en dessous. De grandeur naturelle.
Fig. 13. — Dents du *Pycnodus rugosus*, Agass., tome II, p. 198, de l'oolithe sahlense du Northamptonshire. De grandeur naturelle.
Fig. 14. — Dents du *Gyrodus umbilicus*, Agass., tome II, p. 201, de l'oolithe de Durheim (grand-duché de Bade). De grandeur naturelle.
Fig. 15. — Dents du *Peristedion Konigii*, Agass., tome II, p. 204, de l'argile de Sheppy. De grandeur naturelle.
Fig. 16. — Dents du *Gymnus oblongus*, Agass., tome II, p. 204 du calcaire de Stonesfield. De grandeur naturelle.
Fig. 17. — Trois dents de l'*Acrotremus faba*, Agass., tome II, p. 204, de la craie de Kent. De grandeur naturelle.
Fig. 18. — Dent du *Sphaerodus gigas*, Agass., tome II, p. 205, des terrains kimméridgiens. De grandeur naturelle.
Fig. 19. — Portion de mâchoire du même genre, figuré, mais non décrit par M. Gervais. De grandeur naturelle.
Fig. 20. — Dent du *Phycodus punctatus*, Dixon, tome II, p. 208, de la craie de Lewes. De grandeur naturelle.
Fig. 21. — *Platygomus* restauré, tome II, p. 208.
Fig. 22. — Dentition de la mâchoire supérieure du *Placodus Audryssii*, Münster, tome II, p. 210, du terrain triasique. Un tiers de la grandeur naturelle.
Fig. 23. — Une des dents de la même espèce, de grandeur naturelle.

PLANCHE XXXVII.

POISSONS GANOIDES ET PLACOÏDES. — DIPTERIENS, CÉPHALASPIODES ET CRIMÉIDES.

- Fig. 1. — Restauration du genre *Dipterus*, tome II, p. 192.
Fig. 2. — *Cephalaspis Lyelli*, Agass., tome II, p. 219, du vieux grès rouge du pays de Galles. Moitié de la grandeur naturelle.
Fig. 3. — Restauration du genre *Coccopterus*, Agass., tome II, p. 220.
Fig. 4. — Restauration du genre *Pterichthys*, Agass., tome II, p. 221 (face ventrale). — i , première paire de plaques du bouclier ventral; e , seconde paire; f , troisième paire; h , quatrième paire; g , pièce impaire, désignée par M. Agassiz sous le nom de plaque centrale.
Fig. 5. — Restauration du profil de la région thoracique du même genre. α , plaque dorsale antérieure; b , plaque dorsale postérieure; c , plaque latérale antérieure; d , plaque latérale postérieure; i , e , f et k , les quatre paires de plaques ventrales, comme dans la figure précédente.

- Fig. 6. — *Pterichthys productus*, Agass., du vieux grès rouge d'Angleterre. Moitié de la grandeur naturelle.
- Fig. 7. — Boucle de *Raie* vivante, prise comme type des téguiments de la sous-classe des Placoides : a, vue en dessus, b, vue de profil.
- Fig. 8. — Mâchoire d'une *Chimère* vivante, prise comme type de l'organisation de la famille des Chimérides, tome II, p. 230.
- Fig. 9. — La même bouche, vue de face et largement ouverte.
- Fig. 10. — Maxillaire antérieur de l'*Jackyodon Egertonii*, Buckland, tome II, p. 231, du terrain kieméridgien de Shotover : a, vue en dehors; b, vue en dedans.
- Fig. 11. — Surface de trituration de la plaque principale de la mâchoire supérieure dans le même genre.
- Fig. 12. — Appareil maxillaire du genre *Edaphodon*, Egerton, tome II, p. 232 (*E. gigas*). a, maxillaire supérieur principal; b, maxillaire inférieur; c, maxillaire supérieur antérieur, qui a été décrit comme type du genre *Passadodon*, Buckland.
- Fig. 13. — Vertèbre appartenant au genre des *Lamna*, tome II, p. 259.

PLANCHE XXXVIII.

POISSONS PLACOIDES. — SQUALIDES ET CESTACIOMES.

Toutes les figures de cette planche ont été dessinées de grandeur naturelle.

- Fig. 1. — Dent du *Carcharodon heterodon*, Agass., du terrain tertiaire de Normandie, tome II, p. 237.
- Fig. 2. — Dent du *Carcharodon auriculatus*, Agass., du terrain miocène de Dax.
- Fig. 3. — Dent du *Carcharodon sulcidentis*, Agass., de Soissons.
- Fig. 4. — Dent du *Galeocerdo latidens*, Agass., tome II, p. 241, du terrain tertiaire du bassin de Vienne.
- Fig. 5. — Dent du *Galeocerdo aduncus*, Agass., du terrain tertiaire miocène.
- Fig. 6. — Dent du *Cornu falcatum*, Agass., tome II, p. 240, de la craie blanche.
- Fig. 7. — Dent du *Cornu Kaupii*, Agass., des mêmes gisements.
- Fig. 8. — Dent de l'*Hemipristis serra*, Agass., tome II, p. 242, des terrains miocènes.
- Fig. 9. — Dent de l'*Hemipristis paucidentis*, Agass., de la molasse du Wurtemberg.
- Fig. 10. — Dents du *Notidamus primigenius*, Agass., tome II, p. 243, de la molasse suisse.
- Fig. 11. — Dent du *Sphyrna lata*, Agass., tome II, p. 244, de la molasse.
- Fig. 12. — Dent de la *Glyptis hastalis*, Agass., tome II, p. 236, de l'argile de Londres.
- Fig. 13. — a et b. Dents de l'*Otodus appendiculatus*, Agass., tome II, p. 245, de la craie blanche.
- Fig. 14. — Dent de l'*Oxyrhina ziphodon*, Agass., tome II, p. 247, des gypses de Paris.
- Fig. 15. — Dent de la *Lamna elegans*, Agass., tome II, p. 249, des terrains tertiaires éocènes d'Angleterre.
- Fig. 16 et 17. — Dents de l'*Odontaspis Hippci*, Agass., tome II, p. 251, de l'argilo de Sheppy.
- Fig. 18. — Dent du *Sphenodus longidens*, Agass., tome II, p. 252, des marnes oxfordiennes d'Allemagne.
- Fig. 19. — Dent du *Scyllodus antiquus*, Agass., tome II, p. 254, de la craie d'Angleterre.
- Fig. 20. — Portion de la peau de la même espèce.
- Fig. 21. — Dent du *Strophodus tenuis*, Agass., tome II, p. 250, de l'oolithe de Stonesfield.
- Fig. 22. — Dent de l'*Acerodus nobilis*, Agass., tome II, p. 261, du lias de Lyme-Regis.
- Fig. 23. — Dent de l'*Acerodus minimum*, Agass., des terrains triasiques supérieurs d'Angleterre.
- Fig. 24. — Dent de l'*Orodus cinetus*, Agass., tome II, p. 263, des terrains carbonifères des environs de Bristol.
- Fig. 25. — Dent du *Ctenoptechis apicalis*, Agass., tome II, p. 265, des schistes houillers de Stafford.
- Fig. 26. — Dent du *Ptychodus latissimus*, Agass., tome II, p. 266, de la craie blanche.
- Fig. 27. — Dent du *Ptychodus mammillaris*, Agass., du même gisement.

- Fig. 28. — Dent du *Piommodus porosus*, Agass., tome II, p. 266, du calcaire carbonifère de Bristol.
Fig. 29. — Dent du *Chonetodus cinctus*, Agass., tome II, p. 266, du même gisement.
Fig. 30. — Dent de l'*Heodus simplex*, Agass., tome II, p. 266, des schistes houillers d'Angleterre.
Fig. 31. — Dent du *Campodus Agassizianus*, de Koninck, tome II, p. 267, des terrains houillers de Belgique.
Fig. 32. — Dent du *Cochlodius contortus*, Agass., tome II, p. 267, des calcaires carbonifères d'Angleterre et d'Irlande.
Fig. 33. — Dent du *Ceratodus serotinus*, Agass., tome II, p. 267, du grès supérieur d'Argovie.
Fig. 34. — Dent du *Ceratodus altus*, Agass., du terrain triasique supérieur d'Angleterre.
Fig. 35. — Dent du *Ctenodus cristatus*, Agass., tome II, p. 269, des terrains houillers d'Angleterre.

PLANCHE XXXIX.

POISSONS PLACOIDES. — HYBODOSTES, RAJIDIENS ET ICHTHYODORULITES.

- Fig. 1-2. — Deuts de l'*Hybodus apicalis*, Agass., tome II, p. 255, grosses ; du terrain triasique de Hildesheim.
Fig. 3. — Deut de l'*Hybodus minor*, Agass., grosse ; du lias de Lyme-Regis.
Fig. 4. — Deut de l'*Hybodus polypterus*, Agass., de l'oolithe de Stonesfield. De grandeur naturelle.
Fig. 5. — Epine dorsale de l'*Hybodus subcarinatus*, Agass., du terrain wealdien de la forêt de Tilgate. De grandeur naturelle.
Fig. 6. — Dent du *Cladodus Milleri*, Agass., tome II, p. 258, du terrain carbonifère de Bristol. De grandeur naturelle.
Fig. 7. — Deut du *Cladodus mirabilis*, Agass., du calcaire carbonifère d'Armagh.
Fig. 8. — Dent du *Diplodus gibbosus*, Agass., tome II, p. 259, de la houille de Carlisle.
Fig. 9. — Squelette complet de *Cyclobatis oligodactylus*, Egerton, tome II, p. 278, des terrains crétacés du mont Libau. De grandeur naturelle.
Fig. 10. — Profil de la tête d'une *Myliobate* vivante, tome II, p. 279, pour montrer la disposition des plaques dentaires.
Fig. 11. — Plaque dentaire de *Myliobates toliapicus*, Agass., tome II, p. 280, de l'argile de Londres. a, vue par sa surface triturante ; b, vue par la racine. Moitié de la grandeur naturelle.
Fig. 12. — Plaque dentaire de *Myliobates naturalis*, Agass., des terrains tertiaires des environs de Maastricht. De grandeur naturelle.
Fig. 13. — Plaque dentaire de l'*Etoptoris irregularis*, Agass., tome II, p. 281, de l'argile de Londres. Moitié de la grandeur naturelle.
Fig. 14. — Restauration d'une plaque dentaire du genre *Zygobates*, Agass., tome II, p. 282.
Fig. 15. — Ichthyodorulite de *Gymnathus tuberculatus*, Agass., tome II, p. 284, du terrain carbonifère d'Angleterre. a, vue par sa face antérieure ; b, vue de profil ; c, vue par la face postérieure. Environ un tiers de la grandeur naturelle.
Fig. 16. — Ichthyodorulite de l'*Oncus vulcanum*, Agass., tome II, p. 285, du calcaire carbonifère de Bristol.
Fig. 17. — Ichthyodorulite de l'*Oncus heterogyrus*, Agass., du terrain dévoniens des environs de Saint-Pétersbourg. De grandeur naturelle.
Fig. 18. — Ichthyodorulite de l'*Hoplocaanthus marginatus*, Agass., tome II, p. 286, du même gisement. De grandeur naturelle.
Fig. 19. — Ichthyodorulite du *Narcodes pastulifer*, Agass., tome II, p. 286, du même gisement. De grandeur naturelle.
Fig. 20. — Ichthyodorulite du *Bryocanthus cresulatus*, Agass., tome II, p. 287, du même gisement. De grandeur naturelle.
Fig. 21. — Ichthyodorulite du *Comacanthus Molophilus*, Agass., tome II, p. 287, du terrain dévoniens des environs d'Elgin. De grandeur naturelle.

- Fig. 22. — Ichthyodorulite de l'*Homacanthus arcuatus*, Agass., tome II, p. 288, du terrain dévonien des environs de Saint-Pétersbourg. De grandeur naturelle.
- Fig. 23. — Ichthyodorulite de l'*Asteracanthus ornatissimus*, Agass., tome II, p. 288, du terrain kimmeridgien. Environ moitié de la grandeur naturelle.
- Fig. 24. — Ichthyodorulite du *Pristacanthus securis*, Agass., tome II, p. 289, de la grande oolithe. Moitié de la grandeur naturelle.
- Fig. 25. — Ichthyodorulite du *Myriacanthus paradoxus*, tome II, p. 289, du lias de Lyme-Regis. Réduit à peu près au tiers de sa grandeur naturelle, a, face postérieure; b, face latérale.
- Fig. 26. — Ichthyodorulite du *Ptychoacanthus dubius*, Agass., tome II, p. 291, du vieux grès rouge d'Obergavenny. De grandeur naturelle.
- Fig. 27. — Ichthyodorulite du *Climatus reticulatus*, Agass., tome II, p. 293, du vieux grès rouge d'Angleterre. De grandeur naturelle.
- Fig. 28. — Ichthyodorulite du *Paraceras recurvus*, Agass., tome II, p. 293, des mêmes gisements. De grandeur naturelle.
- Fig. 29. — Ichthyodorulite du *Odontocanthus heterodon*, Agass., tome II, p. 293, du vieux grès rouge de Riga. De grandeur naturelle.
- Fig. 30. — Ichthyodorulite du *Pteracanthus levissimus*, Agass., tome II, p. 295, des terrains carbonifères de Dudley. Moitié de la grandeur naturelle.
- Fig. 31. — Coloïte ou intestin de poisson pétrifié. Cette espèce est celle qui a été désignée par le comte de Münster sous le nom de *Lumbricaria intestinalis*, tome II, p. 295.

PLANCHE XI..

ARTICULÉS. — INSECTES.

Toutes les figures de cette planche sont de grandeur naturelle, à l'exception de quelques-unes des insectes de l'ambre, figures 23 à 28.

- Fig. 1. — Aile trouvée dans le terrain carbonifère de Coalbrook-Dale et rapportée par M. Audouin à une *Corydale*, tome II, p. 377.
- Fig. 2. — Aile de la *Blattia didyma*, Germar, tome II, p. 362, des terrains carbonifères de Westin.
- Fig. 3-6. — Insectes du lias d'Argovie décrits par M. Heer. — Fig. 3, *Euchroma liosina*, Heer, tome II, p. 331. — Fig. 4, *Hydrophilus Acherontis*, Heer, tome II, p. 341. — Fig. 5, *Gomphocerites Bucklandi*, Heer, tome II, p. 363. — Fig. 6, *Blattina formosa*, Heer, tome II, p. 362.
- Fig. 7. — Libellule du lias de Cheltenham, décrite par M. Brodie sous le nom de *Heterophlebia discocata*, Brodie, tome II, p. 374.
- Fig. 8-10. — Insectes des schistes lithographiques de Bavière (terrain corallien). — Fig. 8, *Ceraurus dubius*, Münster, tome II, p. 353. — Fig. 9, *Asilica lithophilus*, Germar, tome II, p. 400. — Fig. 10, *Phemeroptera Germari*, Münster, tome II, p. 366.
- Fig. 11. — Lépidoptère fossile trouvé dans les marne insecticérées d'Aix en Provence et décrit par M. Boisduval, sous le nom de *Cyllo septula*, tome II, p. 393.
- Fig. 12-20. — Insectes d'Öeningen décrits par M. Heer. — Fig. 12, *Hydrophilus spectabilis*, Heer, tome II, p. 364. — Fig. 13, *Proctenus Ericksoni*, Heer, tome II, p. 327. — Fig. 14, *Cappadis antiqua*, Heer, tome II, p. 331. — Fig. 15, *Clerus Adonis*, Heer, tome II, p. 335. — Fig. 16, *Gomphocerus femoralis*, Heer, tome II, p. 368. — Fig. 17, *Indofia nigra*, Heer, tome II, p. 383. — Fig. 18, *Formica primordialis*, Heer, tome II, p. 383. — Fig. 19, larve de *Libellula Calyptra*, Heer, tome II, p. 374. — Fig. 20, *Cephites fragilis*, Heer, tome II, p. 384.
- Fig. 21 et 22. — Insectes de Radoboj en Croatie, décrits par M. Heer. — Fig. 21, *Vanessa Pluto*, Heer, tome II, p. 393. — Fig. 22, *Altajais longipennis*, Heer, tome II, p. 383.
- Fig. 23-28. — Insectes néropétrés de l'ambre décrits par MM. Pictet et Berendt. — Fig. 23, *Termetus picteti*, Berendt, de grandeur naturelle avec son aile grossie, tome II, p. 369. — Fig. 24, *Chaniodes prisca*, P. et B., de grandeur naturelle avec son antenne grossie, tome II,

p. 377. — Fig. 25, *Pseudoperla gracilipes*, P. et B., tome II, p. 264, de grandeur double. — Fig. 26, *Bittacus antiquus*, P. et B., tome II, p. 379, une fois et demie de la grandeur naturelle. — Fig. 27, *Amphientomum paradoxum*, B. et P., tome II, p. 376, grossi quatre fois avec sa patte postérieure et son aile inférieure sous un grossissement plus fort. — Fig. 28, *Embia antiqua*, P. et B., tome II, p. 370, trois fois et demie de la grandeur naturelle.

PLANCHE XI.I.

ARACHNIDES. — CRUSTACÉS DÉCAPODES. — BRACHYURUS ET ANOMOURES.

- Fig. 1. — Scorpion du terrains houiller de Bohème (*Cyclocephalus Sternbergii*), tome II, p. 407.
- Fig. 2. — *Palpipes priscus*, Roth, de Solemboen, tome II, p. 407.
- Fig. 3. — Carapace du *Cancer normanus*, Linné, vivant, pour montrer la disposition des régions, tome II, p. 419. — *x*, région stomacale; *g*, région génitale; *c*, région cordiale; *b*, régions branchiales; *h*, régions hépatiques antérieures; *k*, région hépatique postérieure.
- Fig. 4. — Carapace du *Cancer quadrilobatus*, Desmarest, tome II, p. 423, des faluns de Dax. Moitié de la grandeur naturelle.
- Fig. 5. — Carapace du *Cancer punctulatus*, Desmarest, tome II, p. 422, des environs de Vicence. Moitié de la grandeur naturelle.
- Fig. 6. — Carapace du crabe à grosses pinces de Desmarest (*Carpilius macrocheilus*, Milne Edwards), tome II, p. 423. Moitié de la grandeur naturelle.
- Fig. 7. — Carapace et patte antérieure du *Podopilumnus fittoni*, M' Coy, tome II, p. 425.
- Fig. 8. — Carapace du *Portunus Hericarti*, Desmarest, tome II, p. 426. Grossi d'un quart.
- Fig. 9. — Pince attribuée par M. Milne Edwards au genre *Lugae*, tome II, p. 426, et décrite par Desmarest sous le nom de *Portunus leucodon*.
- Fig. 10. — *Macrocephalus Desmarestii*, Lucas, tome II, p. 429, trouvé au détroit de Malaca. Un peu grossi.
- Fig. 11. — Crustacé du même genre, suivant M. Milne Edwards, décrit par Desmarest sous le nom de *Gonophox emarginata*, tome II, p. 429.
- Fig. 12. — Pattes d'un crustacé voisin des *Grapses*, trouvées dans la craie blanche du comté de Sussex, tome II, p. 429. Moitié de la grandeur naturelle.
- Fig. 13. — Carapace appartenant au genre *Philyra*, Leach, tome II, p. 431, et décrite par Desmarest sous le nom de *Leucosia cranium*.
- Fig. 14. — Carapace appartenant au genre *Atelecyclus*, Leach, tome II, p. 432 (*A. rugosa*, Desmarest).
- Fig. 15. — Carapace et patte antérieure du *Notopocoristes Mantelli*, M' Coy, tome II, p. 433.
- Fig. 16. — Carapace du crustacé décrit par Bosc sous le nom de *Dromilites punctulatus*, tome II, p. 435, des terrains crétacés supérieurs de Bobène.
- Fig. 17. — Figure au trait, d'après M' Coy, du *Basinotopus Lamarckii*, M' Coy, tome II, p. 435, de l'Argile de Shepp.
- Fig. 18. — Carapace et abdomen de la *Ranina palmata*, Eugène Sismonda, tome II, p. 436, des terrains miocènes de la montagne de Turin. Moitié de la grandeur naturelle.
- Fig. 19. — Carapace appartenant probablement au même genre et décrite par le comte de Munster sous le nom de *Hella speciosa*, tome II, p. 436, des terrains tertiaires des environs de Cassel.
- Fig. 20. — Carapace appartenant au genre *Prosopon*, Hermann de Meyer, sous-genre *Pithonotus* (*P. rostratum*), tome II, p. 438. De grandeur naturelle. — *a*, vue en dessus; *b*, vue de profil.
- Fig. 21. — Carapace du *Prosopon spinosum*, Hermann de Meyer, tome II, p. 438. De grandeur naturelle.

Fig. 22. — Carapace du *Prosopon tuberosum*, Hermann de Meyer, tome II, p. 438, du terrain néoco-
mien du département du Jura. De grandeur double. — *a*, vue en dessous; *b*, vue de profil.

PLANCHE XLII.

CRUSTACÉS DÉCAPODES MACROURES. — CUIRASSÉS ET ASTACIENS.

- Fig. 1. — Carapace de l'écrevisse commune (*Astacus fluviatilis*, Gessner), vivante, pour montrer la disposition des régions, tome II, p. 439. — *a*, région stomacale; *g*, région génitale; *c*, région cardiale; *b*, région branchiale; *A'*, région hépatique postérieure. Ces lettres sont les mêmes que celles qui ont été employées dans la figure 3 de la planche XLII.
- Fig. 2. — *Eryx arcuiformis*, Brönn (*E. Cucieri*, Desm.), tome II, p. 441, des schistes lithographiques de Solenhofen. De grandeur naturelle.
- Fig. 3. — *Archaeoceraspis Boeversbankii*, M' Coy, tome II, p. 442, de l'argile de Londres. Un peu réduite.
- Fig. 4. — *Palinurus longipes*, Münster, tome II, p. 443, des schistes lithographiques, vue en dessous. Moitié de la grandeur naturelle.
- Fig. 5. — *Pemphix Suturii*, H. de Meyer, tome II, p. 444, du terrain triasique. Moitié de la grandeur naturelle.
- Fig. 6, a. — Carapace du *Litogaster obtusa*, H. de Meyer, tome II, p. 445, du terrain triasique. De grandeur naturelle.
- Fig. 6, b. — Carapace du *Litogaster venusta*, id., du même terrain. De grandeur naturelle.
- Fig. 7. — *Cancrinos claviger*, Münster, tome II, p. 445, des schistes lithographiques de Solenhofen, vu en dessous. Moitié de la grandeur naturelle.
- Fig. 8. — Pattes attribuées par Desmarest au *Pegurus Fanfani*, et par M. Milne Edwards au genre *Calianassa*, tome II, p. 446, du terrain crétacé supérieur de Saint-Pierre de Maestricht.
- Fig. 9. — *Orphnae squamosa*, Münster, tome II, p. 447, des schistes lithographiques de Solenhofen. De grandeur naturelle.
- Fig. 10. — Carapace de l'*Hoploparia primatica*, M' Coy, tome II, p. 449, de l'argile de Speeton. De grandeur naturelle.
- Fig. 11. — *Paleoneurus Dizoni*, Bell, tome II, p. 450, de la craie blanche du Sussex. Moitié de la grandeur naturelle.
- Fig. 12. — Patte de la même espèce, même réduction.
- Fig. 13. — Carapace de la *Glyphaea liaiana*, H. de Meyer, tome II, p. 450, du lias. De grandeur naturelle.
- Fig. 14. — Carapace de la *Glyphaea Regleyana*, H. de Meyer, du terrain à chailles de la Haute-Saône. De grandeur naturelle.
- Fig. 15. — *Éryma elongata*, Münster, tome II, p. 451, des schistes lithographiques de Solenhofen. Un peu réduite.
- Fig. 16. — Carapace de la *Clytia ventrosa*, H. de Meyer, tome II, p. 452. Moitié de la grandeur naturelle.
- Fig. 17. — Portion antérieure de la carapace de l'*Euoploctyria brevirostris*, M' Coy, tome II, p. 452, de la craie inférieure d'Angleterre. De grandeur naturelle.
- Fig. 18. — *Meyeria magna*, M' Coy, tome II, p. 457, du lower green sand d'Angleterre. De grandeur naturelle. — *a*, la carapace vue en dessus.
- Fig. 19. — *Bolina punctulata*, Münster, tome II, p. 452, des schistes lithographiques de Solenhofen. De grandeur naturelle.
- Fig. 20. — Patte de l'*Undina Posidonior*, Quenstedt, tome II, p. 453, du lias. Un tiers de la grandeur naturelle.
- Fig. 21. — *Aura Desmarestii*, Münster, tome II, p. 458, des schistes lithographiques de Solenhofen. De grandeur naturelle.

PLANCHE XLIII.

CRUSTACÉS. — SALICOQUES, ISOPOMES ET TALIBONITES.

- Fig. 1. — *Andrimpos trifidus*, Münster, des schistes lithographiques d'Eichstaedt, tome II, p. 456.
Deux cinquièmes de la grandeur naturelle.
- Fig. 2. — *Bulgia hexadon*, Münster, de Solenhoefen, tome II, p. 456. Moitié de la grandeur naturelle.
- Fig. 3. — *Drosina deformis*, Münster, de Solenhoefen, tome II, p. 456. Deux cinquièmes de la grandeur naturelle.
- Fig. 4. — *Eger spinipes*, Münster, de Solenhoefen, tome II, p. 457. Moitié de la grandeur naturelle.
- Fig. 5. — *Dusa monocera*, Münster, de Solenhoefen, tome II, p. 458. Moitié de la grandeur naturelle.
- Fig. 6. — *Hefriga serrata*, Münster, de Solenhoefen, tome II, p. 458. De grandeur naturelle.
- Fig. 7. — *Ranna multipes*, Münster, de Solenhoefen, tome II, p. 459. Un peu plus petite que nature.
- Fig. 8. — *Mecochirus locutus*, Germar, de Solenhoefen, tome II, p. 460. Moitié de la grandeur naturelle.
- Fig. 9. — *Squilla antiqua*, Münster, du Monte Bolca, tome II, p. 462. Moitié de la grandeur naturelle.
- Fig. 10. — *Gamponyx fimbriatus*, Jordan, des terrains carbonifères des environs de Saarbrück, tome II, p. 464. De grandeur naturelle.
- Fig. 11. — *Spharomus Gastaldi*, Eug. Simeoni, du terrain miocène de la colline de Turin, tome II, p. 466. Moitié de la grandeur naturelle.
- Fig. 12. — *Archaeoniscus Brodiei*, Milne Edwards, du terrain wealdien d'Angleterre, tome II, p. 467.
De grandeur naturelle.
- Fig. 13. — *Urda decurata*, Münster, de Solenhoefen, tome II, p. 467. Un peu plus petit que nature.
- Fig. 14. — *Scudella pensata*, Münster, de Solenhoefen, tome II, p. 468. Un peu plus petit que nature.
- Fig. 15. — *Aleis octopus*, Münster, de Eichstaedt, tome II, p. 468. Un peu plus petit que nature.
- Fig. 16. — Figure au trait du *Dalmatites Hassumanni*, Brongniart, comme type de l'ordre des *Trilobites*, tome II, p. 474. — A. *Tête*. 1, bord extérieur du limbe ou flét marginal; 2, sillon ou rainure du bord; 3, anneau occipital; 4, glabellule; 5, grande suture passant en avant de la glabellule et en dedans des yeux; 6, yeux et suture suboculaire. — a, joue fixe, formant du côté de l'œil, en a 5, le lobus palpebral; b, joue mobile; g, pointe génale. — B. *Thorax*. 7, anneau de l'axe de chaque segment du thorax; 8, plèvres de l'axe de chaque segment du thorax. — C. *Pygidium*. 9, continuation de l'axe; 10, continuation des plèvres.
- Fig. 17. — Oeil du *Phacops latifrons* grossi. — a, l'œil entier; b, une partie des lentilles plus grossies.
- Fig. 18. — Section verticale théorique d'un œil du même genre.
- Fig. 19. — Section verticale théorique d'un œil du second type (genre *Asaphus*).
- Fig. 20. — Oeil de l'*Acidaspis Verneilli*, grossi, vu du côté externe, pour représenter les yeux du second type de la forme panoramique.
- Fig. 21. — Le même, vu du côté interne.
- Fig. 22. — Quelques lentilles du même œil.
- Fig. 23. — Coope verticale des mêmes.
- Fig. 24. — Oeil de l'*Harpes ungula*, représentant le 3^e type.
- Fig. 25. — Deux anneaux du thorax pris dans le type de la plèvre à sillon, chez le *Paradoxides spinosus*.
- Fig. 26. — Le même type de plèvre chez le *Harpes ungula*.
- Fig. 27. — Type de la plèvre à bourrelet chez le *Placoparia Zipei*.
- Fig. 28. — Type de la plèvre à bourrelet chez le *Cheirurus Hanlei*.
- Fig. 29. — Type de la plèvre à bourrelet chez l'*Acidaspis mira*.

PLANCHE XLIV.

CRUSTACÉS. — TRILOBITES.

- Fig. 1. — *Harpes ungula*, Sternberg, tome II, p. 487, du terrain silurien supérieur.
Fig. 2. — *Romaleurides radians*, Barrande, tome II, p. 488, du terrain silurien inférieur de Bohême.
Fig. 3. — *Paradoxides Bohemicus*, Boeck, tome II, p. 488, du terrain silurien inférieur.
Fig. 4. — *Hydrocephalus sphaeroides*, Barrande, tome II, p. 489, du terrain silurien inférieur de Bohême. — a, forme du jeune âge; b, forme de l'adulte.
Fig. 5. — *Sco hirsuta*, Barrande, tome II, p. 490, du terrain silurien inférieur de Bohême. — a, forme du jeune âge; b, c, d, formes des états de croissance successifs; e et f, formes de l'adulte. La grandeur naturelle est indiquée par des traits à côté des figures a à d.
Fig. 6. — *Olenus gibbosus*, Dalman, t. II, p. 491, du terrain silurien inférieur de Suède.
Fig. 7. — *Peltura scaraboides* (*Olenus scaraboides*, Dalman), tome II, p. 492, du même gisement.
Fig. 8. — *Conocerasites Sulzeri*, Schlot., tome II, p. 493, du terrain silurien inférieur.
Fig. 9. — *Proetus Ryckolti*, Barr., tome II, p. 494, du terrain silurien supérieur.
Fig. 10. — *Proetus myops*, Barrande, du même gisement.
Fig. 11. — *Proetus striatus*, Barrande, tome II, p. 495, comme type du sous-genre des *Phoxon*, du terrain silurien supérieur.
Fig. 12. — *Phillipsia Derbignyi*, Martin, tome II, p. 496, des terrains carbonifères. Ce genre est le seul qui, en Europe, ait vécu jusqu'à cette époque.
Fig. 13. — *Cyphaspis Burmeisteri*, Barrande, tome II, p. 497, du terrain silurien de Bohême.
Fig. 14. — Tête de *Cyphaspis Barrandei*, Corda, du terrain silurien supérieur.
Fig. 15. — Tête de *Arethusa Koninckii*, Barr., tome II, p. 498 du terrain silurien supérieur.
Fig. 16. — *Phacops latifrons*, Brong. (*Calymene macropthalmus*, Brong.), tome II, p. 499, des terrains dévoniens. — a, l'animal étendu; b, enroulé et vu de côté; c, enroulé et vu de face.

PLANCHE XLV.

CRUSTACÉS. — TRILOBITES.

- Fig. 1. — *Dalmania caudata*, Brong., du terrain silurien supérieur, tome II, p. 501 (comme type des espèces à pygidium simple).
Fig. 2. — *Dalmania punctata*, Barr. (*Phacops arachnoides*, Burm.), du terrain dévonien, tome II, p. 502 (comme type des espèces à pygidium denté).
Fig. 3. — *Calymene Blumenbachii*, Brongniart, du terrain silurien supérieur. — a, l'animal étendu; b, l'animal enroulé. — Tome II, p. 503.
Fig. 4. — *Honalonotus armatus*, Burmeister, du terrain dévonien, tome II, p. 506.
Fig. 5. — *Liches palmata*, Barrande, du terrain silurien supérieur, tome II, p. 506.
Fig. 6. — *Trinucleus ornatus*, Sternberg, du terrain silurien inférieur de Bohême, tome II, p. 508.
Fig. 7. — *Trinucleus Pangerardi*, Rouault, du terrain silurien inférieur de Bretagne, espèce remarquable par la bifurcation de ses épines génitales, tome II, p. 509.
Fig. 8. — *Ampyx Rouaulti*, Barrande, du terrain silurien supérieur de Bohême, tome II, p. 509.
Fig. 9. — *Dionide formosa*, Barrande, du terrain silurien inférieur de Bohême, tome II, p. 510.
Fig. 10. — *Asaphus tyramus*, Murchison (sous-genre des *Basilicrus*), du terrain silurien inférieur d'Angleterre, tome II, p. 511, moitié de la grandeure naturelle. — 10, a, l'hypostome du même individu, même réduction.
Fig. 11. — *Ogygia Buchii*, Brong., du terrain silurien inférieur d'Angleterre, tome II, p. 513. — 10, a, l'hypostome.

- Fig. 12. — *Egina redievia*, Barrande, du terrain silurien inférieur de Bohême, tome II, p. 514.
Fig. 13. — *Illeus Davisi*, Salter, du terrain silurien inférieur d'Angleterre, tome II, p. 516.
Fig. 14. — *Illeus Barriensis*, Murchison (sons-génit des *Bumastus*), du terrain silurien supérieur d'Angleterre, tome II, p. 516.
Fig. 15. — *Nileus armadillo*, Burm., du terrain silurien du Gothland, tome II, p. 517.

PLANCHE XLVI.

CRUSTACÉS. — TRACHEOTES, CYCLOPOIDES ET XIPHOPODES.

- Fig. 1. — *Acidaspis mira*, Barr., du terrain silurien supérieur de Bohême, tome II, p. 518.
Fig. 2. — *Acidaspis elliptica* (*Odontopeltis elliptica*, Burn.), du terrain dévonien, tome II, p. 518.
Fig. 3. — *Cheirurus Quenstedti*, Barrande, du terrain silurien supérieur de Bohême, tome II, p. 520.
Fig. 4. — *Sphaerexochus mirus*, Beyrich, du terrain silurien supérieur de Bohême, tome II, p. 521.
Fig. 5. — *Stereocoelites Murchisoni*, Barrande, du terrain silurien supérieur de Bohême, tome II, p. 521.
Fig. 6. — Tête du *Deiphon Forbesi*, Barrande, du terrain silurien supérieur, tome II, p. 522.
Fig. 7. — Tête du *Dindymene Frederici-Augusti*, Corda, du terrain silurien inférieur de Bohême, tome II, p. 522.
Fig. 8. — Pygidium de l'*Amphion Lindaueri*, Barrande, du terrain silurien inférieur de Bohême, tome II, p. 523.
Fig. 9. — *Cromus intercostatus*, Barrande, du terrain silurien supérieur de Bohême, tome II, p. 523.
— a, la tête; b, le pygidium.
Fig. 10. — *Bronetus Partschi*, Barrande, du terrain silurien supérieur de Bohême, tome II, p. 525.
Fig. 11. — Pygidium du *Bronetus Hoidingeri*, Barrande, du même terrain, tome II, p. 525.
Fig. 12. — Jeune âge de l'*Agnostus nudus*, Beyrich, du terrain silurien inférieur de Bohême, tome II, p. 527. — a, grandeur naturelle.
Fig. 13. — La même espèce, adulte, grosse 2 fois et demie.
Fig. 14. — *Eurypterus remipes*, Dekay, des schistes dévoniens de l'Amérique du Nord, tome II, p. 529. Un tiers de la grandeur naturelle.
Fig. 15. — *Cythere reniformis*, Bosquet, de la craie de Maestricht, tome II, p. 532, vue sous divers aspects.
Fig. 16. — *Cypris foba*, Desmarest, des terrains tertiaires d'eau douce, tome II, p. 535.
Fig. 17. — *Cypridina funiformis*, Bosquet, de la craie de Maestricht, tome II, p. 535; type des espèces lissées.
Fig. 18. — *Cypridina Rauueriana*, Bosquet, du même gisement; type des espèces sillonnées.
Fig. 19. — *Cyprælla chrysoides*, de Koninck, des terrains carbonifères de Belgique, tome II, p. 536.
Fig. 20. — *Cypridella cruciata*, de Koninck, des mêmes gisements, t. II, p. 536.
Fig. 21. — *Limulus Walchi*, Desmarest, des schistes lithographiques de Bavière, tome II, p. 537, moitié de la grandeur naturelle.
Fig. 22. — *Holycine agnata*, Herm. de Meyer, du muschelkalk, tome II, p. 538.
Fig. 23. — *Bellinserus bellulus*, Koenig, du terrain carbonifère d'Angleterre, tome II, p. 538.

PLANCHE XLVII.

CRUSTACÉS. — CIRRIPÈDES, ETC. — ANNÉLIDES.

- Fig. 1. — *Balanus latirostratus*, Münster, des terrains tertiaires marins d'Allemagne, tome II, p. 533.
Fig. 2. — Espèce des mêmes gisements rapportée par le comte de Münster au *Balanus paulularis*, Lamk? tome II, p. 543.
Fig. 3. — *Pyrgoma sulcata*, Philippi, tome II, p. 546.

- Fig. 4. — *Anatidae* vivante, tome II, p. 546.
Fig. 5. — *Poecipied* vivant (*Poecipies*), tome II, p. 547.
Fig. 6. — *Poecipies concinna*, Morris, du terrain oxfordien d'Angleterre, tome II, p. 548.
Fig. 7. — Les diverses valves du *Scaphellus quadratum* (*Xiphidium quadratum*, Dixon), du terrain tertiaire éocène d'Angleterre, tome II, p. 559.—a, échantillon à peu près complet; b, *scutum*; c, *tergum*; d, *carina* (vue de côté); e, *flange supérieure*; f, *flange rostral*; g, *flange cardinal*; h, *scutum* (vu en dedans); i, *carina* (vue du côté dorsal); k, section de la même pièce.
Fig. 8. — *Loricula pulchella*, G. B. Sowerby, de la craie de Cuxton, tome II, p. 550.
Fig. 9. — Restauration probable de l'*Aptychus*, d'après M. d'Orbigny, tome II, p. 552.
Fig. 10. — *Aptychus totus*, de la division des *Cellulosi*, tome II, p. 556. Vu en dehors.
Fig. 11. — Intérieur d'une valve de la même espèce.
Fig. 12. — Surface du même *aptychus*, grossie pour montrer les trous qui terminent les tubes.
Fig. 13. — Surface usée de la même espèce, pour montrer l'apparence de la surface lorsque la couche superficielle est en partie détruite.
Fig. 14. — Coupe de la même coquille perpendiculairement à sa surface. — a, surface externe.
Fig. 15. — *Aptychus profundus*, Volitz, du groupe des *Atricrieti*, tome II, p. 556, du terrain oxfordien des Voirons. Échantillon recouvert en partie de couches superficielles.
Fig. 16. — *Aptychus lamellosus*, Volitz, tome II, p. 558, de l'oolithe inférieure. — a, vu en dehors; b, vu en dedans.
Fig. 17. — *Aptychus Pidoyi*, Coquand, tome II, p. 558, du terrain néocomien du midi de la France.
Fig. 18. — *Crioceras farcifera*, d'Orb., des terrains siluriens de Bolivie, tome II, p. 559.
Fig. 19. — *Bastropia antiqua*, Goldfuss, du terrain devonien d'Allemagne, tome II, p. 560. De grandeur double.
Fig. 20. — *Serpula cineta*, Goldfuss, du terrain aptien des environs de Genève, tome II, p. 564.
Fig. 21. — *Serpula antiquata*, Sow., du même gisement.
Fig. 22. — *Serpula filiformis*, Sow., id.
Fig. 23. — *Serpula spiralis*, Linné, du terrain nummulitique, tome II, p. 565.
Fig. 24. — *Spirorbis cyathulodes*, Münster, du terrain devonien, tome II, p. 567.—a, de grandeur naturelle et fixée; b, grossie.
Fig. 25. — *Terebellia lapillae*, Münster, du terrain jurassique, tome II, p. 570.

PLANCHE XLVII.

MOLLUSQUES CÉPHALOPODES ACÉTABULIFÈRES. — OCTOPODES, SÉPIDES, LOICIDES.

- Fig. 1. — *Argonauta hians*, Solander, des terrains pliocènes du Piémont, tome II, p. 588.
Fig. 2. — Coquille interne de la *Sepia Orbignyanus*, Féussac, vivante, comme type du genre, tome II, p. 591.
Fig. 3. — *Sepia hastiformis*, Rüppel, de Solenhofen. Moitié de la grandeur naturelle.
Fig. 4. — Restauration de l'osselet d'une séiche tertiaire, type du genre *Belocephala*, Volitz, tome II, p. 591 (*B. septioidea*).
Fig. 5. — Terminaison de l'osselet de la même espèce. De grandeur naturelle.
Fig. 6. — Rostre de la coquille interne de la *Belocephala belemnitoidea*, Blainville, tome II, p. 593.—d, coupe longitudinale de la même.
Fig. 7. — Rostre du *Belennois anomala*, Sowerby, de l'argile de Loudres, tome II, p. 594. De grandeur naturelle.
Fig. 8. — Rostre et alvéole du genre *Spirulirostra*, d'Orb., tome II, p. 594.—a, vu de profil; b, coupe du même; c, vu de face; d, entonnoir conduisant à l'alvéole.
Fig. 9. — Coupe de la coquille de la *Spirula* vivante, tome II, p. 593.
Fig. 10. — Le Calmar commun, pour montrer la forme des Céphalopodes acétabulifères. — a, son osselet interne. — Tome II, p. 594.

- Fig. 11. — *Tendopsis Bollensis*, Brönn, tome II, p. 595, du lias supérieur. Moitié de la grandeur naturelle.
- Fig. 12. — *Belotethis subcostata*, d'Orb., tome II, p. 596, du lias supérieur. Moitié de la grandeur naturelle.
- Fig. 13. — *Leptotethis gigantea*, R. de Meyer, tome II, p. 596, de Solenhofen.
- Fig. 14. — *Bellemnosepia flexuosa*, d'Orb., tome II, p. 597, du lias supérieur. Moitié de la grandeur naturelle.
- Fig. 15. — *Bellemnosepia Bollensis*, d'Orb., avec sa poche à encre, tome II, p. 597, du lias supérieur. Environs un tiers de la grandeur naturelle.
- Fig. 16. — *Enoploteuthis subcostata*, d'Orb., tome II, p. 599, de Solenhofen. Moitié de la grandeur naturelle.
- Fig. 17. — Empreinte de l'*Acanthoteuthis princea*, d'Orb., tome II, p. 599, de Solenhofen. Réduite. — a, crochet des bras.
- Fig. 18. — Osselet interne de la même espèce.
- Fig. 19. — Coquille interne de l'*Omnistrophes intermedia*, d'Orb., tome II, p. 600, de Solenhofen. Moitié de la grandeur naturelle.

PLANCHE XLIX.

MOLLUSQUES CÉPHALOPODES ACÉTABULIFÉRES. — BÉLEMNITIDÉS.

- Fig. 1. — *Conoteuthis Depressa*, d'Orb., tome II, p. 601, du terrain argien du département de l'Aube.
- Fig. 2. — Corps désigné par M. Pearce sous le nom générique de *Bellemnoteuthis*, tome II, p. 601, et considéré par d'autres auteurs comme un alvéole de bélémnite.
- Fig. 3. — Restauration de la coquille interne des bélémnites d'après M. d'Orbigny. — a, l'osselet corné; b, l'alvéole; c, le rostre. — Tome II, p. 607.
- Fig. 4. — Coupe d'un rostre de bélémnite pour montrer la disposition des stries d'accroissement et la position de l'alvéole.
- Fig. 5. — Coupe transversale d'un rostre de bélémnite pour montrer la disposition des couches concentriques.
- Fig. 6. — Coupe d'une portion de rostre destinée à montrer la forme de la première loge de l'alvéole dans une espèce où elle est sphérique, tome II, p. 609.
- Fig. 7. — Portions molles des bélémnites trouvées dans les terrains oxfordiens d'Angleterre et décrites par M. Owen, tome II, p. 606. Ce sont ces mêmes parties qui sont attribuées au genre *Bellemnoteuthis* par M. Pearce.
- Fig. 8. — Terminaison de l'osselet et rostre de la même espèce.
- Fig. 9. — Restauration de l'animal de la bélémnite d'après M. Owen.
- Fig. 10. — *Idem*, d'après M. d'Orbigny.
- Fig. 11. — *Belemnites trispuritus*, Schlotheim, prise comme type du groupe des *Actinoceras*, tome II, p. 612.
- Fig. 12. — *Belemnites unicamaliculatus*, Volz, de l'oolithie inférieure, comme type du groupe des *Canniculatii*.
- Fig. 13. — *Belemnites hastatus*, Blainville, du terrain oxfordien, comme type du groupe des *Hastati*.
- Fig. 14. — *Belemnites clavatus*, Blainville, du lias moyen, comme type du groupe des *Clavati*.
- Fig. 15. — *Belemnites dilatatus*, Blainville, du terrain néocomien, comme type du groupe des *Dilatati*.
- Fig. 16. — Rupture du rostre des bélémnites qui produit la modification connue sous le nom d'*Actinoceras*, tome II, p. 610.
- Fig. 17. — *Bellemnittelus macromata*, d'Orbigny, tome II, p. 615, de la craie blanche. — a et b, rostre; c, l'alvéole vu en dedans; d, alvéole vu extérieurement, et montrant la côte par laquelle il se distingue de celui des bélémnites.
-

PLANCHE L.

MOLLUSQUES CÉPHALOPODES TENTACULIFÉRES. — NAUTILINES.

- Fig. 1. — Le nautilus vivant, représenté dans une coquille sciée longitudinalement. — a, le tube locomoteur; b, les tentacules; c, prolongement ventral du manteau qui couvre une partie du tour de spire précédent; d, aile triangulaire qui sert d'opercule et de pied; e, l'œil; f, ligament traversant les cloisons g. Voy. tome II, p. 617.
- Fig. 2. — *Nautilus compressus*, Sow., des terrains carbonifères, comme type des *Nautilites tissés et discoidés*, tome II, p. 622.
- Fig. 3. — *Nautilus Levellianus*, de Koninck, des mêmes terrains, pris comme type du sous-genre des *Tennochilus*.
- Fig. 4. — *Nautilus elliptarius*, Sow., du même terrain, pris comme type des *Nautilites globuleux* de cette époque.
- Fig. 5. — *Nautilus Koninkii*, d'Orb., du même terrain, comme type des *Nautilites à carènes*.
- Fig. 6. — *Nautilus tuberculatus*, Sow., comme type des *Nautilites à ornements*.
- Fig. 7. — *Nautilus Neckeriensis*, Piet., des grès verts inférieurs de la perte du Rhône, comme type du groupe des *Rodiatii*.
- Fig. 8. — *Nautiloceras aigoceras*, d'Orb. (*Gyroceras aigoceras*, de Koninck), tome II, p. 629, du terrain carbonifère de Tournai.
- Fig. 9. — *Lituites Odini*, Eichwald, tome II, p. 630, du terrain silurien de Russie.
- Fig. 10. — *Hortularia perfectus*, d'Orb. (*Lituites lituus*, Hisinger), tome II, p. 631, du terrain silurien supérieur de Suède.
- Fig. 11. — Coupe théorique d'une coquille du même genre.
- Fig. 12. — *Aptoceras Puzosianum*, d'Orb. (*Cyrtoceras Puzosianum*, de Koninck), des terrains carbonifères de Belgique, tome II, p. 631.

PLANCHE LI.

CÉPHALOPODES TENTACULIFÉRES. — NAUTILINES, COMPROCRÉATIDES, CLYMENIENS ET CYBOCRÉATIDES.

- Fig. 1. — *Orthocerasites regularis*, Schl., tome II, p. 634, du terrain silurien supérieur, comme type des *Orthocerasites régulières*.
- Fig. 2. — *Orthocerasites subannulatus*, Münster, tome II, p. 634, du terrain dévonien, comme type des *Orthocerasites annulées*.
- Fig. 3. — *Orthocerasites lineatus*, Hisinger, tome II, p. 634, du terrain silurien supérieur, comme type des *Orthocerasites rayées*.
- Fig. 4. — *Actinoceras cochleatum* (*Orth. cochleatum*, Schl.), tome II, p. 638, du terrain silurien supérieur. — a, la coquille brisée montrant le siphon; b, un siphon détaché.
- Fig. 5. — *Endoceras duplex* (*Orth. duplex*, Wahl.), tome II, p. 641, du terrain silurien supérieur.
- Fig. 6. — Figure théorique de la même espèce, donnée par M. Hisinger, etc. Elle montre le cas où une petite orthocerasite est comprise dans la grande.
- Fig. 7. — La même espèce, montrant les couches superposées qui entourent le siphon, caractère générique des *Endoceras*.
- Fig. 8. — Cloison du *Canoceras ruginatus*, Schl., tome II, p. 642, du terrain silurien supérieur.
- Fig. 9. — *Melita trochlearis* (*Orth. trochlearis*, Hisinger), tome II, p. 643, du terrain silurien supérieur.
- Fig. 10. — *Gomphoceras ellipticum*, McCoy, tome II, p. 644, du terrain silurien supérieur.
- Fig. 11. — *Sycoceras fuscum* (*Gomphoceras fuscum*, Roemer), tome II, p. 645, du terrain dévonien.
- Fig. 12. — *Campanites ventricosus* (*Phragmoceras ventricosus*, Sow.), tome II, p. 646, du terrain silurien supérieur.

— 33 —

- Fig. 13. — *Trocholites angustiseptatus* (*Clymenia angustiseptata*, Münster), tome II, p. 647, du terrain dévonien.
Fig. 14. — *Clymenia Sedgwickii*, Münster, tome II, p. 648, du terrain dévonien.
Fig. 15. — *Atruria zigzag*, Sow. (*Megariphonius zigzag*, d'Orb.), tome II, p. 649, de l'argile de Londres (pariaien inférieur).
Fig. 16. — *Cryptoceras subtubercolatum* (*Nanutilus subtubercolatus*, Sandb.), tome II, p. 654, du terrain dévonien.
Fig. 17. — *Gyroceras ornatum*, Goldf., tome II, p. 654, du terrain dévonien du Rhin.
-

PLANCHE LII.

CÉPHALOPODES TENTACULIFÉRES. — AMMONITES

- Fig. 1. — *Goniatites clavilobus*, Sandberger, du terrain dévonien, comme type du groupe des *G. luteocostata*, tome II, p. 657. — a, ses cloisons.
Fig. 2. — *Goniatites crenistris*, Phillips, du terrain dévonien, comme type du groupe des *G. granifraci*. — a, ses cloisons.
Fig. 3. — *Goniatites sayittaricus*, Sandb., du terrain dévonien, comme type du groupe des *G. seruenti*. — a, ses cloisons.
Fig. 4. — *Goniatites lamelloosa*, Sandb., du terrain dévonien, comme type du groupe des *G. crenati*. — a, ses cloisons.
Fig. 5. — Cloisons du *Goniatites terebratus*, Sandb., du terrain dévonien, comme type du groupe des *G. acutolaterata*.
Fig. 6. — Cloisons du *Goniatites retrorsus*, de Buch, du terrain dévonien, comme type du groupe des *G. megnaciarum*.
Fig. 7. — *Goniatites subnudatilinus*, Schlot., du terrain dévonien, comme type du groupe des *G. subnudatilinus*.
Fig. 8. — *Ceratites semipartitus*, Gaillardot, tome II, p. 661, du terrain triasique.
Fig. 9. — *Ceratites syriacus*, de Buch, du terrain cénonanien du mont Liban.
Fig. 10. — *Bactrites gracilis*, Sandb., tome II, p. 662, du terrain dévonien.
Fig. 11. — *Baculina acicula* (*Baculites excurvus*, Quenstedt), tome II, p. 663, du Jura brû de Gammelshausen.
Fig. 12. — Coupe d'une *Ammonite discus*, Sow., pour montrer la disposition des cloisons et la dernière chambre, tome II, p. 665.
Fig. 13 et 14. — Fragment d'*Ammonite* pour montrer les lobes et les sèches, tome II, p. 668. — Fig. 13, vue sur la face du siphon; fig. 14, vue de côté.
-

PLANCHE LIII.

CÉPHALOPODES TENTACULIFÉRES. — AMMONITES.

- Fig. 1. — *Ammonites bisulcatus*, Brug., du lias inférieur, comme type des *Ammonites oricetes*, tome II, p. 674. — a, cloisons.
Fig. 2. — *Ammonites serpentinus*, Schb., du lias supérieur, comme type des *A. falciferi*, tome II, p. 672. — a, cloisons.
Fig. 3. — *Ammonites bifrons*, Brug., du lias supérieur, du même groupe.
Fig. 4. — *Ammonites inflatus*, Sow., du gault, comme type des *A. cristati*, tome II, p. 674.
Fig. 5. — *Ammonites cordatus*, Sow., du terrain oxfordien, comme premier type des *A. ovalis*, tome II, p. 676.

- Fig. 6. — *Ammonites margaritatus*, Sow., du lias moyen, comme second type du même groupe.
Fig. 7. — *Ammonites Bruttianus*, d'Orb., du gault, comme type du groupe des *A. pulchelli*, tome II, p. 678.
Fig. 8. — *Ammonites crenatus*, Brug., du terrain oxfordien, comme ayant une partie des caractères du même groupe.
Fig. 9. — *Ammonites Requienius*, d'Orb., du terrain turonien d'Uchanx, comme type du groupe des *A. cylindromorphi*, tome II, p. 680.
Fig. 10. — *Ammonites denarius*, Sow., du gault, comme type normal des *A. dentatai*, tome II, p. 681.
Fig. 11. — *Ammonites Jason*, Zieten, du terrain kellowien, comme type des *Ammonites ornatai*, groupe réuni au précédent.
Fig. 12. — *Ammonites Aon*, Münster, des terrains salifiens d'Autriche, comme type du groupe des *A. gemmatai*, tome II, p. 685.
-

PLANCHE LIV.

CÉPHALOPODES TENTACULIERS. — AMMONITES.

- Fig. 1. — *Ammonites radintus*, Brug., du terrain néocomien inférieur, comme type du groupe des *A. flexuosa*, tome II, p. 686.
Fig. 2. — *Ammonites Beauvoisianus*, d'Orb., du terrain cénonien, comme type du groupe des *A. compressa*, t. II, p. 686.
Fig. 3. — *Ammonites perarvensis*, Sow., du terrain oxfordien, comme type du groupe *A. armata*, tome II, p. 687.
Fig. 4. — *Ammonites Milletianus*, d'Orb., du gault, comme type du groupe des *A. angulicostata*, tome II, p. 687.
Fig. 5. — *Ammonites armatus*, Sow., du lias moyen, comme type des *A. capricorni* armés d'épines, tome II, p. 689.
Fig. 6. — *Ammonites planicosta*, Sow., du lias moyen, comme type des *A. capricorni* à côtes lisses.
Fig. 7. — *Ammonites Guettardi*, Raapail, du terrain aptien, comme type des *A. heterophylli*, tome II, p. 690.
Fig. 8. — Clôisons de la même espèce.
Fig. 9. — *Ammonites Majorinicus*, d'Orb., du gault, comme type des *A. ligati*, tome II, p. 691.
Fig. 10. — *Ammonites biplex*, Sow., du terrain oxfordien, comme type des *A. planulata*, tome II, p. 693.
Fig. 11. — Clôisons de la même espèce.
-

PLANCHE LV.

CÉPHALOPODES TENTACULIERS. — AMMONITES.

- Fig. 1. — *Ammonites Humphriesianus*, Sowerby, de l'oolithe inférieure, comme type du groupe des *A. cornutaria*, tome II, p. 695.
Fig. 2. — *Ammonites microtuberculatus*, d'Orbigny, de la grande oolithe, comme type du groupe des *A. macrocephala*, tome II, p. 696.
Fig. 3. — *Ammonites globosus*, Quenstedt, du terrain salifiéen, comme type du groupe des *A. globosus*, tome II, p. 697.
Fig. 4. — *Ammonites subfimbriatus*, d'Orb., du terrain néocomien inférieur, comme type du groupe des *A. fimbriata*, tome II, p. 697.
Fig. 5. — Figure théorique du genre *Crioceras*, t. II, p. 700. Le dessinateur n'a pas rendu exactement les caractères spécifiques.
Fig. 6. — *Scaphites Yeni*, Puzos, du terrain néocomien supérieur, tome II, p. 704.
Fig. 7. — *Scaphites Astierianus*, d'Orbigny, du gault.

- Fig. 8. — *Scaphites aquilis*, d'Orbigny, du terrain néocomien.
Fig. 9. — *Ancycloceras Matheronianum*, d'Orbigny, du terrain aptien, tome II, p. 703.
Fig. 10. — *Ancycloceras callovenus*, Morris, du terrain kellérien.
Fig. 11. — *Ancycloceras Jouberti*, Astier, du terrain néocomien supérieur d'Anglès.
Fig. 12. — *Toxoceras bituberculatum*, d'Orb., du terrain néocomien inférieur, tome II, p. 706.
Fig. 13. — *Toxoceras Emericianum*, d'Orb., du terrain néocomien supérieur.
Fig. 14. — *Toxoceras obliquatum*, d'Orb., du terrain néocomien supérieur.

PLANCHE LVI.

CÉPHALOPODES TENTACULIFÉRES. — AMMONITES.

- Fig. 1. — *Hamites attenuatus*, Sowerby, du gault. Échantillon figuré dans le mémoire de Filton et présentant ses deux croissances, tome II, p. 707.
Fig. 2. — *Hamites rotundus*, Sow., restauré, du gault.
Fig. 3. — Fragment de l'*Hamites punctatus*, d'Orb., du gault.
Fig. 4. — Bouche de l'*Hamites virgulatus*, Brongniart, du gault.
Fig. 5. — *Ptychoceras Pneuzionum*, d'Orb., du terrains néocomien supérieur de Barrême, tome II, p. 709.
Fig. 6. — *Baculites anceps*, Lamk, de la craie blanche, tome II, p. 710. — a, la bouche vue du côté siphonal ; b, la bouche vue du côté opposé.
Fig. 7. — *Turrilites Bergeri*, Brongniart, du gault, tome II, p. 711.
Fig. 8. — *Turrilites Boblayei*, d'Orb., du lias inférieur.
Fig. 9. — *Helicoceras Teilleuxi*, Baugier et Saupé, de l'oolithe inférieure, tome II, p. 713.
Fig. 10. — *Helicoceras Robertianus* (*Turrilites Robertianus*, d'Orb.), du gault.
Fig. 11. — *Heteroceras Emericianum*, d'Orb., du terrains néocomien supérieur (urgonien), tome II, p. 714.
Fig. 12. — *Anisoceras Sessilevans*, Pictet, du gault, tome II, p. 704. — a, coquille du jeune âge.
Fig. 13. — Bec de nautile du terrains jurassique, tome II, p. 715.
Fig. 14. — Bec connu sous le nom de *Conchophyllum ornatissimum*, Brong., du muschelkalk, tome II, p. 715.
Fig. 15. — Bec décrir sous le nom de *Rhyukothethis Asteriana*, d'Orbigny, du terrains aptien, tome II, p. 716.

PLANCHE LVII.

MOLLUSQUES GASTÉROPODES PULMONÉS. — LIMACIENS, COLIMACIDES ET AUBIXELIDES.

- Fig. 1. — Coupe d'une coquille de gastéropode (*Triton nodiferum*, Lamk), pour montrer l'enroulement. — a, le labre; b, bord columellaire de la bouche; c, la columelle; d, le sinus, tome III, p. 3.
Fig. 2. — Hélicomètre de M. d'Orbigny, un peu modifié, tome III, p. 5, placé pour mesurer l'angle spiral d'une coquille, p. 5.
Fig. 3. — Le même instrument disposé pour mesurer l'angle *natural* de la même coquille, tome III, p. 6.
Fig. 4. — Coquille interne de limace (*Limax Lartetii*, Dupuy), des terrains miocènes de Sansan, tome III, p. 16. — a, grandeur naturelle.
Fig. 5. — Coquille de testacelle (*Testacella Lartetii*, Dupuy), du même gisement, tome III, p. 17. — a, grandeur naturelle.
Fig. 6. — *Vitrina intermedia*, Reuss, tome III, p. 17, des calcaires lacustres de Bohème, grossie. Le trait indique la grandeur naturelle.
Fig. 7. — *Helix Brunnii*, Thomé, tome III, p. 18, des terrains miocènes d'Allemagne, de grandeur naturelle.
Fig. 8. — *Helix subnigra*, id., du même gisement, de grandeur naturelle.
Fig. 9. — *Helix Raftii*, id., du même gisement et de Bohème, de grandeur naturelle.

- Fig. 10. — *Helix oxytoma*, Reuss, des calcaires lacustres de Bohème, de grandeur naturelle.
- Fig. 11. — *Anastoma Matheroni* (*Lycous Matheroni*, Requin), des lignites de Provence, tome III, p. 26, un peu réduit.
- Fig. 12. — *Bulinus subgigantulus*, Matheron, tome III, p. 25, des lignites de Provence; de grandeur naturelle.
- Fig. 13. — *Bulinus ellipticus*, Sowerby, des terrains éocènes de l'île de Wight, de grandeur naturelle.
- Fig. 14. — *Bulinus complanatus*, Reuss, des dépôts d'eau douce du nord de la Bohème; double de la grandeur naturelle.
- Fig. 15. — *Achatina similis*, de Boissy, réunie aux Bulines, du calcaire lacustre de Rilly-la-Moutagne, tome III, p. 25, grosse.
- Fig. 16. — *Achatina illigeriana*, de Boissy, idem.
- Fig. 17. — *Achatina inflata*, Reuss, réunie aussi aux Bulines, des dépôts d'eau douce du nord de la Bohème; de grandeur naturelle.
- Fig. 18. — *Pupa Hilligeni*, de Boissy, tome III, p. 27, du calcaire lacustre de Rilly-la-Moutagne; de grandeur naturelle.
- Fig. 19. — *Pupa collosa* (*Vertigo collosa*, Reuss), des dépôts d'eau douce de Bohème, fortement grossie.
- Fig. 20. — *Pupa minuviensis*, Hartm., vivante, et fossile dans les mêmes terrains, fortement grossie.
- Fig. 21. — *Megapira Hilligeni*, de Boissy, tome III, p. 29, du calcaire lacustre de Rilly-la-Moutagne; de grandeur naturelle.
- Fig. 22. — *Classilia contorta*, de Boissy, tome III, p. 29, du même gisement.
- Fig. 23. — *Classilia Edmondii*, de Boissy, tome III, p. 29, du même gisement.
- Fig. 24. — *Classilia maxima*, Gracilis, tome III, p. 30 (note), de Dax; de grandeur naturelle.
- Fig. 25. — *Ctenella peregrina*, Reuss, des dépôts d'eau douce de la Bohème, grosse.
- Fig. 26. — *Succinea Pfeifferi*, Rossenksler, tome III, p. 30, vivante et fossile en Bohème, grosse.
- Fig. 27. — *Auricula Remensis*, de Boissy, tome III, p. 32, du calcaire lacustre de Rilly-la-Moutagne, de grandeur naturelle.
- Fig. 28. — *Auricula Michelini*, id., id.
- Fig. 29. — *Auricula tridentata* (*Melampus tridens*, F. Edw.), du terrain éocène du Hampshire, de grandeur naturelle.
- Fig. 30. — *Auricula sub Judei*, d'Orb. (*Auricula Judei*, Grat.), des faluns blancs de Dax, de grandeur naturelle.
- Fig. 31. — *Auricula costellata* (*Acmo costellata*, Reuss), des dépôts lacustres de Bohème, grosse.

PLANCHE LVIII.

MOLLUSQUES GASTÉROPODES PULMONÉS ET PECTINIBRANCHES. — LITMIÉIDES, CYCLOSTOMIDÉS,
PALUONIDÉS, MÉLANIDÉS ET LITTORINIDÉS.

- Fig. 1. — *Lymanus Hennei*, Dunker, tome III, p. 31, du terrain wealdien d'Allemagne.
- Fig. 2. — *L. acutus*, A. Brau (*subplanarius*, Thomar), du terrain miocène de Wiesbaden et de Bohème.
- Fig. 3. — *Physa gigantea*, Michaud, tome III, p. 37, du calcaire lacustre de Rilly-la-Moutagne.
- Fig. 4. — *Planorbis Jayleri*, Dunker, tome III, p. 38, du terrain wealdien d'Allemagne.
- Fig. 5. — *Planorbis upplandicus*, Thomar, du terrain miocène de Wiesbaden.
- Fig. 6. — *Planorbis pseudomonensis*, Voltz, du terrain plioène du Wurtemberg.
- Fig. 7. — *Ancylus Matheroni*, de Boissy, tome III, p. 40, du calcaire lacustre de Rilly-la-Moutagne.
- Fig. 8. — *Ancylus elegans*, Sowerby, type du groupe des *VALLETIA*, du terrain éocène d'Hordwell.
- Fig. 9. — *Ancylus decussatus*, Reuss, du terrain miocène de Bohème.
- Fig. 10. — *Cyclostoma Arnouldii*, Michaud, tome III, p. 46, du calcaire lacustre de Rilly-la-Moutagne.
- Fig. 11. — *Cyclostoma*, rapporté par M. Deshayes au *C. elegans*.
- Fig. 12. — *Cyclostoma bimaculatum*, Zieten, du terrain miocène de Wiesbaden.
- Fig. 13. — *Cyclostoma dolium*, Thomar, du même terrain.

- Fig. 14. — *Fervusina anastomiformis*, Grateloup (*Strophostoma ferrugata*, Deshayes), des faluns bleus de Dax, tome III, p. 48.
- Fig. 15. — *Fervusina tricarinata* (*Strophostoma tricarinatum*, Braun), du terrain miocène de Mayence.
- Fig. 16. — *Paludina angulata* (*Ampullaria angulata*, Dunker), tome III, p. 49, du lias d'Halberstadt.
- Fig. 17. — Espèce rapportée par M. Dunker à la *Paludina fluviorum*, Sowerby, du terrains wealdien d'Allemagne.
- Fig. 18. — *Paludina aspera*, Michaud, de Rilly-la-Montagne.
- Fig. 19. — *Paludina globulus*, Deshayes, du calcaire grossier de Houdan.
- Fig. 20. — *Paludina* rapportée à la *P. semicarinata*, Brard, vivante, des terrains miocènes inférieurs du bassin de Paris.
- Fig. 21. — *Voluta Leopoldi*, de Boissy, tome III, p. 52, de Rilly-la-Montagne.
- Fig. 22. — *Voluta multiforis*, Deshayes, et ses principales variétés, des terrains miocènes du grand duché de Bade.
- Fig. 23. — *Melania Zenkeai*, Dunker, tome III, p. 54, du lias d'Halberstadt.
- Fig. 24. — *Melania turritella*, Dunker, du même gisement.
- Fig. 25. — *Melania strobiliformis*, Schlotheim, du terrains wealdien d'Allemagne.
- Fig. 26. — *Melania harpiformis*, Dunker, du même gisement.
- Fig. 27. — *Melania tricarinata*, Dunker, du même gisement.
- Fig. 28. — *Melonia tenuistriata*, Melleville, de l'argile plastique de Ciry-Salsogne.
- Fig. 29. — *Melania inquinata*, Defrance, des tertiaires inférieurs d'Epernay.
- Fig. 30. — *Melanopsis buccinatum*, Melleville, tome III, p. 56, des sables inférieurs de Châlons.
- Fig. 31. — *Melanopsis Frithii*, Thomar, du terrain miocène de Wiesbaden.
- Fig. 32. — *Melanopsis Liss-Hani*, de Verneuil, des terrains miocènes de la Turquie d'Europe.
- Fig. 33. — *Rissoa duplicita*, Sowerby, tome III, p. 57, de la grande oolithe d'Angleterre.
- Fig. 34. — *Rissoa tricarinata*, Morris, du même gisement.
- Fig. 35. — *Rissoa frumentina*, d'Orbigny, de la grande oolithe du Calvados.
- Fig. 36. — *Rissoa bivalvata*, Buvignier, du terrain corallien de Saint-Mihiel.
- Fig. 37. — *Rissoa marginata* (*Melania marginata*, Lamarck), du calcaire grossier du bassin de Paris.
- Fig. 38. — *Rissoa clavula* (*Melania clavula*, Deshayes), du même gisement.
- Fig. 39. — *Cochlearia carinata*, Braun, tome III, p. 60, de Saint-Cassian.
- Fig. 40. — *Turritella Pooti*, Goldfuss, tome III, p. 61, du terrain dévonien.
- Fig. 41. — *Turritella gracilis*, Goldfuss, du lias.
- Fig. 42. — *Turritella imbricatoria*, Lamk., du calcaire grossier.
- Fig. 43. — *Turritella fasciata*, Lamk., du même gisement.
- Fig. 44. — *Scalaria gurgitis*, Pictet et Roux, tome III, p. 66, du galet.
- Fig. 45. — *Scalaria pseudoscalaris*, Brocchi, du terrain pliocène du Piémont.
- Fig. 46. — *Scalaria scaberrima*, Michelotti, du terrain miocène du Piémont.
- Fig. 47. — *Littorina littorea* (*Turbo littoreus*, Lin.), tome III, p. 71, du terrain pliocène d'Asti.

PLANCHE LIX.

MOLLUSQUES GASTÉROPODES PECTINIBRANCHES. — PYRAMIDELLIDES.

- Fig. 1. — *Chemnitzia antiqua* (*Turritella antiqua*, Münster), tome III, p. 75, du terrain dévonien.
- Fig. 2. — *Chemnitzia prisoa* (*Melania prisoa*, Münster), du même terrain.
- Fig. 3. — *Chemnitzia rugifera*, de Koninek (*Lozonema rugiferum*, d'Orbigny), du terrain carbonifère.
- Fig. 4. — *Chemnitzia subnodosa*, d'Orbigny, du lias moyen.
- Fig. 5. — *Chemnitzia undulata*, d'Orbigny, du lias moyen.
- Fig. 6. — *Chemnitzia Peruviana*, d'Orbigny, du lias moyen.

- Fig. 1. — *Chemnitzia condensata* (*Melania condensata*, Deslongchamps), du terrain oxfordien de Normandie.
- Fig. 8. — *Chemnitzia variabilis*, Morris et Lyrett, de la grande oolithe d'Angleterre.
- Fig. 9. — *Chemnitzia Heddingtonensis* (*Melania Heddingtonensis*, Sowerby), du terrain oxfordien.
- Fig. 10. — *Chemnitzia lactea* (*Melania lactea*, Lamarck, *M. Stygi*, Bronguiart), du calcaire grossier de Grignon.
- Fig. 11. — *Turbovilla ariicula* (*Auricula ariicula*, Lamarck), tome III, p. 82, du terrain tertiaire inférieur de Châlons.
- Fig. 12. — *Turbovilla spinis* (*Auricula spinis*, Deshayes), du calcaire grossier de Grignon.
- Fig. 13. — *Turbovilla turrella* (*Pyramidello turrella*, Melleville), du terrain tertiaire inférieur.
- Fig. 14. — *Turbovilla dubia* (*Aetrea dubia*, Grateloup), du terrain miocène de Dax.
- Fig. 15. — Variété de la même espèce (*Aetrea marginata*, Grateloup).
- Fig. 16. — *Moerchelellus Schlotheimii*, d'Archiac et Verneuil, tome III, p. 83, du terrain dévonien du Rhin.
- Fig. 17. — *Eulima Phillipiana*, de Koninck, tome III, p. 84, du terrain carbonifère de Belgique.
- Fig. 18. — *Eulima nitida* (*Melania nitida*, Lamarck), du calcaire grossier de Grignon.
- Fig. 19. — *Pyramidello elongata* (*Pupa elongata*, Melleville), tome III, p. 86, du terrain tertiaire inférieur de Châlons-sur-Vesle.
- Fig. 20. — *Pyramidello teredolata*, Deshayes, du calcaire grossier de Grignon, etc.
- Fig. 21. — *Niso teredolata*, Chemnitz, tome III, p. 87, du terrain pliocène du Piémont.
- Fig. 22. — *Nervina solenensis*, d'Orbigny, tome III, p. 88, du terrain portlandien. — a, le test ; b, le moulé.
- Fig. 23. — *Nervina dilatata*, d'Orbigny, du terrain corallien, présentant une coupe médiane.
- Fig. 24. — *Nervina Cobanetiana*, d'Orbigny, du terrain corallien, espèce remarquable par sa forme courte.
- Fig. 25. — *Nervina Renauziana*, d'Orbigny, du terrain néocomien supérieur (organien). Le test a été cassé de manière à montrer une portion du moulé.
- Fig. 26. — *Nervina bisulcata*, d'Archiac (*N. Espallaciensis*, d'Orbigny), de la craie blanche, montrant à la fois le test et le moulé.

PLANCHE LX.

MOLLUSQUES GASTÉROPODES PECTINIBRANCHES. — PYRAMIDELLIDES ET NATICIDES.

- Fig. 1. — *Nervina*, rapportée par d'Orbigny à la *N. subpyramidalis*, Münster. — a, vue de profil ; b, vue du côté de l'ombilic ; c, coupe.
- Fig. 2. — *Aetrea Frensianna*, d'Orbigny, tome III, p. 91, du terrain oxfordien de Russie.
- Fig. 3. — *Aetrea biplicatus*, Melleville, des terrains tertiaires inférieurs de Châlons-sur-Vesle.
- Fig. 4. — *Avellana incrassata*, d'Orbigny, tome III, p. 97, figurée d'après un échantillon de la perte du Rhône. — Fig. 4, b, le moulé.
- Fig. 5. — *Aetronella gigantea*, d'Orbigny (*Tornatella gigantea*, Lamarck), tome III, p. 99, de la craie blanche ; moitié de la grandeur naturelle.
- Fig. 6. — *Aetronella larvis*, d'Orbigny, du terrain turonien d'Echaux.
- Fig. 7. — *Volvoria bullulaeoides*, Lamarck, tome III, p. 99, du calcaire grossier de Grignon, etc.
- Fig. 8. — *Ringicula ringens*, Deshayes, tome III, p. 100, du calcaire grossier des environs de Paris.
- Fig. 9. — *Ringicula Grateloupi*, d'Orbigny (*Ringicula ringens*, Grateloup), des faluns bleus de Dax.
- Fig. 10. — *Ringicula subcentrica*, d'Orbigny (*R. restricta*, Grateloup), du même gisement.
- Fig. 11. — *Pedipes crassidens*, Melleville, tome III, p. 101, des terrains inférieurs de Châlons-sur-Vesle.
- Fig. 12. — *Pedipes ovatus*, d'Orbigny (*Auricula ovata*, Lamarck), du calcaire grossier de Grignon, etc.
- Fig. 13. — *Aetonaia Larijiana*, d'Orbigny, tome III, p. 102, de l'oolithe inférieure.

- Fig. 14. — *Aeteolina endovenosa*, d'Orbigny (*Conus endovenosus*, Deslongchamps), du lias de Normandie.
- Fig. 15. — *Aeteolina concava*, d'Orbigny (*Conus concavus*, Deslongchamps), du même gisement.
- Fig. 16. — *Aeteolina pyriformis* (*Cylindrites pyriformis*, Morris et Lyett), de la grande oolithe d'Angleterre.
- Fig. 17. — *Aeteolina cylindrica* (*Cylindrites cylindricus*, Morris et Lyett), du même gisement.
- Fig. 18. — *Aeteolina ocellata* (*Cylindrite ocellatus*, Morris et Lyett), du même gisement.
- Fig. 19. — *Aeteolina esparcensis*, d'Orbigny (*Cassis esparcensis*, d'Archiac), de la grande oolithe d'Espary.
- Fig. 20. — *Aeteolina Marrotiana* (*Globiconcha Marrotiana*, d'Orbigny), de la craie blanche.
- Fig. 21. — *Aeteolina Fleuriensis* (*Globiconcha Fleuriensis*, d'Orbigny), de la craie supérieure de Royan.
- Fig. 22. — *Aeteolina Chavannei*, Pictet et Renier, du terrain aptien de la perte du Rhône.
- Fig. 23. — *Virginea Rochatiana*, d'Orbigny, tome III, p. 106, moule, du terrain aptien de la perte du Rhône.
- Fig. 24. — *Pterolodote inflata*, d'Orbigny, tome III, p. 107, du terrain cénonien.
- Fig. 25. — *Narica Genovensis*, Pictet et Roux, tome III, p. 117, du gault des environs de Genève.
- Fig. 26. — *Sigaretus clathratus*, Récluz (*S. comaticulatus*, Sowerby), tome III, p. 117, du calcaire grossier des environs de Paris.
- Fig. 27. — *Sigaretus tauricus*, Récluz, des faluns de la Taurine.
- Fig. 28. — *Deshayesia neritoidea* (*Naticella neritoidea*, Gratelet), tome III, p. 119, des faluns bleus de Dax.

PLANCHE LXI.

MOLLUSQUES GASTÉROPODES PECTINIBRANCHES. — NATICIDES, NÉRITIDES, TROCHIDES.

- Fig. 1. — *Natica plicistrum*, Phillips, tome III, p. 108, du terrain carbonifère.
- Fig. 2. — *Natica bajocensis*, d'Orbigny, de l'oolithe inférieure, comme type des *Natica prolongata*.
- Fig. 3. — *Natica excoecata*, Michelini, du gault, comme type des *Natica excoecata*.
- Fig. 4. — *Natica Faunae*, Pictet et Roux, du gault.
- Fig. 5. — *Natica cuprea*, Lamarck, du calcaire grossier.
- Fig. 6. — *Natica nigretum*, Lamarck, du calcaire grossier.
- Fig. 7. — *Natica nullipunctata*, Lamarck, dessinée d'après un individu fossile de l'Astesan.
- Fig. 8. — *Velutina virgata*, Wood, tome III, p. 119, du crag corallien d'Angleterre.
- Fig. 9. — *Nerita minuta*, Sowerby, tome III, p. 120, de la grande oolithe.
- Fig. 10. — *Nerita seula*, Bovianq, du terrain oxfordien des Ardennes.
- Fig. 11. — *Nerita Schmidiana*, Chemnitz, des terrains tertiaires inférieurs.
- Fig. 12. — *Nerita evadaria*, Féussac, des terrains tertiaires inférieurs de Caisse-la-Motte.
- Fig. 13. — *Nerita granulosa*, Deshayes, du calcaire grossier.
- Fig. 14. — *Nerita tricarinata*, Lamarck, du calcaire grossier.
- Fig. 15. — *Nerita gregaria*, Thomé, du terrain miocène de Wiesbaden.
- Fig. 16. — *Nerita Rhenana*, Thomé, du terrain miocène de Wiesbaden.
- Fig. 17. — *Neritoma angulata* (*Nerita angulata*, Sowerby), tome III, p. 124, du terrain portlandien d'Angleterre.
- Fig. 18. — *Neritopsis Philes*, d'Orbigny, tome III, p. 125, du lias supérieur de Semur.
- Fig. 19. — *Neritopsis moniliformis*, Gratelet, des faluns jaunes de Dax.
- Fig. 20. — *Pileolus leavis*, Sowerby, tome III, p. 127, de la grande oolithe.
- Fig. 21. — *Pileolus radiatus*, d'Orbigny, du terrain corallien de Saint-Mihiel.
- Fig. 22. — *Pileolus neritoidea*, Deshayes, du calcaire grossier.
- Fig. 23. — *Turbo funatus* (*Eurytrocholites funatus*, Sowerby), tome III, p. 129, du terrain silurien supérieur.
- Fig. 24. — *Turbo Wurmii*, Hammer, du terrain dévonien du Hartz.

- Fig. 25. — *Turbo Greslyanus*, Pictet et Roux, du gault.
Fig. 26. — *Turbo Fauchignyanus*, Pictet et Roux, du gault.
Fig. 27. — *Turbo sulcifera*, Deshayes, du calcaire grossier de Grignon.
Fig. 28. — *Delphinula reflexilabrum*, d'Orbigny, tome III, p. 161, du lias du Calvados.
Fig. 29. — *Delphinula Wurmii*, Desfrance, du calcaire grossier.
-

PLANCHE LXII.

MOLLUSQUES GASTÉROPODES PECTINIBRANCHES. — TACININES.

- Fig. 1. — *Phosianella subumbilicata*, d'Orbigny, tome III, p. 157, du lias moyen.
Fig. 2. — *Phosianella striata*, Sowerby, du terrain ox福德ien.
Fig. 3. — *Phosianella melanoides*, Deshayes, du calcaire grossier.
Fig. 4. — *Trochus lepidus*, de Koninck, tome III, p. 163, du terrain carbonifère de Belgique.
Fig. 5. — *Trochus glaber*, Koch, du lias d'Allemagne.
Fig. 6. — *Trochus Guyotianus*, Pictet et Roux, du gault de la perte du Rhône.
Fig. 7. — *Trochus monilifer*, Lamarck, du terrain océan supérieur de Valmondois.
Fig. 8. — *Trochus Araonis*, Grataloup, appartenant au groupe des *Monodontes*; du terrain miocène de Bordeaux.
Fig. 9. — *Trochus cyprius*, d'Orbigny (*Monodonita elegans*, Basterol), appartenant au groupe des *Monodontes*; du terrain miocène de Bordeaux.
Fig. 10. — *Trochus purpureus* (*Monodonita purpurea*, d'Archiac et Verneuil), du terrain dévonien du bassin du Rhin.
Fig. 11. — *Phorus conchyliophorus*, Deshayes, tome III, p. 151, du terrain parisien supérieur.
Fig. 12. — *Solarium elatum* (*Eumorphalus elatus*, Wahlberg), tome III, p. 153, du terrain silurien supérieur de Snæde.
Fig. 13. — *Solarium trigonale* (*Eumorphalus trigonalis*, Goldfuss), du terrain dévonien du bassin de Rbin.
Fig. 14. — *Solarium levae* (*Eumorphalus levae*, d'Archiac et Verneuil), des mêmes gisements.
Fig. 15. — *Solarium pugile* (*Eumorphalus pugilus*, Phillips), du calcaire carbonifère.
Fig. 16. — *Solarium serratum* (*Schizostoma serratum*, Münster), de Saint-Cassian.
Fig. 17. — *Solarium tuberculatum* (*Straparolus tuberculatus*, d'Orbigny), de l'oolithe inférieure.
Fig. 18. — *Solarium Baugieri*, d'Orbigny, de l'oolithe inférieure.
Fig. 19. — *Solarium Martinianum* (*Straparolus Martinianus*, d'Orbigny), du gault.
Fig. 20. — *Solarium cirroide*, Brongniart, du gault.
Fig. 21. — *Solarium marginatum*, Deshayes, des sables inférieurs du Soissonnais.
Fig. 22. — *Bifrontia disjuncta*, Deshayes, tome III, p. 161, du calcaire grossier.
Fig. 23. — *Bifrontia ladinensis*, Deshayes, des terrains tertiaires inférieurs de Coise-la-Motte.
Fig. 24. — *Serpularia serpula*, d'Orbigny (*Eumorphalus serpula*, de Koninck), tome III, p. 162, du calcaire carbonifère de Belgique.
Fig. 25. — *Scalites angulatus*, Hall, tome III, p. 165, du terrain silurien inférieur des États-Unis.
Fig. 26. — *Scalites staminea* (*Raphistoma staminea*, Hall), du même gisement.
Fig. 27. — *Pitonellus conicus*, d'Orbigny, tome III, p. 164, du lias supérieur de Normandie. — Fig. 27, a, la coquille de grandeur naturelle.
Fig. 28. — *Pitonellus Archiacianus*, d'Orbigny (*Holothuria Archiaciana*, id.), du terrain cénonmanien du Mans.
Fig. 29. — *Helicocryptus pusillus*, d'Orbigny, tome III, p. 165, du terrain corallien de Saint-Mihiel. — Fig. 29, a, la coquille de grandeur naturelle.
-

PLANCHE LXIII.

MOLLUSQUES GASTÉROPODES PECTINIBRANCHES. — HALIOTIDES ET CYPRÉADES.

- Fig. 1. — *Stomatia carinata*, Buvignier, tome III, p. 165, du terrain corallien de Saint-Mihiel.
Fig. 2. — *Stomatia gaultina*, Pictet et Roux, du gault des environs de Genève.
Fig. 3. — *Pleurotomaria collosa*, de Koninck, tome III, p. 168, du terrain carbonifère de Belgique.
Fig. 4. — *Pleurotomaria biturquata*, d'Orbigny, du lias moyen.
Fig. 5. — *Pleurotomaria hypanota*, Deslongchamps, du même gisement.
Fig. 6. — *Pleurotomaria platyspira*, d'Orbigny, id.
Fig. 7. — *Pleurotomaria Thurmanai*, Pictet et Roux, du gault des environs de Genève.
Fig. 8. — *Pleurotomaria regina*, Pictet et Roux, du même gisement.
Fig. 9. — *Pleurotomaria Altobrogensis*, Pictet et Roux, du gault de la perte du Rhône.
Obs. Dans les figures 4, 5 et 9, la lettre a désigne la *bande du sinus*.
Fig. 10. — *Pleurotomaria concava*, Deshayes, du calcaire grossier du bassin de Paris.
Fig. 11. — *Scissurella aspera*, Philippi, tome III, p. 175, des terrains tertiaires supérieurs de Calabre.
Fig. 12. — *Murchisonia bigranulata*, d'Archiac et Verneuil, tome III, p. 176, du terrain dévonien du bassin du Rhin.
Fig. 13. — *Murchisonia intermedia*, d'Archiac et Verneuil, du même gisement.
Fig. 14. — *Murchisonia subulicata*, de Koninck, du terrain carbonifère de Belgique.
Fig. 15. — *Catantonus clathratus*, Sandberger, tome III, p. 178, des terrains dévonien de Wilmar.
Fig. 16. — *Porcellia paxo*, Léveillé, tome III, p. 178, des terrains carbonifères de Belgique.
Fig. 17. — *Trocholoma annata*, d'Orbigny, tome III, p. 179, du terrain corallien de France.
Fig. 18. — *Trocholoma affinis*, Deslongchamps, de l'oolithie inférieure de Normandie.
Fig. 19. — *Cirrus spinosus*, Goldfuss (*Eumphalus Goldfussi*, d'Archiac et Verneuil), tome III, p. 180, du terrain dévonien du bassin du Rhin.
Fig. 20. — *Polytremoria catenata*, de Koninck, tome III, p. 182, des terrains carbonifères de Belgique.
— a, bande du sinus, grossie.
Fig. 21. — *Haliotis tuberculata*, Linne, tome III, p. 182, dessiné d'après un échantillon fossile d'Astil.
Fig. 22. — *Haliotis monilifera*, Bonelli, des terrains miocènes du Piémont.
Fig. 23. — *Cypraea elegans*, Defrance, tome III, p. 183, du calcaire grossier des environs de Paris.
Fig. 24. — *Cypraea crenata*, Deshayes, du même gisement.
Fig. 25. — *Cypraea*, rapportée par M. Hornes à la *C. fabaginea*, Lamarck, des terrains miocènes du bassin de Vienne.
Fig. 26. — *Cypraea*, rapportée par le même auteur à la *C. affinis*, Dujardin, du même gisement.
Fig. 27. — *Cypraea Angliae*, Wood, du crag d'Angleterre.
Fig. 28. — *Ovula tuberculata*, Duckes, tome III, p. 186, des terrains tertiaires inférieurs de Cuise-la-Molte.
Fig. 29. — *Ovula*, rapportée par M. Hornes à l'*O. spelta*, Lamarck, des terrains miocènes du bassin de Vienne.
Fig. 30. — *Ocula Leathersii*, Wood, du crag d'Angleterre.
Fig. 31. — *Erato lavis*, Don., tome III, p. 188, des terrains miocènes du bassin de Vienne.
Fig. 32. — *Erato Mougeriae*, Sowerby, du crag d'Angleterre.
Fig. 33. — *Marginella avolata*, Deshayes, tome III, p. 188, du calcaire grossier du bassin de Paris.
Fig. 34. — *Marginella eburnea*, Lamarck, du même gisement.
Fig. 35. — *Marginella angystoma*, Deshayes, du même gisement.
Fig. 36. — *Marginella ampulla*, Deshayes, des sables tertiaires supérieurs de Valmondois.
Fig. 37. — *Marginella milioceo*, Lamarck, des terrains tertiaires du bassin de Vienne.

PLANCHE LXIV.

MOLLUSQUES GASTÉROPODES PECTINIBRANCHES. — OLIVIDES, STROMIDES et CONIDES.

- Fig. 1. — *Terebellum convolutione*, Lamarck, tome III, p. 190, du calcaire grossier du bassin de Paris.
Fig. 2. — *Terebellum fusiforme*, Lamarck, des terrains tertiaires inférieurs de Cuise-la-Motte.
Fig. 3. — *Olivia Branderi*, Sowerby, tome III, p. 491, des terrains éocènes supérieurs d'Angleterre et de France.
Fig. 4. — *Olivia fumulata*, Lamarck (*O. Noe*, d'Orbigny), des terrains tertiaires du bassin de Vienne.
Fig. 5. — *Ancillaria conoifera*, Lamarck, tome III, p. 493, du calcaire grossier et des calcaires inférieurs du bassin de Paris.
Fig. 6. — *Ancillaria glomulina*, Deshayes, du calcaire grossier du bassin de Paris.
Fig. 7. — *Ancillaria obsoleta*, Brocchi, des terrains miocènes du bassin de Vienne.
Fig. 8. — *Ancillaria glandiformis*, Lamarck, du même gisement.
Fig. 9. — Variété de la même espèce décrite sous le nom d'*Ancillaria olivula*, Lamarck.
Fig. 10. — *Strombus ornatus*, Deshayes, tome III, p. 195, du calcaire grossier du bassin de Paris.
Fig. 11. — *Strombus Mercati*, Deshayes (*Strombus italicus*, Bonelli), des terrains pliocènes d'Italie.
Fig. 12. — *Pterocera pusula*, Eudes De-longchamp, tome III, p. 197, de la grande oolithe de Normandie.
Fig. 13. — *Pterocera Oceanus*, Alex. Brongniart, du terrain kimmeridgien.
Fig. 14. — *Pterocera Pelagi*, Alex. Brongniart, du terrain néocomien supérieur de la perte du Rhône.
Fig. 15. — *Pterocera Rochebonnei*, d'Orbigny, du terrain aptien de la perte du Rhône.
Fig. 16. — *Restellaria trifolia*, Phillips, tome III, p. 200, du terrain jurassique de Normandie.
Fig. 17. — *Restellaria myrsina*, Euhir Deshayes, de l'oolithe inférieure de Normandie.
Fig. 18. — *Restellaria ornatula*, d'Orbigny, du terrains turonien d'Uchaux.
Fig. 19. — *Restellaria Requieniana*, d'Orbigny, du même gisement.
Fig. 20. — *Rostellaria leucogaster*, Melville, des terrains tertiaires inférieurs de Laon.
Fig. 21. — *Rostellaria Hypri*, Alex. Renault, du terrain nummulitaire des environs de Pau.
Fig. 22. — *Rostellaria fissurata*, Lamarck, du terrain tertiaire du bassin de Paris.
Fig. 23. — *Rostellaria pes pelicanus*, Lamarck, du crag d'Angleterre.
Fig. 24. — La même espèce, échantillon plus adulte.
Fig. 25. — Coupe d'un cône, tome III, p. 207, pour montrer la manière dont les tours se réalisent.
Fig. 26. — *Conus tuberculatus*, Dujardin, de la craie blanche des environs de Tours.
Fig. 27. — *Conus diversiformis*, Deshayes, du calcaire grossier du bassin de Paris.
Fig. 28. — *Conus bicoronatus*, Melville, des terrains tertiaires inférieurs de Cuise la-Motte.
Fig. 29. — *Conus extensus*, Partech, des terrains miocènes du bassin de Vienne.
Fig. 30. — *Conus vorax*, Bellardi, du même terrain.

PLANCHE LXV.

MOLLUSQUES GASTÉROPODES PECTINIBRANCHES. — VOLUTINES et MERICIDES.

- Fig. 1. — *Voluta Requieniana*, d'Orbigny, tome III, p. 210, du terrain crétacé d'Uchaux.
Fig. 2. — *Voluta cithara*, Lamarck, du calcaire grossier de Grignon.
Fig. 3. — *Voluta nautrata*, Deshayes, du même gisement.
Fig. 4. — *Voluta variispina*, Lamarck, des terrains miocènes de Vienne.
Fig. 5. — *Voluta Lamberti*, Sowerby, du crag d'Angleterre.

- Fig. 6. — *Mitra cassiana*, d'Orbigny, tome III, p. 214, du terrain éconmanien de Cassis.
Fig. 7. — *Mitra elongata*, Lamarck, du calcaire grossier du bassin de Paris.
Fig. 8. — *Mitra Lajoyi*, Deshayes, des grès marins supérieurs de Valmondois.
Fig. 9. — *Mitra scribiculata*, Brocchi, du bassin de Vienne.
Fig. 10. — *Murex calcitropa*, Lamarck, tome III, p. 217, du calcaire grossier de Grignon.
Fig. 11. — *Murex tricarinoides*, Deshayes, du même gisement.
Fig. 12. — *Typhia tubifer*, Deshayes (*Murex fistulosa*, Sowerby), tome III, p. 219, du même gisement.
Fig. 13. — *Ranella Deshayei*, Michelotti, tome III, p. 220, des terrains miocènes du Piémont.
Fig. 14. — *Ranella Granatoloupi*, d'Orbigny, des terrains miocènes du bassin de Bordeaux.
Fig. 15. — *Ranella levigata*, Lamarck, des terrains miocènes et pliocènes du Piémont.
Fig. 16. — *Triton viperinum*, Lamarck, tome III, p. 221, du calcaire grossier de Paris.
Fig. 17. — *Triton Lejeunei*, Melville, des terrains tertiaires inférieurs de Cuisse-la-Motte.
Fig. 18. — *Triton nodularius*, Lamarck, d'après un individu du terrain nummulitique de Pau.
Fig. 19. — *Spinigerus longispina*, Deslongchamps, tome III, p. 223, de l'oolithe inférieure de Normandie.
Fig. 20. — *Fusus Renouvi*, d'Orbigny, tome III, p. 224, du terrain crétacé d'Uchaux.
Fig. 21. — *Fusus Noe*, Lamarck, du calcaire grossier de Paris.
Fig. 22. — *Fusus serratus*, Deshayes, du même gisement.
Fig. 23. — *Fusus bulbiformis*, Lamarck, du même gisement.
Fig. 24. — *Pyrula levigata*, Lamarck, tome III, p. 228, du même gisement.
Fig. 25. — *Pyrula nebulosa*, Lamarck, du même gisement.
Fig. 26. — *Trichotropis borealis*, Bröderup, tome III, p. 230, du crag d'Angleterre.
Fig. 27. — *Fasciolaria fasciculosa*, Deshayes, tome III, p. 230, du calcaire grossier des environs de Paris.
Fig. 28. — *Fasciolaria uniplicata* (*Fusus uniplicatus*, Lamarck), du même gisement.
Fig. 29. — *Turbivella parisiensis*, Deshayes, tome III, p. 232, des grès supérieurs de Valmondois.
Fig. 30. — *Cancellaria volutella*, Lamarck, tome III, p. 233, du calcaire grossier.
Fig. 31. — *Cancellaria cincta*, Sowerby, du même gisement.
Fig. 32. — *Cancellaria scabra*, Deshayes, des terrains pliocènes du Piémont.
Fig. 33. — *Cancellaria lyra*, Bellardi, des terrains miocènes du Piémont.

PLANCHE LXVI.

MOLLUSQUES GASTÉROPODES PECTINIBRANCHIÉS. — MURECINES et BUCCINIDES.

- Fig. 1. — *Pleurotoma transversaria*, Lamarck, tome III, p. 235, du calcaire grossier de Paris.
Fig. 2. — *Pleurotoma unicoloria*, Deshayes, du même gisement.
Fig. 3. — *Pleurotoma lobata*, Deshayes, du même gisement.
Fig. 4. — *Pleurotoma cataphracta*, Bröderup, des terrains miocènes du Piémont.
Fig. 5. — *Pleurotoma cervicornis*, Bellardi («-genre des *Rajatoma*»), des terrains pliocènes du Piémont.
Fig. 6. — *Cordieria pyrenaica*, Rouault, tome III, p. 239, des terrains nummulitiques.
Fig. 7. — *Cordieria Biarritzina*, Rouault, des terrains nummulitiques de Pau.
Fig. 8. — *Harpa elegans*, Deshayes, tome III, p. 241, des grès supérieurs de Valmondois.
Fig. 9. — *Dolium denticolatum*, Deshayes, tome III, p. 252, des terrains tertiaires de Vienne.
Fig. 10. — *Onixia ciliata*, Sowerby, tome III, p. 253, du même gisement.
Fig. 11. — *Cassis cancellata*, Lamarck, tome III, p. 243, du calcaire grossier des environs de Paris.
Fig. 12. — *Cassis mammillaris*, Grateloup, des terrains tertiaires de Vienne.
Fig. 13. — *Morio nodosus*, d'Orbigny, rapporté par M. Deshayes à la *Cassidaria carinata*, Lamarck, tome III, p. 245, du calcaire grossier des environs de Paris.

- Fig. 14. — *Columbella discors*, Deshayes, tome III, p. 246 (groupe des *Stromiformes*) des terrains miocènes du Piémont.
- Fig. 15. — *Columbella curta*, Bellardi (groupe des *Nassiformes*), du même gisement.
- Fig. 16. — *Columbella nasoidea*, Bellardi (groupe des *Fusiformes*), des terrains miocènes et pliocènes du Piémont.
- Fig. 17. — *Columbella Bellardii*, Hornes, des terrains tertiaires de Vienne.
- Fig. 18. — *Columbellina monodactylus*, d'Orbigny, tome III, p. 248, du terrain néocomien de Marolles.
- Fig. 19. — *Columbellina ornata*, d'Orbigny, du terrain céoumanien.
- Fig. 20. — *Purpura hermanniana*, Linnaeus, tome III, p. 248, des terrains tertiaires de Vienne.
- Fig. 21. — *Purpura exilis*, Partsch, du même gisement.
- Fig. 22. — *Purporidea Thoreni* (*Fusus Thoreni*, d'Archiac), tome III, p. 250, de la grande oolithe du bois d'Éparcy.
- Fig. 23. — *Purporidea glabra* (*Purpura glabra*, Bovignier), de la grande oolithe d'Angleterre.
- Fig. 24. — *Purporoides nodulata*, Morris et Lyell, du même gisement.
- Fig. 25. — *Ceritella cesta*, Morris et Lyell, du même gisement, tome III, p. 251.
- Fig. 26. — *Ceritella conica*, Morris et Lyell, du même gisement.
- Fig. 27. — *Buccinum eburneum* (*Buccinopsis eburnoides*, d'Orbigny), tome III, p. 252, des terrains miocènes du bassin de Vienne.
- Fig. 28. — *Buccinum prismaticum* (*Nassa prismatica*, Brochi), du même gisement.
- Fig. 29. — *Buccinum decussatum*, Lamarck, du calcaire grossier des environs de Paris.
- Fig. 30. — *Buccinum stromboide*, Lamarck, du même gisement.

PLANCHE LXVII.

MOLLUSQUES GASTÉROPODES PECTINIBRANCHES. — BECOINIDES, VERMÉTIDES, CRAPIDULIDES.

- Fig. 1. — *Buccinum thiora*, Deshayes, tome III, p. 253, des terrains éocènes inférieurs de Bracheux, type du groupe des *Sulcobuccinum*.
- Fig. 2 et 3. — *Buccinum fissuratum*, Deshayes, du même gisement, et appartenant au même groupe.
- Fig. 4. — *Buccinum potulum*, Deshayes, des grès éocènes supérieurs de Valmondois, du groupe du *Bulla*.
- Fig. 5. — *Terebra plicatula*, Lamarck, tome III, p. 256, du calcaire grossier de Grignon.
- Fig. 6. — *Terebra fuscostriata*, Brochi, des terrains miocènes et pliocènes.
- Fig. 7. — *Terebra pertusa*, Basterot, du terrain miocène.
- Fig. 8. — *Cerithium Brongniartii*, d'Archiac, tome III, p. 258, de la grande oolithe d'Éparcy.
- Fig. 9. — *Cerithium apicense*, d'Orbigny, du terrain apien.
- Fig. 10. — *Cerithium excentrum*, Brongniart, du galet.
- Fig. 11. — *Cerithium hexagonum*, Lamarck, des terrains éocènes supérieurs.
- Fig. 12. — *Cerithium cinctum*, Lamarck, du même gisement.
- Fig. 13. — *Cerithium tricarinatum*, Lamarck, du même gisement.
- Fig. 14. — *Cerithium crenatum*, Brochi, du terrain pliocène d'Asti.
- Fig. 15. — *Triforis plicatus*, Deshayes, tome III, p. 263, des terrains éocènes supérieurs de Valmondois.
- Fig. 16. — *Vermetus Rouyanus*, d'Orbigny, tome III, p. 265, des terrains apiens du département de l'Aube.
- Fig. 17. — *Vermetus triqueter*, Bivona, des terrains pliocènes d'Asti.
- Fig. 18. — *Vermetus glomeratus*, Bivona, des terrains quaternaires de Sicile.

- Fig. 19. — *Siliquaria spinosa*, Lamarck, tome III, p. 267, du calcaire grossier.
Fig. 20. — *Siliquaria lima*, Lamarck, du même gisement.
Fig. 21. — *Siliquaria indicata*, Defrance, d'origine douteuse.
Fig. 22. — *Siliquaria anguina*, Lamarck, des terrains pliocènes d'Asti.
Fig. 23. — *Capulus radiatus*, Lamarck, vivant, tome III, p. 270, figuré pour montrer le support secreté et ses impressions musculaires.
Fig. 24. — *Capulus trocheatus*, Münster, du terrain dévonien de Shubelhammer, type des espèces à crochets enroulés.
Fig. 25. — *Capulus prisus*, Goldfuss, du terrain dévonien de l'Eifel, type des espèces à ouvertures tubulaires.
Fig. 26. — *Capulus trigonus*, Goldfuss, du même gisement, type des espèces élevées, crochets peu enroulés.
Fig. 27. — *Capulus paitacinae*, Sandberger, du terrain dévonien du duché de Nassau.
Fig. 28 et 29. — *Capulus vertustus*, de Koninck, du terrain carbonifère, type des espèces à bord sinuex.
Fig. 30. — *Capulus Hartlebii*, Dunker, du muschelkalk d'Allemagne.
Fig. 31. — *Capulus miliaris*, Müller, des terrains crétacés supérieurs de Vnel.
Fig. 32. — *Capulus elegans*, Lamarck, du calcaire grossier.
Fig. 33. — *Capulus cornucopiae*, id., du même gisement.
Fig. 34. — *Capulus sulcatus*, Borson, du terrain miocène du Piémont.

PLANCHE LXVIII.

MOLLUSQUES GASTÉROPODES PECTINIBRANCHES. — CRÉPIDULIDÉS ET FISSURELLIDÉS.

- Fig. 1. — *Brocchia sinuosa*, Brönn, tome III, p. 273, du terrain pliocène d'Asti.
Fig. 2. — *Brocchia levata*, Brönn, du même gisement.
Fig. 3. — *Spiricella unguiculata*, Rang, tome III, p. 276, des terrains miocènes de Mérignac (grossie).
Fig. 4. — *Dispotea costata*, Conrad, tome III, p. 274, des terrains tertiaires de l'Amérique septentrionale.
Fig. 5. — *Calyptraea equestris*, Linné, vivante, tome III, p. 275, figurée pour montrer les véritables caractères du genre.
Fig. 6. — *Calyptraea deformis*, Lamarck, des terrains miocènes de Bordeaux.
Fig. 7. — *Infundibulum cretaceum*, d'Orbigny, tome III, p. 278, de la craie de Royan.
Fig. 8. — *Infundibulum trachiforme*, Lamarck, d'Orbigny, du calcaire grossier.
Fig. 9. — *Infundibulum cephalolum*, Lamarck, d'Orbigny, du même gisement.
Fig. 10. — *Infundibulum sinense*, Linné, d'Orbigny, des terrains tertiaires récents.
Fig. 11. — *Crepidula unguis*, d'Orbigny, tome III, p. 278, des terrains miocènes et pliocènes.
Fig. 12. — *Parmaphorus Bellardii*, Michelotti, tome III, p. 280, des terrains miocènes du Piémont.
Fig. 13. — *Emarginula Munsteri*, Pictet (*Em. Goldfussii*, Münster, non Roemer), tome III, p. 281, de Saint-Cassian.
Fig. 14. — *Emarginula scalaris*, Sowerby, de la grande oolithe d'Angleterre.
Fig. 15. — *Emarginula Guerangeri*, d'Orbigny, du terrain cénonien du Mans.
Fig. 16. — *Emarginula pelagica*, Passy, des craies éboulées de Rouen.
Fig. 17. — *Emarginula clypeata*, Lamarck, du calcaire grossier de Grignon.
Fig. 18. — *Emarginula clathrata*, Deshayes, du calcaire grossier de Parnes.
Fig. 19. — *Rimula clathrata*, Sowerby, de la grande oolithe d'Angleterre, tome III, p. 283.
Fig. 20. — *Rimula Blainvillii*, Defrance, du calcaire grossier d'Hauterville (Manche).
Fig. 21. — *Rimula Nonchina*, Linne, Wood, du crag récent d'Angleterre.
Fig. 22. — *Fissurella conoidea*, Goldfuss, tome III, p. 284, des terrains dévonien de l'Eifel.
Fig. 23. — *Fissurella patelloidea*, Reuss, du plancér kalk d'Allemagne.

Fig. 24. — *Fissurella acuta*, Sowerby, de la grande oolithe d'Angleterre.

Fig. 25. — *Fissurella labiata*, Lamarck, du calcaire grossier de Grignon.

Fig. 26. — *Fissurella neglecta*, Deshayes (*F. italicus*, De France), des terrains miocènes du Piémont.

PLANCHE LXIX.

MOLLUSQUES CASTÉROPODES. — FISSURELLIDES, ACÉMIDES, CYCLOBRANCHES ET DENTALIDES.

- Fig. 1. — *Bellerophon evolutus*, Montfort, tome III, p. 287, du terrain carbonifère, comme exemple des espèces carenées et non omphiliques.
Fig. 2. — *Bellerophon cornu arietis*, Sow., du même terrain, comme exemple des espèces carenées et omphiliques.
Fig. 3. — *Bellerophon bicanalis*, Léveillé, du même terrain, comme exemple des espèces à sillon dorsal.
Fig. 4. — *Bellerophon expansus*, Hall, des terrains siluriens inférieurs d'Amérique, comme type du groupe des *Bucania*.
Fig. 5. — *Bellerophon bilobatus*, d'Orbigny, du terrain silurien inférieur.
Fig. 6. — *Bellerophia vibragei*, d'Orbigny, tome III, p. 291, du gault de Bienville.
Fig. 7. — *Siphonaria bispiralis*, Michelin, tome III, p. 292, des faluns miocènes de Dax.
Fig. 8. — *Potello rugosa* (*Metopoma rugosa*, Hall), tome III, p. 293, du terrain silurien inférieur de l'Amérique.
Fig. 9. — *Potello solaris*, de Koninck, du terrain carbonifère, comme exemple des véritables *Metopoma*, tome III, p. 295.
Fig. 10. — *Potella rugosa*, Sowerby, de la grande oolithe d'Angleterre.
Fig. 11. — *Potella paradoxus*, Morris et Lyell, du même gisement.
Fig. 12. — *Potella virgunculus*, Buvignier, du terrain corallien du département de la Meuse.
Fig. 13. — *Potella gaulica* (*Acantha gaulica*, Pictet et Roux), du gault de la perte du Rhône.
Fig. 14. — *Potella castoria*, Deshayes, des terrains éocènes supérieurs de Valmündois.
Fig. 15. — *Potella elongata* (*Paranophorus elongatus*, Lamarck), du calcaire grossier du bassin de Paris.
Fig. 16. — *Potella polygona*, Sisonoda, du terrain miocène du Piémont.
Fig. 17. — *Delongchampsia Eugenia*, McCoy, tome III, p. 299, de la grande oolithe d'Angleterre.
Fig. 18. — *Chiton priscus*, Münster, tome III, p. 300, du terrain carbonifère.
Fig. 19. — *Chiton corrugatus*, Roemer, du terrain dévonien de Nassau.
Fig. 20. — *Dentalium priscum*, Münster, tome III, p. 303, du terrain carbonifère de Tournay.
Fig. 21. — *Dentalium ornatum*, de Koninck, du calcaire carbonifère de Visé.
Fig. 22. — *Dentalium rhodovi*, Pictet et Roux, du gault de la perte du Rhône. — a, nodule; b, fragment du test.
Fig. 23. — *Dentalium Moesi*, Brönn, du terrain crétacé supérieur de Maestricht.
Fig. 24. — *Dentalium subdecurvum*, d'Orbigny, du calcaire grossier du bassin de Paris.
Fig. 25. — *Dentalium abbreviatum*, Deshayes, des dépôts éocènes inférieurs de Cuise-la-Motte.
Fig. 26. — *Dentalium coarctatum*, Lamarck, des terrains miocènes du Piémont.
Fig. 27. — *Dentalium fossile*, Linnaeus, du même gisement.
Fig. 28. — *Dentalium Bouri*, Deshayes, du même gisement.
Fig. 29. — *Dentalium asperum*, Michelotti, du même gisement.
-

PLANCHE LXX.

MOLLUSQUES GASTÉROPODES et ACÉPHALES. — TECTIBRANCHES, HÉTÉROPODES, PTÉROPODES
— Caractères généraux des ACÉPHALES.

- Fig. 1. — *Umbrella Laudinensis*, Melville, tome III, p. 307, des sables tertiaires inférieurs de Laon.
Fig. 2. — *Bulla Micheliniiana*, Buvignier, tome III, p. 309, des terrains kimmeridgiens du département de la Meuse.
Fig. 3. — *Bulla semistriata*, Deshayes, des terrains tertiaires inférieurs de Soissons.
Fig. 4. — *Bulla avulata*, Lamarche, du calcaire grossier du bassin de Paris.
Fig. 5. — *Bulla plicata*, Deshayes, du même gisement.
Fig. 6.* — *Bulla striatella*, Lamarche, du même gisement, comme exemple du groupe des *Bulina*.
Fig. 7. — *Bulla Lajouaireana*, Basterot, des terrains miocènes.
Fig. 8. — *Scaphander parisiensis*, d'Orbigny, tome III, p. 312, des terrains tertiaires inférieurs de Coise-la-Motte.
Fig. 9. — *Scaphander lignarius* (*Bulla lignaria*, Lin.), d'après un échantillon du crag.
Fig. 10. — *Philiota striata* (*Bulina striata*, Dush.), tome III, p. 313, du calcaire grossier de Grignon.
Fig. 11. — *Philiota quadrata* (*Bulina quadrata*, Wood), du crag.
Fig. 12. — *Carinaria Hungardi*, Bellardi, tome III, p. 314, du terrain tertiaire miocène de Turin.
Fig. 13. — *Limacina stenorhynchus* (*Spira stenorhynchus*, Phil., *Pteropla physoides*, Forbes), tome III, p. 317, des terrains quaternaires de Sicile.
Fig. 14. — *Hydatia uncinata*, Rang, vivante, tome III, p. 317, figurée pour montrer plus clairement les caractères de la coquille.
Fig. 15. — *Hydatia ayrensis*, Gratelet, des faluns jaunes de Dax.
Fig. 16. — *Clio depressa* (*Vaginula depressa*, Baudin), *Crescix cavigulata*, Rang, *Cleodora strangulata*, Desh., tome III, p. 318, des terrains tertiaires miocènes de Bordéax.
Fig. 17. — *Clio infundibulata* (*Cleodora infundibulata*, Wood), du crag.
Fig. 18. — Espèce des terrains subapennins du Piémont, rapportée à la *Clio inaequalis*, Peron et Lesueur.
Fig. 19. — *Tripteron antennata* (*Curvia antennata*, Rang), tome III, p. 319, des terrains subapennins du Piémont.
Fig. 20. — *Conularia ornata*, d'Archia et de Verneuil, tome III, p. 319, des terrains dévoniens du bassin du Rhin.
Fig. 21. — *Coleoconus geniculus*, Sandberger, tome III, p. 320, du terrain dévonien d'Oberlahnstein.
Fig. 22. — *Pugnacula striatula*, Barrande, tome III, p. 321, des terrains siluriens de Bohême.
Fig. 23. — *Trigona piperata*, Deshayes, d'après M. Deshayes, vivante, pour montrer les principaux traits de l'organisation des mollusques acéphales, tome III, p. 322. — *a*, le bord du manteau; *b*, cul-de-sac destiné à recevoir les siphons pendant la contraction de l'animal; *c*, muscle rétracteur des siphons; *d*, siphon buccial, destiné à amener l'eau aux branchies; cet organe a été coupé près de la coquille, il était beaucoup plus long qu'il est; *e*, ouverture interne du même siphon; *f*, siphon anal, coupé contre le siphon buccial: il est encore beaucoup plus long; *g*, ouverture interne du même siphon; *h*, section du muscle postérieur adducteur des valves (muscle anal); *i*, section du muscle antérieur ou buccal; *k*, le pied; *l*, les deux palpes labiaux couvrant l'entrée de la bouche; *m*, portion du foie; *n*, les feuilles branchiales; *o*, le cœur.
Fig. 24. — *Lutaria oblonga*, Turton, vivante, dans sa position naturelle, l'animal et la coquille (moitié de grandeur naturelle). — *p*, les deux siphons réunis en un seul tube; *q*, le pied.
Fig. 25. — Valve gauche de la coquille de la même espèce, de grandeur naturelle.
Fig. 26. — Valve droite de la *Venus gallina*, Linné, vue du côté externe.
Fig. 27. — La même vue en dedans.

- Fig. 28. — Les deux valves de la même espèce vues du côté des crochets.
Fig. 29. — L'animal de la *Lunaria fasciata*, Donovan, extrait de sa coquille.
Fig. 30. — La coquille de la *Cytherea chione*, Lin., vue du côté des crochets.
Fig. 31. — Valve gauche du *Cardium hians*, Brocchi, vue en dedans.
Fig. 32. — L'animal de la même espèce extrait de sa coquille.

Dans les figures 25 à 32, les mêmes lettres ont été employées comme suit : A, longueur de la coquille; C P, largeur de la coquille; M N, épaisseur de la coquille; A, région anale; B, région buccale; C, région cardinale; P, région palliale; a, l'apex et les crochets; b, la lunule; c, les dents cardinales; d, l'écaillon ou suture; e, le ligament; f, les dents latérales; g, l'impression musculaire bucale ou antérieure; h, l'impression musculaire anale ou postérieure; i, l'impression palliale; k, le sinus anal.

- Fig. 33. — *Ostrea equila*, Brongniart, réduite et placée dans sa position normale comme exemple des Pleuroconques.

PLANCHE LXXI.

MOLLUSQUES ACÉPHALES ORTHOCOQUES SINUPALLÉAUX. — CLAVAGELLIDES, PHOLADIDES, SOLÉNIDES.

- Fig. 1. — *Aespirgillum Leognanum*, Horninghaus, tome III, p. 338, du tertiaire miocène de Bordeaux.
Fig. 2. — *Clavogella cretacea*, d'Orbigny, t. III, p. 338, du terrain crétacé de Royan.
Fig. 3. — *Clavogella echinata*, Lamk, du calcaire grossier de Grignon.
Fig. 4. — *Clavogella Brongniarii*, Deshayes, des sables éocènes supérieurs de Valmondois.
Fig. 5. — *Clavogella coronata*, Deshayes, des sables supérieurs de Meaux, etc.
Fig. 6. — *Gastrochena Moreana*, Buvignier, tome III, p. 340, du terrain corallien du département de la Meuse.
Fig. 7. — Remplissage d'un trou creusé par la *Gastrochena angusta*, Deshayes, des sables éocènes supérieurs de Valmondois.
Fig. 8. — *Gastrochena Proeignyi*, Deshayes, du même gisement.
Fig. 9. — *Teredo argonensis*, Buvignier, tome III, p. 345, du gault de Varennes.
Fig. 10. — Remplissage des trous creusés par le *Teredo Reguennianus*, Matheron, des craies chlorées d'Uchaux.
Fig. 11. — Moule de la coquille de cette même espèce.
Fig. 12. — *Teredo personata*, Lamarck, tome III, p. 347, des dépôts éocènes de France.
Fig. 13. — *Pholas dactylus*, vivante, Linné, tome III, p. 348, pour montrer les caractères génériques.
— Fig. 13, a, la coquille vue par ses crochets et montrant la lame calcaire qui les protège; 13, b, profil de la valve droite; 13, c, charnière et cuilleron; 13, d, coupe théorique de la coquille perpendiculaire à sa longueur, montrant à l'intérieur la position des cuillerons.
Fig. 14. — *Pholas cornutiana*, d'Orbigny, du terrain aptien.
Fig. 15. — *Pholas subcyprinoides*, d'Orbigny, du gault du nord de la France. Les coquilles se trouvent encore dans la roche qu'elles ont percée.
Fig. 16. — *Pholas aperta*, Deshayes, des sables éocènes supérieurs de Valmondois.
Fig. 17. — *Pholas conoides*, Deshayes, du même gisement.
Fig. 18. — *Solen costatus*, Sandberger, tome III, p. 352, du terrain dévonien de Nassau.
Fig. 19. — *Solen rugosulus*, Deshayes, du calcaire grossier de Grignon.
Fig. 20. — *Siliqua Moreana*, Leguminaria Moreana, d'Orbigny, tome III, p. 355, du terrain céno-manien.
Fig. 21. — *Siliqua papryacea* (*Solen papryaceus*, Deshayes), du calcaire grossier de Moisy.
Fig. 22. — *Solecurtis parisienensis*, Deshayes. (*Solen strigillatus*, Lamk, non Lin.), tome III, p. 355, du même gisement.

PLANCHE LXXII.

MOLLUSQUES ACÉPHALES ORTHOCONQUES SINUPALLÉALES. — PANOPÉS ET PHOLADOMYTES.

- Fig. 1. — *Panopaea Aldrovandi*, Lamarck, tome III, p. 359, des terrains quaternaires de Sicile, comme type des vraies PANOPÉS.
Fig. 2. — Charnière de la *Panopaea* vivante de la Méditerranée.
Fig. 3. — *Panopaea plicata*, Sowerby, du terrain apien, comme type des *Mycopsis*, Agassiz.
Fig. 4. — *Panopaea elongata*, Agassiz, de l'oolithe inférieure, comme type des *Plaumontia*, Agassiz.
Fig. 5. — *Panopaea sabaudiana*, Pictet et Roux, du galet de Savoie.
Fig. 6. — *Allorima sulcata*, Flem., tome III, p. 374, des terrains carbonifères de Coalbrook-Dale, à réserver probablement aux PHOLADOMYTES.
Fig. 7. — *Pholadomyes multicostata*, Agassiz, tome III, p. 370, comme type des *Pholadomyes multicostatae*, espèce caractéristique du terrain kimméridgien.
Fig. 8. — *Pholadomya crassa*, Agassiz, du terrain kellowien, comme type des *Pholadomyes paricostatae*.
Fig. 9. — *Pholadomya Volzii*, Agassiz, du lias, comme type des *Pholadomyes ovalaires*.
Fig. 10. — *Pholadomya cancellata*, Agassiz, du terraïo oxfordien, comme type des *Pholadomyes cardisoides*.
Fig. 11. — *Pholadomya Genevensis*, Pictet et Roux, du gault, appartenant au groupe des *Pholadomyes bucaudiennes reticulées*.
Fig. 12. — *Pholadomya subplicata*, d'Orbigny (*P. plicata*, Melleville), du terrain tertiaire inférieur de Châlons-sur-Vesle.
Fig. 13. — *Pholadomya Mellevillei*, d'Orbigny (*P. margaritacea*, Melleville), du terrain tertiaire inférieur de Lao.
Fig. 14. — *Pholadomya hortulana*, Agassiz, du terrain kimméridgien, comme type du groupe des HOMONTES.
Fig. 15. — *Pholadomya poboscidea*, Agassiz, de la grande oolithe de Soleure, comme type du groupe des GONIOMYTES.
Fig. 16. — *Pholadomya trapezina*, Buvignier, du terrain oxfordien, du même groupe des GONIOMYTES.

PLANCHE LXXIII.

MOLLUSQUES ACÉPHALES ORTHOCONQUES SINUPALLÉALES. — MYCIDIIDÉS, MACTRIDÉS,
CORBULIDÉS, ANATRIDÉS.

- Fig. 1. — *Glycimeris angusta*, Nyst et Westendorp, tome III, p. 379, du crag d'Anvers.
Fig. 2. — Charnière de la *Mya arenaria*, Liné, vivante, tome III, p. 379.
Fig. 3. — *Lutraria senaria*, Basterot, tome III, p. 380, des terrains miocènes de Bordeaux.
Fig. 4. — *Macra depressa*, Deshayes, tome III, p. 383, des terrains éocéans supérieurs du bassin de Paris.
Fig. 5. — *Corbula striatula*, Goldfuss, non Sowerby, tome III, p. 389, du terrain crétacé supérieur d'Aix-la-Chapelle.
Fig. 6. — *Corbula gallica*, Lamarck, du calcaire grossier du bassin de Paris.
Fig. 7. — *Corbula gibba*, Oliv., des terrains miocènes de Belgique.
Fig. 8. — *Corbula complanata* (*Corbulomya*, Sow.), des mêmes gisements.
Fig. 9. — *Neara Victoria*, Melleville, tome III, p. 392, des terrains tertiaires inférieurs de Lao.
Fig. 10. — *Neara dispar*, Morris (*Corbula dispar*, Deshayes), du calcaire grossier du bassin de Paris.

- Fig. 11. — *Paronyx granulata* (*Carbula granulata*, Nyst), tome III, p. 395, du crag d'Auvers.
Fig. 12. — Charnière d'*Anatina truncata*, vivante, tome III, p. 395.
Fig. 13. — *Anatina versicolorata*, Buvignier, du terrain oxfordien du département de la Meuse.
Fig. 14. — *Anatina Carteroni*, d'Orbigny, du terrain néocomien du département du Doubs.
Fig. 15. — *Anatina thraeformis*, Buvignier, du gault du Varennes.
Fig. 16. — *Thracia phaeolina*, Linné, vivante, tome III, p. 399. — a, charnière; b, moule artificiel de la même espèce.
Fig. 17. — *Thracia Studeri*, Agassiz, du terrains kimmeridgien de la Suisse.
Fig. 18. — *Thracia rotunda*, Pictet et Roux, du gault des environs de Genève.
Fig. 19. — *Thracia Bellardi*, Pictet (*Anatina rugosa*, Bellardi), du terrains ammonitique des environs de Nice.
Fig. 20. — Valve droite du *Periploma marginale*, Sowerby, vivant, tome III, p. 403.
Fig. 21. — *Lymnaea norvegica*, Sowerby, vivante, tome III, p. 405.
Fig. 22. — *Lymnaea cornuta* (*Osteodema cornutum*, Scacchi), des terrains quaternaires de Sicile.
-

PLANCHE LXXIV.

MOLLUSQUES ACÉPHALES ORTHOCONQUES SINUPALLÉALES. — ANATINIDÉS, MÉSODESMIDÉS, AMPHIDESMIDÉS, TELLINIDÉS.

- Fig. 1. — *Ceramya excentrica*, Agassiz, tome III, p. 406, du terrains kimmeridgien de Porretruy.
Fig. 2. — *Ceramya pinguis*, Agassiz (*Gressyla*), du liau du département du Bas-Rhin.
Fig. 3. — *Pandora rostrata*, Lamarck, tome III, p. 409, vivante, et fossile dans le crag.
Fig. 4. — *Mesodesma cornuta*, Deshayes, tome III, p. 411, vivante, et fossile en Italie.
Fig. 5. — *Cumingia mutica*, tome III, p. 411, vivante.
Fig. 6. — *Syndomyia alba*, Recluz, tome III, p. 415, vivante.
Fig. 7. — *Amphidesma solidum*, Gray, tome III, p. 416, vivante.
Fig. 8. — *Tellina jurensis*, Buvignier, tome III, p. 418, du calcaire kimmeridgien à astérases.
Fig. 9. — *Tellina biangulata*, Deshayes, du calcaire grossier de Grignon.
Fig. 10. — *Tellina planata*, Linné, vivante, et fossile en Italie.
Fig. 11. — *Argopagia concentrica*, d'Orbigny, tome III, p. 422, du terrains néocomien.
Fig. 12. — *Arcopagia erycinoides* (*Tellina erycinoides*, Lamarck), du calcaire grossier du bassin de Paris.
Fig. 13. — *Fragilia fragilis*, Deshayes, tome III, p. 423, vivante, et fossile en Italie.
-

PLANCHE LXXV.

MOLLUSQUES ACÉPHALES ORTHOCONQUES SINUPALLÉALES. — TELLINIDÉS, PATRICOLOIDES, CYTHERIDÉS.

- Fig. 1. — *Patrombeia Studeri*, Pictet et Renier, tome III, p. 424, du terrains apien de la perte du Rhône.
Fig. 2. — *Patrombeia rufa*, Deshayes (*Tellina rufa*, Lamarck), du calcaire grossier.
Fig. 3. — *Sanguinolaria sanguinolenta*, Lamarck, tome III, p. 426, vivante.
Fig. 4. — *Cepas defrata*, Deshayes, tome III, p. 428, vivante.
Fig. 5. — *Bonax retusa*, Lamarck, tome III, p. 429, du terrains éocene supérieur du bassin de Paris.
Fig. 6. — *Bonax cōtusalis*, Lamarck, du même gisement.
Fig. 7. — *Izodonta Deshayesiana*, Buvignier, tome III, p. 431, du terrains oxfordien des Ardennes.
Fig. 8. — Valve gauche de la *Saxicava gallica*, Lamarck, tome III, p. 432, vivante.

- Fig. 9. — *Saxicava arctica*, Philippi, décrite par Goldfuss, sous le nom de *Mytilus carinatus*, des terrains miocènes d'Allemagne.
Fig. 10. — *Petricola Rhodani*, Pictet et Roux, tome III, p. 435, du gault des environs de Genève.
Fig. 11, a. — *Petricola elegans*, Deshayes, du calcaire grossier et des sables supérieurs du bassin de Paris.
Fig. 11, b. — *Petricola variflamma*, Deshayes, vivante.
Fig. 12. — *Venerupis coralliensis*, Buvignier, tome III, p. 436, du terrain corallien du département de la Meuse.
Fig. 13. — *Venerupis monensis*, Buvignier, du même gisement.
Fig. 14. — *Venerupis irna*, Lamarck, d'après un échantillon du crag d'Angleterre.
Fig. 15. — *Carallia phaga oblonga* (*Cypricardia oblonga*, Deshayes), tome III, p. 437, du calcaire grossier de Chaumont.
Fig. 16. — *Pachymya gigas*, Sowerby, tome III, p. 438, du terrain cénomanien.
Fig. 17. — Charnière du genre *Tapes*, Megerle, tome III, p. 440.
Fig. 18. — *Tapes Brougniartiana* (*Venus Brougniartiana*, d'Orbigny), du terrain néocomien.
Fig. 19. — *Tapes decussata*, figurée d'après un échantillon du terrain nummulitique du Vicentin, identique avec la *Corbis Aglaea*, Brougniart.
Fig. 20. — Charnière du genre *Venus*, tome III, p. 442.
Fig. 21. — *Venus plicata*, Gmelin, des terrains miocènes d'Europe.
-

PLANCHE LXXVI.

ACÉPHALES ORTHOCONQUES SINUPALLÉAUX. — CYTHERIDES, CYCLASIDES, CYPRISIDES.

- Fig. 1. — *Venus Vibrayana*, d'Orbigny, tome III, p. 444, du gault.
Fig. 2. — *Thetis Genevensis*, Pictet et Roux, tome III, p. 446, du gault des environs de Genève.
Fig. 3. — Charnière du genre *Cytherea*, tome III, p. 447.
Fig. 4. — *Cytherea trigonellaria*, Goldfuss, du lias d'Allemagne.
Fig. 5. — *Cytherea ergenoides*, Lamarck, du terrain miocène de Bordeaux.
Fig. 6. — *Doxinia orbicularis*, Agassiz, tome III, p. 451, du terrain plioqué de l'Astézan.
Fig. 7. — Valve droite de la *Cyclina Chinensis* vivante, tome III, p. 452.
Fig. 8. — *Grateloupia danaciformis*, Desmondius, tome III, p. 452, des terrains tertiaires de Bordeaux.
Fig. 9. — *Cyrena cuneiformis*, Ferussac, tome III, p. 459, des terrains éocènes inférieurs d'Épernay.
Fig. 10. — *Cyrena semistriata*, Deshayes, des terrains miocènes inférieurs de France et de Belgique.
Fig. 11. — *Cyclas Verneilli*, Saint-Ange de Boissy, tome III, p. 457 du calcaire loenstre de Rilly-la-Montagne.
Fig. 12. — *Cyclas levigata*, Deshayes, des environs d'Épernay.
Fig. 13. — Valve gauche du *Gnathodon cuneatus*, Gray, tome III, p. 462, vivante et fossile dans l'Amérique septentrionale.
Fig. 14. — *Cyprina Sausseri*, Pictet et Reuevier (*Domacites Sausseri*, Brougniart), tome III, p. 466, du terrains aptien de la perte du Rhône.
Fig. 15. — *Cyprina consobrina*, d'Orbigny, du terrain turonien.
Fig. 16. — *Cyprina tunida*, Nyst, du crag de Belgique et d'Angleterre.
Fig. 17. — *Cypricardia carinata*, Deshayes, tome III, p. 466, du calcaire grossier du bassin de Paris.
Fig. 18. — *Cypricardia pectinifera*, Morris, des dépôts éocènes de Belgique et d'Angleterre.
-

PLANCHE LXXVII.

ACÉPHALES ORTHOCONQUES INTÉGROPALLÉALES. — CARDIURES et LECHONDES.

- Fig. 1. — *Cardium pes-decis*, d'Archiae, tome III, p. 470 de la grande oolithe d'Eparey.
Fig. 2. — *Cardium septiferum*, Buvignier, du terrai corallien de la Meuse, comme type des espèces à clousion interne.
Fig. 3. — *Cardium Hillanum*, Sowerby, du grès vert de Blackdown.
Fig. 4. — *Cardium paradoxum*, Lamarck, du calcaire grossier de Paris.
Fig. 5. — *Cardium articulare*, Lamarck, du même gisement.
Fig. 6. — *Unicardium inornatum* d'Orbigny, tome III, p. 476, du terrain néocomien de la Haute-Marne.
Fig. 7. — *Conocardium difforme*, Sowerby, tome III, p. 477, du terrain carbonifère.
Fig. 8. — *Iscocardia truncata*, Goldfuss, tome III, p. 479, du terrain oxfordien.
Fig. 9. — *Iscocardia longirostris*, Roemer (*Iscocardia otaxensis*, d'Orbigny), des terrains ératacés supérieurs.
Fig. 10. — *Iscocardia crassa*, Nyst et Westendorp, du crag de Belgique.
Fig. 11. — *Cardiomorpha oblonga*, Sowerby, de Koenick, tome III, p. 483, du terrai carbonifère de Belgique.
Fig. 12. — *Cardiola cornuta*, Goldfuss, tome III, p. 484, du terrai dévouien.
Fig. 13. — *Lundocardium Parthisii*, Munster, tome III, p. 485, du terrai dévouien de Schubelhammer.
Fig. 14. — *Lundocardium excrescens*, Munster, du même gisement.
Fig. 15. — *Hettangia Dienvillensis*, Terquem, tome III, p. 485, du liais supérieur des environs de Thionville.
Fig. 16. — *Corbis undecussata*, Buvignier, tome III, p. 487, du terrai corallien du département de la Meuse.
Fig. 17. — *Corbis pectunculus*, Lamarck, du calcaire grossier de Valognes.

PLANCHE LXXVIII.

ACÉPHALES ORTHOCONQUES INTÉGROPALLÉALES. — LUCINURES et ASTARTIERS.

- Fig. 1. — *Lucina striatula*, Buvignier, tome III, p. 490, du terrai corallien du département de la Meuse.
Fig. 2. — *Lucina aspera*, id., du même gisement.
Fig. 3. — *Lucina tenuistriga*, Hébert (*Lucina uncinata*, Goldfuss, De France), du terrai tougrien de Belgique.
Fig. 4. — *Diplodonta dilatata*, Philippi, tome III, p. 496, du crag et des terrains quaternaires de Sicile.
Fig. 5. — *Senaria inversa*, Philippi, tome III, p. 497, du calcaire quaternaire de Sicile.
Fig. 6. — *Ungulina unguiformis*, Deshayes (*Clocho unguiformis*, Basterot), tome III, p. 497, des terrains miocènes de Bordeaux.
Fig. 7. — *Cyrenella lucinoides*, Deshayes, tome III, p. 498, des sables moyens de Seulia (parisien supérieur).
Fig. 8. — *Erycina orbicularis*, Deshayes, tome III, p. 498 du calcaire grossier de Paris.
Fig. 9. — *Paronia rubra*, Recluz (*Cardium rubrum*, Montagu), tome III, p. 500, vivant, et fossile dans les dépôts quaternaires de Sicile.
Fig. 10. — *Cerithia semivalvata*, Deshayes, vivante, tome III, p. 500.

- Fig. 11. — *Edmonadia unioniformis*, de Koninck, tome III, p. 501, du terrain carbonifère de Belgique.
Fig. 12. — *Crasatella Gallienei*, d'Orbigny, tome III, p. 502, du grès vert du Mans.
Fig. 13. — *Crasatella sinuosa*, Deshayes, du calcaire grossier de Paris.
Fig. 14. — *Opis ardennensis*, Buvignier, tome III, p. 505, du terrain oxfordien du département de la Meuse.
Fig. 15. — *Opis Hugardiana*, d'Orbigny, du gault.
Fig. 16. — *Astarte detrita*, Goldfuss, tome III, p. 507, de l'oolithe inférieure de l'Allemagne.
Fig. 17. — *Astarte Buchii*, Roemer, des marées apliennes de la perte du Rhône.
Fig. 18. — *Circe minima*, Forbes et Hanley, tome III, p. 513, du crag d'Angleterre.
Fig. 19. — *Cardita crenata*, Goldfuss, tome III, p. 513, du terrain triasique de Saint-Cassian.
Fig. 20. — *Cardita planicosta*, Deshayes, des terrains tertiaires inférieurs du bassin de Paris.
-

PLANCHE LXXX.

ACÉPHALES ORTHOCONQUES INTÉGRO-PALLÉAUX. — ASTARTIDES, UNIONIDES, CORLONOTIDES, TRIGONIDES.

- Fig. 1. — *Hippodictum ponderosum*, Sowerby, tome III, p. 515, du lias, d'après la planche de Sowerby.
Fig. 2. — *Pachyrhynchus grande*, Morris et Lyett, tome III, p. 518, de la grande oolithe d'Angleterre.
Fig. 3. — *Megalodon ruscicollatus*, Sowerby, tome III, p. 518, du terrain dévonien.
Fig. 4. — *Pleurophorus costatus*, King, tome III, p. 520, du terrain permien d'Angleterre.
Fig. 5. — *Myocamcha crassa*, Sowerby, tome III, p. 520, de la grande oolithe d'Angleterre.
Fig. 6. — *Cardinia hybrida*, Stutchbury, tome III, p. 522, du lias moyen.
Fig. 7. — *Cardinia sociocircularis*, Buvignier, du lias de la Meuse.
Fig. 8. — *Unio subrinatus*, Koch et Dunker, tome III, p. 528, du terrain wealdien d'Allemagne.
Fig. 9. — *Unio flabellatus*, Goldfuss, de la molasse suisse.
Fig. 10. — *Grammysia Hamiltonensis*, de Verouil, tome III, p. 530, des terrains dévoniens d'Amérique et d'Europe.
Fig. 11. — *Grammysia ovalis*, Sandberger, var. *abbreviata*, du terrain dévonien du duché de Nassau.
Fig. 12. — *Leptodonus anguliferus*, (*Sanguinolites anguliferus*, Mac Coy), tome III, p. 531, du terrain silurien supérieur d'Angleterre.
Fig. 13. — *Leptodonus truncatus*, Mac Coy, du même gisement.
Fig. 14. — *Dolabra elliptica*, Mac Coy, tome III, p. 532, du même gisement.
Fig. 15. — *Modiolopsis Nilsoni*, Hiesinger, Mac Coy, tome III, p. 533, du même gisement.
Fig. 16. — *Anodontopsis angustifrons*, Mac Coy, tome III, p. 533, du même gisement.
Fig. 17. — *Lyrodessa plana*, Courad, tome III, p. 534, des mêmes gisements.
Fig. 18. — *Cleidophorus planulatus*, Hall, tome III, p. 534, des mêmes gisements.
Fig. 19. — *Tellinomya novata*, Hall, tome III, p. 536, des terrains siluriens d'Amérique.
Fig. 20. — *Myophoria vulgaris*, Schlotheim, Broun, tome III, p. 540, du muschelkalk.
Fig. 21. — *Schizodus obscurus*, Sowerby, tome III, p. 541, du terrain permien d'Angleterre.
Fig. 22. — *Schizodus truncatus*, Kiug, du même gisement. — 22, δ, charnière de la même espèce.
-

PLANCHE LXXX.

ACÉPHALES ORTHOCONQUES INTÉGRO-PALLÉAUX. — TRIGONIDES ET ARCACIDES.

- Fig. 1. — *Trigonia novis*, Lamarck, tome III, p. 536, du lias moyen.
Fig. 2, a, b. — *Trigonia aliformis*, Parkinson, des grès apliens.

- Fig. 2. c. — Charnière de la même espèce.
Fig. 3. — *Arca Lacordaireana*, de Koninck, tome III, p. 543, du terrain carbonifère de Belgique.
Fig. 4. — *Arca Hirsonensis*, d'Archiac, de la grande oolithe, type du genre *MAGNODON*, Morris et Lyett.
Fig. 5. — Moule de l'*Arca obesa*, Pictet et Roux, du groupe des CUCULLÉS, montrant l'impression de la côte anale.
Fig. 6. — *Arca crassatina*, Lamarck, du groupe des CUCULLÉS, des dépôts éocènes inférieurs du bassin de Paris.
Fig. 7. — *Arca laterculata*, Nyst, du terrain tongrien de Belgique.
Fig. 8. — *Arca biangula*, Lamarck, du calcaire grossier; elle appartient au groupe des BYSSOARCA.
Fig. 9. — *Pectunculus subtilis*, d'Orbigny (*P. pilosus*, var., Nyst), tome III, p. 552, du terrain campanien de Belgique.
Fig. 10. — *Limopsis cordellensis*, Buvignier, tome III, p. 556, du terrain corallien du département de la Meuse.
Fig. 11. — *Limopsis Goldfussii* (*Trigonicostaria Goldfussii*, Nyst), du terrain tongrien de Belgique.
Fig. 12. — *Limopsis aurita* (*Pectunculus auritus*, Brönnhi), du terrain pliocène et du crag d'Angleterre.
Fig. 13. — *Isoarca testata*, Münster, tome III, p. 558, du terrain corallien d'Allemagne.
Fig. 14. — *Isoarca Agassizii*, Pictet et Roux, du gault des environs de Genève.
Fig. 15. — *Cucullaria ovata*, Sowerby, Mac Coy, du terrain silurien supérieur d'Angleterre, tome III, p. 559.
Fig. 16. — *Cucullaria* décrite par M. Portlock, sous le nom d'*Arca regularis*, du même gisement.
Fig. 17. — *Cucullaria* décrite par le même auteur sous le nom de *Pectunculus Apjohni*, du même gisement.
Fig. 18. — *Nucula pulchella* (*Lydodesma pulchella*, Hall), tome III, p. 560, du terrain silurien inférieur d'Amérique.
Fig. 19. — *Nucula Hammeri*, De France, du lias.
Fig. 20. — Moule de la *Nucula Neckerianna*, Pictet et Roux, du gault des environs de Genève.
Fig. 21. — *Nucula similis*, Sowerby [*Nucula marginifera*, Lamarck], du calcaire grossier et des sables supérieurs du bassin de Paris.
Fig. 22. — *Nuculina milioria*, Deshayes, d'Orbigny, tome III, p. 566, des dépôts éocènes du bassin de Paris.
Fig. 23. — *Nucuella Nyctii*, d'Orbigny, tome III, p. 566, des dépôts éocènes de Belgique.
Fig. 24. — *Nucuella aviculoides* (*Stolagonium aviculoides*, d'Archiac), du terrain nummulitique de Biarritz.
Fig. 25. — *Leda Philippiana*, Nyst, d'Orbigny, tome III, p. 567, du crag de Belgique.
Fig. 26. — *Leda lanceolata*, Sowerby, du crag d'Angleterre.
Fig. 27. — *Orthona contracta*, Conrad, tome III, p. 571, du terrain silurien inférieur d'Amérique.

PLANCHE LXXXI.

MOLLUSQUES ORTHOCONQUES INTÉGRO-PALLÉALES ET MOLLUSQUES PLEUROCONQUES.
— MITILIDÉS, TRIDACNIDÉS, CRAMIDES.

- Fig. 1. — *Pinna Hartmanni*, Zieten, tome III, p. 573, du lias inférieur du Wurtemberg.
Fig. 2. — *Pinna Gallienei*, d'Orbigny, du terrain cénonien du département de la Sarthe. — a, coupe des deux valves de la même espèce.
Fig. 3. — *Mytilus edulis*, Schlotheim, tome III, p. 577, du muschelkalk.
Fig. 4. — *Mytilus (Modiola) scalprum*, Phillips, du lias moyen.
Fig. 5. — *Mytilus (Modiola) Souverbyanus*, d'Orbigny, de la grande oolithe d'Angleterre.

- Fig. 6. — *Mytilus acutangulus*, Deshayes, des sables supérieurs de Valmondois.
Fig. 7. — *Mytilus (Modiola) subcarinatus*, Lamarck, du calcaire grossier du bassin de Paris.
Fig. 8. — *Lithophagus subcylindricus*, Buvignier, tome III, p. 582, du calcaire à astérés.
Fig. 9. — *Lithophagus sublithophagus (Modiola lithophaga*, Lamarck), du calcaire grossier du bassin de Paris.
Fig. 10. — *Dreissena polonica* (Cangeria polonica, Pätsch), tome III, p. 584, du terrain tertiaire du bassin de Vienne.
Fig. 11. — *Dreissena Brardii* (*Mytilus Brardii* Fanjas), du terrain miocène des environs de Mayence.
Fig. 12. — *Tridacna media*, Pisch, tome III, p. 585, du terrain tertiaire de Pologne.
Fig. 13. — *Chama lamellosa*, Lamarck, tome III, p. 588, du calcaire grossier des environs de Paris.
Fig. 14. — *Diceras gouttina*, Pictet et Ronx, tome III, p. 591, espèce du gault intermédiaire entre les diceras et les chames.
Fig. 15. — *Diceras Lucii*, Defrance, tome III, p. 590, du terrain corallien du mont Salève.
-

PLANCHE LXXXII.

MOLLUSQUES ACÉPHALES PLEIROCONQUES. — MALLIACÉS.

- Fig. 1. — *Bakevelliopsis antiqua*, Munster, tome III, p. 595, du terrain permien d'Angleterre et d'Allemagne.
Fig. 2. — *Pterinea lavis*, Goldfuss, tome III, p. 595, du terrain dévonien d'Allemagne. — a, coquille vue en dedans; b, moule.
Fig. 3. — *Pterinea elongata*, Goldfuss, des mêmes gisements.
Fig. 4. — *Pteroperna costulata*, Morris et Lyell (*Gervilia costulata*, Deslongchamps), tome III, p. 596, de la grande oolithe d'Angleterre.
Fig. 5. — *Myaena lamellosa*, de Koninck, tome III, p. 596, du terrain carbonifère de Belgique.
Fig. 6. — *Avicula reticulata*, tome III, p. 597, du terrain silurien supérieur d'Angleterre.
Fig. 7. — *Avicula Cotteldina*, d'Orbigny, du terrain néocomien de France.
Fig. 8. — *Avicula fragilis*, Defrance, du calcaire grossier et des sables marins supérieurs du bassin de Paris.
Fig. 9. — *Monotis speluncaria*, Schlotheim, tome III, p. 603, du terrain permien d'Angleterre et d'Allemagne.
Fig. 10. — *Vulstella folenta*, Goldfuss, tome III, p. 604, du terrain nummulitique de Kressenberg.
Fig. 11. — *Trichites Saussevi*, Defrance, tome III, p. 604, du terrain corallien du mont Salève, dessiné de grandeur naturelle d'après un échantillon du musée de Genève. — a, fragment du test pris sur un gros échantillon, non grossi.
Fig. 12. — *Trichites nodosa*, Lyell, de la grande oolithe d'Angleterre.
Fig. 13. — *Posidononassa Becheri*, Brönn, tome III, p. 606, du terrain dévonien d'Allemagne.
Fig. 14. — *Posidononassa Brönni*, Voltz, du lia, échantillons de divers âges, de grandeur naturelle.
Fig. 15. — *Perna verna*, Goldfuss, tome III, p. 609, des marnes irisées et du maschelkalk.
Fig. 16. — *Perna ambleti*, Deshayes, du terrain néocomien et du terrain aptien de France, d'Angleterre et d'Allemagne.
Fig. 17. — Fragment de charnière de la *Perna maxillata*, Sowerby, fréquent dans les terrains piocènes.
Fig. 18. — *Inoceramus concentricus*, Parkinson, tome III, p. 613, espèce fréquente dans le gault.
Fig. 19. — *Inoceramus Lamarckii* (*Catillus Lamarckii*, Brongniart), de la craie blanche des environs de Paris.
Fig. 20. — Charnière de l'*Inoceramus problematicus*, d'Orbigny, du terrain taromien.
-

PLANCHE LXXXIII.

MOLLUSQUES ACÉPHALES PLEUROCONQUES. — MALLÉACÉS, LIMIDÉS, PECTINIDÉS.

- Fig. 1. — *Gervilia Hartmanni*, Müster, tome III, p. 611, du lias. — a, coquille vue de profil; b, moule de la même espèce; c, charnière.
Fig. 2. — *Gervilia anceps*, Deshayes, du terrain néocomien de France.
Fig. 3. — *Lima succincta*, Brong (Plagiostoma Hermanni, Zieten), tome III, p. 616, du lias d'Allemagne.
Fig. 4. — *Lima proboscidea*, Agassiz, de l'oolithe inférieure.
Fig. 5. — *Lima spatulata*, Lamk, du calcaire grossier du bassin de Paris.
Fig. 6. — *Lima duplex*, Müster, tome III, p. 621, de l'oolithe ferrugineuse de Thurnau.
Fig. 7. — *Lima strigilata*, Brong (Ostrea strigilata, Brocchii), du terrain plioqué du Piémont.
Fig. 8. — *Pecten levigatus*, Brong, L III, p. 622, du muschelkalk.
Fig. 9. — *Pecten squivalvis*, Sowerby, du lias.
Fig. 10. — *Pecten subreconditus*, d'Orbigny, du terrain tongrien de Belgique, rapporté par M. Nyst à l'*Ostrea recondita*, Brander.

PLANCHE LXXXIV.

MOLLUSQUES ACÉPHALES PLEUROCONQUES. — PECTINIDÉS.

- Fig. 1. — *Himites velatus* (*Spondylus velatus*, Goldf.), tome III, p. 629, du terrain nsfordien.
Fig. 2. — *Himites cricus*, Brong (*H. Cortestii*, Bebr.), dessiné d'après un exemplaire d'Asti, moitié de la grandeur naturelle.
Fig. 3. — Charnière de la *Janira Jacobae*, Lamk, vivante, tome III, p. 631.
Fig. 4. — *Janira quinquecostata*, Sow., espèce caractéristique du terrain cénumanien.
Fig. 5. — Charnière de *Spondyle* vivant, tome III, p. 633.
Fig. 6. — *Spondylus Brunnieri*, Pictet et Ronz, du terrain optien de la perte du Rhône.
Fig. 7. — *Spondylus spinosus*, Deshayes, espèce caractéristique des craies blanches.
Fig. 8. — *Spondylus truncatus*, Goldfuss, du même gisement.
Fig. 9. — *Spondylus crassirostris*, Lamk, du terrain plioqué de l'Asturian.
Fig. 10. — *Plicatula spinosa*, Sowerby, tome III, p. 636, du lias.
Fig. 11. — *Plicatula radiata*, Lamk, du terrain optien (argile à plicatules).

PLANCHE LXXXV.

MOLLUSQUES ACÉPHALES PLEUROCONQUES. — OSTRACKS.

- Fig. 1. — *Ostrea* rapportée par Goldfuss à l'*O. edulis*, tome III, p. 656.
Fig. 2. — *Ostrea arcuata* (*Gryphaea arcuata*, Lamk.), tome III, p. 659, du lias.
Fig. 3. — *Ostrea dilata*, Desh. (*Gryphaea Mae Cullochii*, Goldf.), du terrain kellowien.
Fig. 4. — *Ostrea fimbriata*, d'Orb. (*Eozygrya plicata*, Goldf.), du terrain cénonanien.
Fig. 5. — *Ostrea virgata*, Goldf., des dépôts éocènes de Belgique.
Fig. 6. — *Ostrea columba* (*Exogyra columba*, Goldf.), du terrain cénonanien.
Fig. 7. — *Ostrea Boussingaulti*, d'Orbigny, du terrain néocomien.
Fig. 8. — *Ostrea macropora*, Sowerby, du terrain néocomien.
Fig. 9. — *Placopais Jurensis*, Morris et Lyell (*Anomia jurensis*, Roemer), tome III, p. 647, de la grande oolithe d'Angleterre.
Fig. 10. — *Anomia tenuistriga*, Deshayes, tome III, p. 647, du calcaire grossier du bassin de Paris.
Fig. 11. — *Pulinites Adansonii*, De France, tome III, p. 649, de l'étage crétacé supérieur.

PLANCHE LXXXVI.

MOLLUSQUES BRACHIOPODES. — TÉRÉBRATULIRES ET THÉCIDÉIDES.

- Fig. 1. — Anatomie de la *Terebratula flavescens* vivante, d'après M. Owen, t. IV, p. 4. — a, la bouche ; b, l'estomac ; c, l'intestin ; d, l'anus ; e, le foie ; f, le cœur ; g, les bras.
- Fig. 2. — Muscles principaux chez la même espèce, t. IV, p. 6. — a, le pedoncule qui fixe la coquille ; b, le long adducteur antérieur ; c, le long adducteur postérieur ; d, le court adducteur ; e, le rétracteur inférieur ; f, le cardinal ; g, le rétracteur supérieur ; A, l'appareil qui supporte les bras.
- Fig. 3. — La même *Terebratula flavescens* vivante, t. IV, p. 12, comme type des téribatules à supports des bras allongés, ou Waldheimia.
- Fig. 4. — *Terebratula vittrea*, vivante, t. IV, p. 42, type des vraies téribatules à supports des bras courts.
- Fig. 5. — *Terebratula numismalis*, Lamarck, du lias moyen.
- Fig. 6. — *Terebratula Marcoussis*, d'Orbigny, du terrain néocomien inférieur.
- Fig. 7. — *Terebratula Collinaria*, d'Orb., du même gisement.
- Fig. 8. — *Terebratula prelonga*, Sow., du même gisement.
- Fig. 9. — *Terebratula diaphyoides*, d'Orbigny, du terrain argoniens, type du groupe des ANTHOMATA.
- Fig. 10. — *Terebratula chilensis* vivante, t. IV, p. 20.
- Fig. 11. — *Terebratula pectunculus*, Schlotheim, du terrain oxfordien et du terrain corallien.
- Fig. 12. — *Terebratula Memardi*, d'Orb., du terrain néocomien du Mans.
- Fig. 13. — *Terebratula truncata* vivante, type du groupe des MEGALIA.
- Fig. 15. — *Trigonessema recurva*, (*Terebratula recurva*, Defrance, *Fissurirostra recurva*, d'Orb.), t. IV, p. 22, de la craie blanche du département de la Manche.
- Fig. 15. — *Terebrirostra neocomiensis*, d'Orb., t. IV, p. 23, du terrain néocomien inférieur.
- Fig. 16. — *Terebratulina caput-serpentis* vivante, t. IV, p. 24.
- Fig. 17. — *Terebratulina striata*, Wahlenberg, de la craie blanche.
- Fig. 18. — *Magns pumilus*, Sowerby, t. IV, p. 25, de la craie blanche.
- Fig. 19. — *Argiope decolorata*, Chemnitz, vivante, t. IV, p. 26.
- Fig. 20. — *Argiope decemcostata*, Bumier, de la craie blanche.
- Fig. 21. — *Stringocephalus Burtini*, Defrance, t. IV, p. 27, du terrain dévonien ; restauration théorique.
- Fig. 22. — La même espèce.
- Fig. 23. — *Thécidea radiata*, Defrance, t. IV, p. 28, de la craie supérieure de Maestricht.

PLANCHE LXXXVII.

MOLLUSQUES BRACHIOPODES. — SPIRIFÉRIDÉS ET BEYENCHELLIDIÉS.

- Fig. 1. — *Spirifer macropterus*, Goldfuss, t. IV, p. 31, du terrain dévonien.
- Fig. 2. — Moitié du *Spirifer cultrijugatus*, Romer, du terrain dévonien, ressemblant à celui dont on a fait un des HYSTRISOLITHES, t. IV, p. 34.
- Fig. 3. — *Spirifer ariatus*, Martin, du terrain carbonifère. — a, la coquille, vue de côté de la petite valve ; b, intérieur de la petite valve, montrant les appports spiraux ; c, intérieur de la grande valve.
- Fig. 4. — *Spirifer glaber*, Martin, du terrain carbonifère.

PICTET. — Paléontologie.

- Fig. 5. — *Cyrtia trapezoidalis*, Sow., t. IV, p. 35, du terrain silurien supérieur.
Fig. 6. — *Cyrtia heteroclyta*, Defr., du terrain dévonien.
Fig. 7. — *Spiriferina rostrata*, Schlotheim, sp., t. IV, p. 36, du lias. — a, vu en dehors ; b, intérieur.
Fig. 8. — *Spiriferina Walcotti*, Sowerby, du lias.
Fig. 9. — *Spirigera concentrica*, de Boch, t. IV, p. 37, du terrain dévonien. — a, vu en dehors ; b, intérieur de la grande valve ; c, intérieur de la petite valve.
Fig. 10. — *Spirigera herculea*, Barrande, sp., du terrain silurien de Bohême.
Fig. 11. — *Spirigerina reticulata*, (Linn.) d'Orb., t. IV, p. 39, du terrain dévonien. — a, vue en dehors ; b, intérieur de la petite valve ; c, charnière de la petite valve lorsqu'on a enlevé les supports spiraux ; d, intérieur de la grande valve.
Fig. 12. — *Retzia Adriani*, (Vern.) King, t. IV, p. 40, du terrain dévonien des Asturies.
Fig. 13. — *Uncites gryphus*, Debray, t. IV, p. 41, du terrain dévonien du Rhin.
Fig. 14. — *Komackia Leontardii*, (Wissmann) Davidson, t. IV, p. 44, du terrain silurien de Saint-Cassian.
Fig. 15. — *Rhynchonella pustulata* vivante, t. IV, p. 42. — a, intérieur de la grande valve ; b, intérieur de la petite valve.
Fig. 16. — *Rhynchonella inaurita*, Sandberger, du terrain dévonien du Hartz.
Fig. 17. — *Rhynchonella rimosa*, de Boch, du lias.
Fig. 18. — *Rhynchonella ringens*, Herault, de l'oolithe inférieure.
Fig. 19. — *Rhynchonella spinosa*, Thill., de l'oolithe inférieure, type du groupe des ACANTHOTHYRIS, t. IV, p. 43.
Fig. 20. — *Rhynchonella lata*, d'Orbigny, du terrain néocomien inférieur.
Fig. 21. — *Rhynchonella vespertilio*, d'Orbigny, de la craie blanche.

PLANCHE LXXXVIII.

MOLLUSQUES BRACHIOPODES. — REYNCHONELLIDES ET PRODUCTIDES.

- Fig. 1. — *Atrypa velox*, Barrande, sp., t. IV, p. 48, du terrain silurien de Bohême.
Fig. 2. — *Camaroparia Schlotheimi*, (de Buch) King, t. IV, p. 51, du terrain permien.
Fig. 3. — Coupe du *Camaroparia multiplicata*, King, du terrain permien.
Fig. 4. — *Pendularia galatea*, Dalman, t. IV, p. 52, du terrain silurien supérieur.
Fig. 5. — *Parombonites intercedens*, (Schlotheim) Pander, t. IV, p. 53, du terrain silurien inférieur.
Fig. 6. — *Parombonites libeiro*, Sharpe, du terrain silurien supérieur.
Fig. 7. — *Orthis rusticula*, Sowerby, t. IV, p. 55, du terrain silurien supérieur. — a, vue en dehors ; b, intérieur de la grande valve ; c, intérieur de la petite valve.
Fig. 8. — *Orthis striatula* [*Terebratula striatulus*, Schl.], du terrain dévonien. — a, vue en dehors ; b, intérieur de la grande valve ; c, intérieur de la petite valve ; d, moule intérieur dont on a fait un des HYSTEROLITES, t. IV, p. 55.
Fig. 9. — *Orthistoma Verneuilii*, (Eichwald) d'Orb., t. IV, p. 57, du terrain silurien inférieur de Russie.
Fig. 10. — *Orthisina plana* [*Pronites plana*, Pander], du même gisement.
Fig. 11. — *Orthisina pelargonata* [*Terebratula pelargonotus*, Schl.], du terrain permien de Russie.
Fig. 12. — *Strophomena rhomboidalis*, Wall., [*Leptena depressa*, Verneuil], t. IV, p. 58, du terrain silurien supérieur. — a, vue du côté de la petite valve ; b, vue du côté de la grande ; c, intérieur de la petite valve ; d, intérieur de la grande.
Fig. 13. — *Leptena transversalis*, Dalman, t. IV, p. 60, du terrain silurien supérieur. — a, vue en dehors ; b, intérieur de la petite valve.

- Fig. 14. — *Leptena Moorei*, Davidson, du lias.
Fig. 15. — *Productus scabriculus*, Martin, t. IV, p. 62, du terrain carbonifère.
Fig. 16. — *Productus proboscideum*, Verne, du même gisement; type des espèces à grande valve prolongée en tube.
Fig. 17. — *Productus horridus*, Sow., du terrain permien. — a, vue du côté de la grande valve ; b, charnière de la même valve ; c, intérieur de la petite valve.
Fig. 18. — *Chonetes sarcinatus*, Schlothe, sp., t. IV, p. 64, du système dévonien.
Fig. 19. — *Chonetes concentrica*, de Koninck, du terrain carbonifère.
Fig. 20. — *Dreissidonia Vernerii*, Bouchard, t. IV, p. 66, du terrain détonien.

PLANCHE LXXXIX.

MOLLUSQUES BRACHIOPODES. — CALCOÉLIDES, CHANIDES, ORBICULIDES, LINCOLIDES. — RUDISTES.

- Fig. 1. — *Calcoela modulata*, Lamarek, t. IV, p. 65, du terrain dévonien.
Fig. 2. — *Crania diversicula*, Mac Coy, t. IV, p. 65 (sous-genre *Pseudocrania*), du terrain silurien inférieur d'Angleterre.
Fig. 3. — *Crania cranoides*, Mac Coy (sous-genre *Spondylolobus*), du terrain silurien inférieur d'Angleterre.
Fig. 4. — *Crania nummulus*, Lam. (*Naumulites brattbergensis*, Stohens), de la craie blanche du nord de l'Europe.
Fig. 5. — *Crania antiqua*, Def., de la craie blanche de France.
Fig. 6. — *Orbicula lamellosa*, Broderip, vivante, t. IV, p. 68.
Fig. 7. — *Trematis terminalis*, Emmons, t. IV, p. 69, du terrain silurien d'Amérique (calcaire bleu de Cincinnati).
Fig. 8. — *Orbiculoides Toreshendii*, Forbes, t. IV, p. 70, du terrain oxfordien d'Angleterre.
Fig. 9. — *Siphonotreta angustulata*, Eichwald, t. IV, p. 72, du terrain silurien inférieur de Russie.
Fig. 10. — *Acrotreta subconica*, Kuroga, t. IV, p. 72, du terrain silurien inférieur de Russie.
Fig. 11. — *Lingula ovata*, Mac Coy, t. IV, p. 73, du terrain silurien inférieur d'Angleterre.
Fig. 12. — *Obolus Apollinis*, Eichwald, t. IV, p. 75, du terrain silurien inférieur de Russie.
Fig. 13. — *Hippurites bicostata*, Lam., t. IV, p. 81, de l'étage turonien. — a, la coquille entière, vue de profil ; b, dessus de la valve supérieure, avec différents degrés d'altération, d'après M. d'Orbigny ; c, coupe de la même valve, pour montrer la direction des canaux et la jonction des valves.
Fig. 14. — *Caprina Aguirionii*, d'Orbigny, t. IV, p. 82. — a, la coquille complète ; b, la valve supérieure montrant la dent allongée qui sert à l'articulation ; c, intérieur de la même valve montrant les tubes ramifiés du bord.
Fig. 15. — *Caprinella triangularis*, d'Orb., t. IV, p. 83, du terrain cénonomanien.
Fig. 16. — *Radiolites Fleuriauana*, d'Orb., t. IV, p. 84. — a, la valve inférieure, vue de profil ; b, la valve supérieure, montrant les dents allongées qui entrent dans la valve inférieure ; c, coupe de la valve inférieure, montrant la position qu'y occupe la valve supérieure.
Fig. 17. — *Radiolites Hoeningshanni*, Desn., à l'état de moulé, dont on a fait le genre *Baustites* et le genre *Jodavia*.
Fig. 18. — *Biradiolites cornu-pastoris*, d'Orb., t. IV, p. 86, de la troisième zone de Rodistes (étage turonien).
Fig. 19. — *Caprotina semistriata*, d'Orb., t. IV, p. 86, du terrain cénonomanien. — a, la coquille entière, vue de profil ; b, intérieur de la valve inférieure ; c, intérieur de la valve supérieure.
-

PLANCHE XC.

MOLLUSQUES BRYOZOAires. — CELLARIoIDES, ESCHAROIDES, FLUSTRICOIDES, CRASIDES, OPERACULINoES.

- Fig. 1. — *Canda schizostoma*, t. IV, p. 96 (*Bactridium schizostomum*, Reuss), du bassin miocène de Vienne.
Fig. 2. — *Cellaria euciformis*, d'Orb., t. IV, p. 95, de la craie blanche.
Fig. 3. — *Vincularia dictotoma*, d'Orb., t. IV, p. 97, de la craie blanche de France.
Fig. 4. — *Vincularia normaniana*, d'Orb., du même gisement.
Fig. 5. — *Eschara cenomana*, d'Orb., t. IV, p. 98, de l'étage céno-manien.
Fig. 6. — *Lunulites Bourgeoisi*, d'Orb., t. IV, p. 100, de la craie blanche.
Fig. 6 bis. — *Lunulites Goldfussii*, Hagenow, de la craie supérieure de Maestricht.
Fig. 7. — *Retepora frustulata*, Desfrance, t. IV, p. 101, du terrain miocène.
Fig. 8. — *Hippotheca elegans*, d'Orb., t. IV, p. 102, de la craie blanche.
Fig. 9. — *Vincularia sulcata*, d'Orb., t. IV, p. 103, de la craie blanche.
Fig. 10. — *Porina angustata*, d'Orb., t. IV, p. 107, de la craie blanche.
Fig. 11. — *Escharellina oculata*, d'Orb., t. IV, p. 108, de la craie blanche.
Fig. 12. — *Eschariform Circe*, d'Orb., t. IV, p. 109, de la craie blanche.
Fig. 13. — *Escharella arge*, d'Orb., t. IV, p. 109, de la craie blanche.
Fig. 14. — *Discosarella umbellata*, d'Orb., t. IV, p. 111, du terrain miocène de France.
Fig. 15. — *Parellina coacinaephora*, Reuss, t. IV, p. 111, du bassin miocène de Vienne.
Fig. 16. — *Eckhorpiora incrassata*, d'Orb., t. IV, p. 112, de la craie blanche.
Fig. 17. — *Stegimopora irregularis*, d'Orb., t. IV, p. 113, de la craie blanche.
Fig. 18. — *Siphonella subcompressa*, Hagenow, t. IV, p. 114, de la craie de Maestricht.
Fig. 19. — *Discostellaria doma*, d'Orb., t. IV, p. 114, de la craie blanche.
Fig. 20. — *Flustrilla pulchella*, d'Orb., t. IV, p. 126, de la craie blanche.
Fig. 21. — *Flustrina elegans*, d'Orb., t. IV, p. 117, de la craie blanche.
Fig. 22. — *Crinia Haueri*, Reuss, t. IV, p. 120, du bassin miocène de Vienne.
Fig. 23. — *Nodularia angulosa*, d'Orb., t. IV, p. 121, de la craie blanche.
Fig. 24. — *Melicertites gracilis*, d'Orb. (*Cerriopora gracilis*, Michelin), t. IV, p. 122, de l'étage céno-manien.
Fig. 25. — *Etea triangularis*, d'Orb., (*Eschara triangularis*, Michelin), t. IV, p. 123, du gisement des Ardennes. — a, la colonie de grandeur naturelle; b, cellules grosses; c, deux cellules plus grosses dont l'une avec son opercule.
Fig. 26. — Différents degrés d'usure de la *Diasporopsis lamellosa*, Michelin, d'après M. Haime, t. IV, p. 123. — a, état de conservation où ce fossile est une véritable *Diasporopsis*; b, état usé où elle devient l'*Etea Rasmusseniana*.
Fig. 27. — *Foricula spinosa*, d'Orb., t. IV, p. 125, de la craie blanche.
Fig. 28. — *Myriozous punctatum*, d'Orb., t. IV, p. 125, de la craie blanche.

PLANCHE XCI.

MOLLUSQUES BRYOZOAires. — TUBULIPORoES.

- Fig. 1. — *Fasciculipora Marsiliæ*, d'Orb. (*Frondipora Marsiliæ*, Mich.), t. IV, p. 126, du terrain piocène de l'Astézan.
Fig. 2. — *Discospongigera radiata*, d'Orb., t. IV, p. 127, de la craie blanche.

- Fig. 3. — *Cyrtopora elegans*, Hagenow, t. IV, p. 127, de la craie blanche.
Fig. 4. — *Osculipora truncata*, d'Orb. (*Truncatula truncata*, Hagenow), t. IV, p. 126, du terrain sénonien.
Fig. 5. — *Aparaelesia cristata*, Lamouroux, t. IV, p. 129, de la grande oolithe de Normandie.
Fig. 6. — *Theonexa irregularis*, d'Orb. (*Lopholepia irregularis*, Hagenow), t. IV, p. 130, de la craie de Maestricht.
Fig. 7. — *Corynophora Menardi*, Michelin, t. IV, p. 130, de l'étage cénonanien du Mans.
Fig. 8. — *Fascipora paonina*, d'Orb. (*Dianotopora paonina*, Michelin), t. IV, p. 131, de l'étage cénonanien du Mans.
Fig. 9. — *Spiropora antiqua*, d'Orb. (*Cricopora verticillata*, Goldf.), t. IV, p. 131, de la craie de Maestricht.
Fig. 10. — *Entalophora cellularoides*, Lamouroux, t. IV, p. 133, de la grande oolithe de Normandie.
Fig. 11. — *Entalophora tenuis*, d'Orb., de l'étage cénonanien.
Fig. 12. — *Piestopora foliacea*, Lamouroux, t. IV, p. 135, de la grande oolithe de Normandie.
Fig. 13. — *Idmonexa carantica*, d'Orb., t. IV, p. 138, du terrain turonien d'Angoulême.
Fig. 14. — *Idmonexa cancellata*, Reuss, du bassin miocène de Vienne.
Fig. 15. — *Tubigera disticha*, d'Orb. (*Heteropora disticha*, Goldf.), t. IV, p. 138, de la craie blanche.
Fig. 16. — *Clausa heteropora*, d'Orb., t. IV, p. 140, de l'étage cénonanien.
Fig. 16 bis. — *Clavicolous globulosus*, d'Orb., t. IV, p. 140, de la craie blanche.
Fig. 17. — *Terebellaria ranosissima*, Lamouroux, t. IV, p. 141, de la grande oolithe de Normandie.
Fig. 18. — *Tubulipora fascicularis*, d'Orb., t. IV, p. 142, de l'étage néocomien de Wassy.
Fig. 19. — *Stomopora parvula* (*Alecto parvula*, Michelin), t. IV, p. 142, du terrain miocène de Douai.
Fig. 20. — *Proboscina ramosa*, d'Orb., t. IV, p. 143, de l'étage cénonanien.
Fig. 21. — *Radiotubigera argentea*, d'Orb., t. IV, p. 144, de la craie blanche.
Fig. 22. — *Diocarpinus tuberculatus*, d'Orb., t. IV, p. 146, de la craie blanche.
Fig. 23. — *Conostubigera irregularis*, d'Orb., t. IV, p. 146, de la craie de Meudon.
Fig. 24. — *Hornera andegavensis*, Michelin, t. IV, p. 146, du terrain miocène de Douai.
Fig. 25. — *Crinina pertusa*, d'Orb. (*Idmonexa pertusa*, Reuss), t. IV, p. 147, du terrain miocène de Vienne.
Fig. 26. — *Zonopora pseudotortuosa*, d'Orb. (*Plethopora pseudotortuosa*, Hagenow), de Maestricht, t. IV, p. 149.
Fig. 27. — *Cavella regularis*, d'Orb., t. IV, p. 150, de l'étage turonien.
Fig. 28. — *Ditaxia anomala*, Hagenow, t. IV, p. 150, de la craie de Maestricht.
Fig. 29. — *Pyriticava Francogena*, d'Orb., t. IV, p. 151, de la craie de Meudon.
Fig. 30. — *Lichenopora Philiippii*, Haime, t. IV, p. 151, de la grande oolithe d'Augterre.

PLANCHE XCII.

MOLLUSQUES BRYOZOAIRES. — TUBULIPOSIDES.

- Fig. 1. — *Radiopora licheniformis* (*Ceripora licheniformis*, Mich.), t. IV, p. 153, de l'étage miocène de Douai; a, grandeur naturelle.
Fig. 2. — *Dumopora Muletiana*, d'Orb., t. II, p. 155, de l'étage aptien.
Fig. 3. — *Costellaria antedioidea*, Dana, t. IV, p. 154, du terrain silurien inférieur des États-Unis.
Fig. 4. — *Ces digitata*, d'Orb., t. IV, p. 155, de la craie blanche; a, grandeur naturelle.
Fig. 5. — *Filicea regularis*, d'Orb., t. IV, p. 156, de la craie blanche; a, grandeur naturelle.
Fig. 6. — *Ceripora tubiporacea*, Goldf., t. IV, p. 156, de la craie de Maestricht.
Fig. 7. — *Sulcocoeca sulcata*, d'Orb., t. IV, p. 157, de la craie blanche; a, grandeur naturelle.

- Fig. 8. — *Heteropora romosa*, Mich., t. IV, p. 160, de la grande oolithe de Normandie; *a*, grandeur naturelle.
- Fig. 9. — *Nodularia irregularis*, d'Orb., t. IV, p. 161, de la grande oolithe, rapportée par M. Haime à l'*Heteropora punctulata*; *a*, grandeur naturelle.
- Fig. 10. — *Chilopora Guernonii*, Haime, t. IV, p. 162, de la grande oolithe de Granville, grossie.
- Fig. 11. — *Plethopora truncata*, de Hagenow, t. IV, p. 163, de la craie blanche; *a*, grandeur naturelle.
- Fig. 12. — *Enchyrtis foliacea*, d'Orb., t. IV, p. 163, de la craie blanche; *a*, grandeur naturelle.
- Fig. 13. — *Discoecytis Eudensis*, d'Orb. (*Peloria Eudensis*, Mich.), t. IV, p. 164, de l'étage cénomanien du Massif.
- Fig. 14. — *Fenestella retiformis*, Schloth., t. IV, p. 165, de l'étage permien d'Angleterre; *a*, grandeur naturelle.
- Fig. 15. — *Polypora inculta*, Hall, t. IV, p. 166, du silurien moyen d'Amérique, groupe du Niagara; *a*, grandeur naturelle.
- Fig. 16. — *Phyllopora Ehrenbergi*, King (*Gorgonia Ehrenbergi*, Geinitz), t. IV, p. 161, du terrain permien. — *a*, face externe ou inférieure grossie; *b*, face interne grossie.
- Fig. 17. — *Syncladia virgulacea*, King (*Reticularia virgulacea*, Phillips), t. IV, p. 167, du terrain permien, grossie.
- Fig. 18. — *Acastothalasma uncinatum*, (Schloth.) King, t. IV, p. 168, du terrain permien.
- Fig. 19. — *Thamniscus dubius*, (Schloth.) King, t. IV, p. 168, du terrain permien; *a*, grandeur naturelle.
- Fig. 20. — *Ptilodictya costata*, Mac Coy, t. IV, p. 169, du terrain silurien supérieur d'Angleterre; *a*, grandeur naturelle.
- Fig. 21. — *Seristopora flexosa*, Hall, t. IV, p. 170, du silurien moyen d'Amérique, groupe du Niagara.
- Fig. 22. — *Otdhania antiqua*, Forbes, t. IV, p. 171, du terrain cambrien (le plus ancien des êtres organisés connus).

PLANCHE XCIII.

ÉCHINODERMES ÉCHINIDES. — SPATANGOIDES.

- Fig. 1. — *Colyptites ellipticus*, Desm. (*Dipaster ellipticus*, Agass.), t. IV, p. 188, du terrain kellovien de la Suisse.
- Fig. 2. — *Ananichetes oosta*, Leske, t. IV, p. 190, de la craie blanche. — *a*, vue de profil; *b*, vue en dessous; *c*, l'appareil apical grossi.
- Fig. 3. — *Holaster laceti*, Agass., t. IV, p. 191, du gault de la Suisse et de la Savoie. — *a*, vu en dessus; *b*, vu en dessous; *c*, l'appareil apical grossi.
- Fig. 4. — *Echinopatagus cordiformis*, Breyn, t. IV, p. 194, espèce plus connue sous le nom de *Taxaster complanatus*, fréquente dans le terrain néocomien de la Suisse.
- Fig. 5. — Portion supérieure de l'ambulacrum antérieur grossi.
- Fig. 6. — Même organe chez l'*Heteraster Coulou*, d'Orb., du terrain urgénien, t. IV, p. 195.
- Fig. 7. — Même partie chez l'*Euwallaster Greenoc*, Forbes, du gris vert de Blackdown, t. IV, p. 195.
- Fig. 8. — *Microaster cor-anguinum*, Klein, t. IV, p. 196, de la craie blanche, vu en dessous.
- Fig. 9. — *Epaster polygonus*, d'Orb., t. IV, p. 196, du terrain aptien de la perte du Rhône.
- Fig. 10. — *Hemaster minimus*, Desor, t. IV, p. 197, du gault de la perte du Rhône.
- Fig. 11. — *Perioraster conicus*, d'Orb., t. IV, p. 198, de l'étage cénomanien.
- Fig. 12. — *Schizaster rimosa*, Desor, t. IV, p. 199, du terrain nummulitique de Biarritz.
- Fig. 13. — *Spatangus Demaresti*, Münster, t. IV, p. 199, de l'époque miocène.
- Fig. 14. — *Amphidetus Goldfussi*, Agass., t. IV, p. 202, espèce d'une origine douteuse, mais figurée comme donnant bien les caractères du genre.

Fig. 15. — *Gualtieria Orbigniana*, Agass., t. IV, p. 202, du terrain nummulitique de Royan.

Fig. 16. — *Briassus Scille*, Agass., t. IV, p. 202, du crag corallien d'Angleterre.

N. B. Dans toutes les figures de cette planche, la partie antérieure est en haut; de sorte que, lorsqu'on voit la bouche, elle est au-dessus de la moitié, et que l'anus est l'ouverture située vers le bas de la figure.

PLANCHE XCIV.

ÉCHINODERMES ÉCHINIDES — CLYPEASTROÏDES.

Fig. 1. — *Archiacia sandalina*, Ag. (*Clypeaster sandalinus*, d'Archac), t. IV, p. 207, du terrain cénomanien de France.

Fig. 2. — *Conocyclus Leakei*, Ag. (*Clypeaster Leakei*, Goldf.), t. IV, p. 208, de la craie de Maestricht.

Fig. 3. — *Echinolampus Escheri*, Ag., t. IV, p. 209, du terrain nummulitique de la Suisse.

Fig. 4. — *Pygurus rostratus*, Ag., t. IV, p. 211, de l'étage néocomien inférieur (valanginien).

Fig. 5. — *Pygurus minor*, Ag., du terrains néocomien supérieur (organien), de Lassaraz.

Fig. 6. — *Pygoulus depressus*, Ag. (*Nucleolites depressa*, Brongniart), t. IV, p. 213, du terrains néocomien supérieur (organien).

Fig. 7. — *Catopcyrus carinatus*, Ag. (*Nucleolites carinatus*, Goldf.), t. IV, p. 214, du terrains cénomanien de France et d'Angleterre.

Fig. 8. — *Cassidulus lapis caneri*, Lamarck, t. IV, p. 214, de la craie de Maestricht.

Fig. 9. — *Clypeus Hugii*, Ag., t. IV, p. 215, de l'oolithie inférieure de la Suisse.

Fig. 10. — *Nucleolites clavicularis*, Blainv. (*Clypeus clavicularis*, Lhwyd), t. IV, p. 216, de la grande oolithie et de l'oolithie inférieure d'Angleterre.

Fig. 11. — *Echinocyston occitanicus*, Ag., t. IV, p. 218, du calcaire grossier éocene du Médoc et de l'Espagne.

Fig. 12. — *Fibularia subglobosa*, Lamarck (*Echinoneus subglobosa*, Goldf.), t. IV, p. 219, de la craie de Maestricht.

Fig. 13. — *Lenita patellaris*, Ag., t. IV, p. 219, du calcaire grossier de Grignon.

PLANCHE XCV.

ÉCHINODERMES ÉCHINIDES. — CLYPEASTROÏDES.

Fig. 1. — *Clypeaster scutellatus*, Marcel de Serres, t. IV, p. 219, du terrains miocène de Bontonnet, près de Montpellier.

Fig. 2. — *Scutellina nummularia*, Ag., t. IV, p. 220, du calcaire grossier du bassin de Paris.

Fig. 3. — *Echinarachnites incisus*, Ag., t. IV, p. 221, du calcaire grossier de Hauteville (Manche).

Fig. 4. — *Scutella truncata*, Valenciennes, t. IV, p. 221, du terrains miocène de la Touraine.

Fig. 5. — *Lobophora bicostata*, Ag., du sous-genre des *Ampiope*, t. IV, p. 222; du terrains miocène du midi de la France.

Fig. 6. — *Hyboctypus gibberulus*, Ag., t. IV, p. 223, de l'oolithie inférieure d'Angleterre.

Fig. 7. — *Nucleopogon minor*, Ag., t. IV, p. 223, de la craie blanche de Royan.

Fig. 8. — *Dexoria incisa*, Cottreau (*Nucleopogon incisa*, Ag.), t. IV, p. 224, du terrains néocomien.

Fig. 9. — *Dexoria Orbigniana*, Cottreau, du terrains corallien.

- Fig. 10. — *Pyrina cœlum*, Ag., t. IV, p. 225, de la craie blanche de Tours.
Fig. 11. — *Caratodus cavillana*, Ag. (*Gonopygus cavillana*, Dubois), t. IV, p. 225, de la craie blanche de Ciply.
Fig. 12. — *Galerites albogalerus*, Lamarck, t. IV, p. 226, de la craie blanche.
Fig. 13. — *Discoides cylindrica*, Ag., t. IV, p. 227, du terrain cénomanien.
Fig. 14. — Moule du *Discoides conica*, Desor, du gault de la perte du Rhône, montrant les entailles caractéristiques du sous-genre des *Discoides* proprement dites.
Fig. 15. — *Discoides depressa*, Lamarck, de l'oolithe inférieure, appartenant au sous-genre des *Holotypes*.
Fig. 16. — *Pygaster truncata*, Ag., t. IV, p. 228, du terrain cénomanien.
-

PLANCHE XCVI.

ÉCHINODERMES ÉCHINIDES. — CIDARIIDÉS (*Latistellidés*).

Dans ces figures, les lettres *a* désignent les ambulacres, et les lettres *i* les aires interambulacraires.

- Fig. 1. — *Echinus Robiniaenus*, Cotteau, t. IV, p. 234, du terrain corallien du département de l'Yonne.
Fig. 2. — *Polycyphus corallinus*, Cotteau, t. IV, p. 237, du terrain à chaînes du département de l'Yonne.
Fig. 3. — *Glyptis hieroglyphicus*, Agass., t. IV, p. 238, du terrain corallien.
Fig. 4. — *Tremechinus excavatus*, Forbes, t. IV, p. 239, du crag d'Angleterre. — *a*, grossissement du test.
Fig. 5. — Grossissement d'une portion du test du *Salmocis bicolor*, t. IV, p. 239, espèce vivante.
Fig. 6. — *Pedina subtevis*, Agass., t. IV, p. 239, du terrain corallien.
Fig. 7. — *Codiopsis domo* (Desm.), Agass., t. IV, p. 240, du terrain cénomanien.
Fig. 8. — *Ceropodes Agassizii*, d'Archiac, t. IV, p. 250, du terrain nummulitique de Biarritz.
Fig. 9. — *Arboea Forleni*, Wright, t. IV, p. 241, de l'oolithe inférieure d'Angleterre.
Fig. 10. — Zone porifère de l'*Echinoides Eduardi*, Forbes, t. IV, p. 262, de l'argile de Londres.
Fig. 11. — *Cyphosome Beaumonti*, Agass., t. IV, p. 262, de la craie de Plaisance.
Fig. 12. — *Diadema Rhodani*, Agass., t. IV, p. 263, du gault de la perte du Rhône, avec le grossissement d'un des gros tubercles.
Fig. 13. — *Acrocidaris formosa*, Agass., t. IV, p. 264, du terrain kimméridgien inférieur (séquanien), de la Suisse.
Fig. 14. — *Gonyptygus major*, Agass., t. IV, p. 264, du terrain cénomanien de la Charente, avec le grossissement de la rosette apiciale.
-

PLANCHE XCVII.

ÉCHINODERMES ÉCHINIDES. — CIDARIIDÉS (*Saléniens, Anguststellidés et Archécidariens*).

- Fig. 1. — *Salenia personata*, Desr., t. IV, p. 267, du terrain cénomanien, avec le grossissement de la rosette apiciale.
Fig. 2. — *Peltaster acanthodes*, Agass., t. IV, p. 268, du terrain cénomanien. — *a*, la rosette apiciale

- Fig. 3. — *Goniophorus apiculatus*, Agass., t. IV, p. 258, du terrain cénonien du Havre. — a, rosette apicale.
- Fig. 4. — *Acroalenia hemicycloroides*, Wright, t. IV, p. 249, de l'oolithe inférieure d'Angleterre.
- Fig. 5. — *Milzia decorta*, Haime, t. IV, p. 249, du terrain corallien d'Angleterre. — a et b, de grandeur naturelle ; c, grossissement d'une rosette apicale normale ; d, grossissement d'une rosette apicale à plaques auxales nombreuses.
- Fig. 6. — *Hemicidaris intermedia*, Fleming, t. IV, p. 251, du terrain jurassique d'Angleterre. — a, b et c, de grandeur naturelle ; d, un des grands radioles de grandeur naturelle ; e, un des radioles secondaires fortement grossi ; f, rosette apicale.
- Fig. 7. — *Cidaris suevica*, Desor, t. IV, p. 252, du terrain oxfordien supérieur (argovien) de Suisse.
- Fig. 8. — *Cidaris clavigera*, Koenig, de la craie blanche d'Angleterre, trouvé avec ses radioles.
- Fig. 9. — Radiole du *Cidaris Blumenbachii*, Munster, du terrain à chailles.
- Fig. 10. — Radiole du *Cidaris cucumifera*, Agass., du terrain corallien.
- Fig. 11. — Radiole du *Cidaris glanis*, Goldf., du mont Carmel.
- Fig. 12. — Portion du test du *Rhabdocidaris Orbignyanus*, Desor, t. IV, p. 255, du terrain kimméridgien de France.
- Fig. 13. — Radiole du *Rhabdocidaris maxima*, (Goldf.) Desor, de l'oolithe inférieure.
- Fig. 14. — Radiole du *Rhabdocidaris Moraldina*, (Cotteau) Desor, du lias.
- Fig. 15. — Portion du test du *Diplocidaris gigantea*, Desor, t. IV, p. 256, du terrain corallien.
- Fig. 16. — Radiole du *Diplocidaris Wrighti*, Desor, de l'oolithe inférieure d'Angleterre.
- Fig. 17. — Fragment de test du *Porocidaris veronensis*, (Mérian) Desor, t. IV, p. 256, du terrain nummulitique de Vérone.
- Fig. 18. — Radiole du *Cidaris Schmideli*, Munster, rapporté avec doute au genre *Porocidaris*.
- Fig. 19. — *Archocidaris Nerii*, (Munster) Mac Coy, t. IV, p. 258, du terrain carbonifère de Belgique. — a et b, deux plaques isolées du test ; c, un radiole.
- Fig. 20. — *Archocidaris Verneuiliana*, King, (*Archocidaris Acisterlingii*, Goult), quelques plaques du test.
- Fig. 21. — Détails du test et des zones porifères du *Perischodomus biserialis*, Mac Coy, t. IV, p. 259 ; du calcaire carbonifère inférieur d'Irlande.
- Fig. 22. — *Palechinus elegans*, Mac Coy, t. IV, p. 259, du calcaire carbonifère d'Irlande.
- Fig. 23. — Zones porifères (aires ambulacraires) du *Melomites multipora*, D.-D. Owen, t. IV, p. 260, du calcaire carbonifère de Saint-Louis (Missouri).

PLANCHE XCVIII.

ÉCHINODERMES STELLÉRIDES. — ASTÉRIDES ET OPIÉRIDES.

- Fig. 1. — *Uroster Ruthveni*, Forbes, t. IV, p. 263, du terrains silurien d'Angleterre.
- Fig. 2. — *Palaeaster niagarensis*, Hall, t. IV, p. 265, du silurien moyen (groupe du Niagara) des États-Unis d'Amérique.
- Fig. 3. — *Tropidaster pectinatus*, Forbes, t. IV, p. 265, du lias du Gloucestershire. — a, un des rayons vu du côté ventral ; b, le même vu du côté dorsal.
- Fig. 4. — *Palmipes antiqua*, Forbes (*Asterias antiqua*, Hisinger), t. IV, p. 266, du grès vert du Gothland.
- Fig. 5. — Fragment de l'*Astrogonium Stokesii*, Forbes, t. IV, p. 267, de l'argile de Loudres.
- Fig. 6. — *Stellaster Comptoni*, Forbes, t. IV, p. 268, du grès vert de Blackdown.
- Fig. 7. — *Pentagonaster uncatus*, Forbes, t. IV, p. 269, de la craie supérieure d'Angleterre.
- Fig. 8. — *Crenaster Hastingsii*, Forbes, t. IV, p. 270, du lias du Yorkshire. — a, fragment d'un des bras grossi.

- Fig. 9. — Fragment du *Lepidaster Grayi*, Forbes, t. IV, p. 273, du terrain silurien supérieur de Dudley.
- Fig. 10. — *Acrotra prisca*, Agass. (*Ophiura prisca*, Münster), t. IV, p. 275, du muschelkalk. — a, grandeur naturelle.
- Fig. 11. — *Aptecoma Agassizii*, d'Orb. (*Acrotra Agassizii*, Münster), t. IV, p. 275, du muschelkalk de Leineck. — a, grandeur naturelle.
- Fig. 12. — *Ophiura Wetherelli*, Forbes, t. IV, p. 274, de l'argile de Londres.
- Fig. 13. — *Aspidura loricata*, Agass. (*Ophiura lorienta*, Goldfuss), t. IV, p. 276, du muschelkalk du Württemberg. — a, grandeur naturelle; b, face dorsale grossie; c, face ventrale grossie.
- Fig. 14. — Fragment d'*Ophiocoma granulosa*, d'Orb. (*Ophiura granulosa*, Roemer), t. IV, p. 276, de la craie inférieure du Hanoüe.
- Fig. 15. — *Ophirella speciosa*, Agass. (*Ophiura speciosa*, Goldfuss), t. IV, p. 276, du calcaire lithographique d'Eichstätt. — a, grandeur naturelle; b, fragment de bras grossi, vu du côté dorsal; c, le même vu du côté ventral.
- Fig. 16. — *Gespongia carinata*, d'Orb. (*Ophiura carinata*, Münster), t. IV, p. 277, des schistes lithographiques de Solenhofen. — a, grandeur naturelle; b, grossissement d'une portion du bras pris vers sa base; c, grossissement d'une partie du bras pris près de l'extrémité.
- Fig. 17. — *Prostteria Sedgwickii*, Forbes, t. IV, p. 277, du terrain silurien supérieur d'Angleterre; a, de grandeur naturelle; b, restauré et grossi.

PLANCHE XCIX.

ÉCHINODERMES CRINOIDES. — COMATULIDES, PENTRÉMITIDES, CYSTIDÉES ET COPROSCORINIDÉES.

- Fig. 1. — *Solanocrinus costatus*, Goldf., t. IV, p. 288, type du genre *SOLANOCRINUS*, du terrain corallien de Nattrheim.
- Fig. 2. — *Solanocrinus Jergeri*, Goldf., appartenant probablement au genre *COMATULIS*, t. IV, p. 288, du corallien de Streitberg. — a, vu en dessus; b, vu en dessous.
- Fig. 3. — *Decamerus mysticus* (*Bertha mystica*, Hagenow), t. IV, p. 289, de la craie de Rügen; a, vu en dessus, et b, vu en dessous.
- Fig. 4. — *Pterocoma pinumata*, Agass. (*Comatula pinumata*, Goldf.), t. IV, p. 289, des schistes de Solenhofen. Un quart de la grandeur naturelle.
- Fig. 5. — *Glenotremites paradoxus*, Goldf., t. IV, p. 290, de la craie de Maestricht. — a, vu en dessus; b, vu en dessous.
- Fig. 6. — *Saccocoma tenella*, Goldf., t. IV, p. 290, des schistes lithographiques de Solenhofen. — a, de grandeur naturelle; b, un des bras grossi. C'est par erreur que le texte porte *Saccosoma*.
- Fig. 7. — *Marsipites ornatus*, Miller, t. IV, p. 291, de la craie blanche. — a, plaque centrale isolée.
- Fig. 8. — *Autiplacrinus levius*, F. Henner, t. IV, p. 291, du terrain carbonifère de l'Illinois. — a, plaque centrale entourée des basales.
- Fig. 9. — *Pentremites pyriformis*, Say., t. IV, p. 292, du terrain carbonifère de Kentucky. — a, vu de profil; b, surface supérieure; c, surface inférieure.
- Fig. 10. — *Elocrinium Verneuilii*, Roemer (*Pentremites Verneuilii*, Trosch.), t. IV, p. 293, du terrain dévonien de l'Ohio. — a, vu de profil; b, vu en dessus; c, vu en dessous.
- Fig. 11. — *Codaster aestus*, Mac Coy, t. IV, p. 295, du terrain carbonifère d'Angleterre. — a, vu de profil; b, vu en dessus; c, vu en dessous.
- Fig. 12. — Restauration du *Pseudocrinus bifasciatus*, Pearce, t. IV, p. 296, du terrain silurien supérieur de Dudley.
- Fig. 13. — *Pseudocrinus quadrifasciatus*, Pearce, du terrain silurien supérieur de Dudley.

- Fig. 14. — *Apiocystites pentrematoides*, Forbes, t. IV, p. 298, du même gisement. — a, vu de profil; b, vu en dessus; c, vu en dessous.
- Fig. 15. — *Callocoystites Jevertti*, Hall, t. IV, p. 298, du silurien moyen d'Amérique (groupe du Niagara).
- Fig. 16. — *Prinocystites Fletcheri*, Forbes, t. IV, p. 299, du terrain silurien supérieur de Dudley. — a, de grandeur naturelle.
- Fig. 17. — *Echinocrinites armatus*, Forbes, t. IV, p. 299, du terrain silurien inférieur d'Angleterre. — a, une des plaques qui porte un losange peinté grossi.
- Fig. 18. — *Caryocrinus ornatus*, Say, t. IV, p. 300, du terrain silurien supérieur d'Angleterre et d'Amérique.
- Fig. 19. — *Hemicystites pyriformis*, de Buch, t. IV, p. 301, du silurien inférieur.
- Fig. 20. — *Calliocrinus costatus*, d'Orb. (*Eugeniocrinus costatus*, Hisinger), t. IV, p. 301, du terrain silurien supérieur du Gothland.
- Fig. 21. — *Cariocystites testudinarius*, Hisinger, t. IV, p. 302, du terrain silurien inférieur de Suède.
- Fig. 22. — *Echinophorites auratum*, de Buch, t. IV, p. 302, du silurien inférieur.
- Fig. 23. — *Stephanocrinus angulatus*, Conrad, t. IV, p. 304, du silurien moyen d'Amérique.
- Fig. 24. — *Cryptocrinus cerasus*, de Buch, t. IV, p. 304, du silurien inférieur de Russie.
- Fig. 25. — *Hemicystites parasiticus*, Hall, t. IV, p. 305, sur une valve de Brachiopode, du silurien moyen d'Amérique.
- Fig. 26. — *Cupressocrinus crassus*, Goldfuss, t. IV, p. 306, du terrain dévonien de l'Eifel. — a, fragment de la tige.

PLANCHE C.

ÉCHINODERMES CRINOIDES. — POLYCRINIDES, HAPLOCRINIDES, ANTHOCRINIDES ET CYATHOCRINIDES (*Cyathocrinians*).

- Fig. 1. — *Eucalyptocrinus rosaceus*, Goldf., t. IV, p. 307, du terrain dévonien du Rhin. — a, surface supérieure.
- Fig. 2. — *Haplocrinus metapiliformis*, Römer, t. IV, p. 309, du terrain dévonien du Rhin. — a, vu de profil; b, en dessus; c, en dessous.
- Fig. 3. — *Coccocrinus rosaceus*, J. Müller, t. IV, p. 310, du terrain dévonien du Rhin. — a, vu de profil; b, en dessus; c, en dessous.
- Fig. 4. — *Myrtillocrinus elongatus*, Sandb., t. IV, p. 311, du terrain dévonien du Nassau. — a, vu de profil; b, en dessous.
- Fig. 5. — *Ceramocrinus eifeliensis*, Wirtgen et Zeiler, t. IV, p. 310, du terrain dévonien de l'Eifel. — a, vu de profil du côté anal; b, vu du côté opposé.
- Fig. 6. — *Epectocrinus irregularis*, Wirtgen et Zeiler, t. IV, p. 311, du terrain dévonien de l'Eifel. — a, vu de profil du côté anal; b, vu du côté opposé; c, vu en dessus.
- Fig. 7. — *Gasterocrinus antiquus*, Goldf., t. IV, p. 311, du terrain dévonien de l'Eifel. — a, vu de profil du côté anal; b, vu en dessus; c, vu en dessous.
- Fig. 8. — *Anthocrinus Laurenti*, J. Müller, t. IV, p. 312, du silurien inférieur de l'île de Gothland. — a, le sommet vu de profil; b, coupe du même pour montrer l'enroulement des bras pétiiformes; c, calice vu en dessous; d, grossissement d'une portion des bras.
- Fig. 9. — *Rhodocrinus unicristatus*, de Kouïck, t. IV, p. 314, du terrain carbonifère de Belgique.
- Fig. 10. — *Rhodocrinus erinatus*, Goldf., du terrain dévonien du Rhin.
- Fig. 11. — *Acanthocrinus longispina*, Römer, t. IV, p. 315, du terrain dévonien du Rhin.
- Fig. 12. — *Poterocrinus radiatus*, Austin, t. IV, p. 315, du terrain carbonifère de Belgique.
- Fig. 13. — *Thysanocrinus arctostachys*, Hall, t. IV, p. 317, du silurien moyen d'Amérique (groupe du Niagara). — a, le calice vu de profil; b, disposition des pièces.
- Fig. 14. — *Dendrocrinus longidactylus*, Hall, t. IV, p. 317, du silurien moyen d'Amérique.

- Fig. 15. — Disposition théorique des pièces du calice du genre *Cyathocrinus*, Miller, t. IV, p. 317. *s*, les cinq sous-radiales; *r*, les premières radiales; *i*, les interradiales; *a* pièce anale.
- Fig. 16. — *Cyathocrinus planus*, Miller, du terrain carbonifère d'Angleterre.
- Fig. 17. — *Ichthyocrinus larvii*, Conrad, t. IV, p. 319, du silurien moyen d'Amérique. — *a*, le calice avec les bras épanouis; *b*, le calice avec les bras fermés.
- Fig. 18. — *Woodocrinus macrodactylus*, de Koninck, t. IV, p. 319, du calcaire carbonifère du Yorkshire.
- Fig. 19. — *Mespilocrinus Forbesianus*, de Koninck, t. IV, p. 320, du terrain carbonifère de Belgique.
- Fig. 20. — *Mespilocrinus granifer*, de Kouckx, du même gisement.
- Fig. 21. — *Ennolocrinus scriptus*, d'Orb. (*Apocrinites scriptus*, Hisinger), t. IV, p. 320, du terrain silurien supérieur de Sodde. Moitié de la grandeur naturelle.

PLANCHE CI.

ÉCHINODERMES CRINOIDES. — CYATHOCRINIDES (*Actinocriniens*, *Carpoocriniens* et *Platycrinien*s).

- Fig. 1. — *Ctenocrinus stellaris*, Rosmer, t. IV, p. 322, du terrain dévonien.
- Fig. 2. — *Prodecorinus Baylei*, Verneuil, t. IV, p. 322, du terrain dévonien des Asturias.
- Fig. 3. — Disposition des plaques du calice dans le genre *Actinocrinus*, t. IV, p. 323, où l'on voit trois pièces basales entourées de cinq radiales (*r*) et d'une anale (*a*).
- Fig. 4. — *Actinocrinus triechipodus*, de Koninck, du terrain carbonifère de Belgique.
- Fig. 5. — *Actinocrinus stellaris*, de Koninck, avec son tube, du même gisement.
- Fig. 6. — *Baturinus lecadiocystis*, Cassedy, t. IV, p. 324, du calcaire carbonifère de Louisville (Kentucky).
- Fig. 7. — *Amphocrinus Gilbertsoni*, Austin (*Melocrinites amphora*, Goldf.), t. IV, p. 324, du terrain carbonifère des îles Britanniques.
- Fig. 8. — *Melocrinus verrucosus*, Goldf., t. IV, p. 325, du terrain dévonien d'Allemagne.
- Fig. 9. — Disposition des plaques du calice dans le genre *Forbesocrinus*, t. IV, p. 326, montrant trois pièces basales et cinq rayons de quatre radiales (*r*), avec des anales (*a*) et des interradiales (*i*).
- Fig. 10. — *Taxocrinus tuberculatus*, Miller, t. IV, p. 327, du terrain silurien supérieur d'Angleterre.
- Fig. 11. — *Graphocrinus encrinoides*, de Koninck, t. IV, p. 327, du calcaire carbonifère de Belgique.
- Fig. 12. — *Lycocrinus daedalus*, Hall, t. IV, p. 329, du silurien moyen des États-Unis.
- Fig. 13. — Disposition des pièces du calice du genre *Platycrinus*, t. IV, p. 330, où l'on voit trois pièces basales entourées de cinq rayons de deux radiales (*r*) et des interradiales (*i*).
- Fig. 14. — *Platycrinus trigintadactylus*, Austin, du terrain carbonifère d'Angleterre.
- Fig. 15. — *Edwardsocrinus ornatus*, d'Orb. (*Platycrinus ornatus*, Mac Coy), t. IV, p. 331, du terrain carbonifère d'Irlande.
- Fig. 16. — *Culicocrinus nodosus*, J. Müller, t. IV, p. 332, du terrain dévonien du Rhin. — *a*, surface supérieure du calice.
- Fig. 17. — *Atecrinus Milleri*, Mac Coy, t. IV, p. 332, du terrain carbonifère d'Irlande.
- Fig. 18. — *Dichocrinus radiatus*, Munster, t. IV, p. 333, du terrain carbonifère de Belgique. — *a*, calice vu de profil; *b*, calice vu en dessous.

PLANCHE CII.

ÉCHINODERMES CRINOIDES. — PENTACRINIDES (*Eugeniocriniens*, *Encrinidens*, *Apocriniens*, et *Pentacriniens*).

- Fig. 1. — *Eugeniocrinus nutans*, Goldfuss, t. IV, p. 335, du terrain oxfordien. — *a*, de grandeur naturelle; *b* et *c*, calice grossi.

- Fig. 2. — *Tetraocrinus moniliformis*, Münster, t. IV, p. 335, du corallien de Streitberg, grossi. — a, face supérieure du calice.
- Fig. 3. — *Plicatocrinus hexagonus*, Münster, t. IV, p. 335, du corallien de Streitberg. — a, le calice vu en dessous.
- Fig. 4. — *Encrinus liliiformis*, Schlotheim, t. IV, p. 337, du moschelkalk. — a, l'ensemble vu de plus petit que nature; b, le calice vu en dessus; c, le même, vu en dessous; d et e, surfaces d'articulation des articles de la tige.
- Fig. 5. — *Chelocrinus pentacrinus*, Brooco, t. IV, p. 337, du moschelkalk.
- Fig. 6. — *Dadocrinus gracilis*, Hermann de Meyer, t. IV, p. 337, du moschelkalk supérieur de Silésie.
- Fig. 7. — *Guttatocrinus dilatatus*, d'Orbigny, t. IV, p. 339, du corallien. — a, la tête réduite au cinquième de sa grandeur naturelle; b, le calice au tiers de la grandeur naturelle; c, coupe du même; d, les deux assises qui précèdent la bifurcation des bras.
- Fig. 8. — *Apocrinus Parkinsoni*, Schlotheim, t. IV, p. 339, de la grande oolithe. — a, le sommet, moitié de la grandeur naturelle; b, coupe du même; c, rayonnement des pièces du calice; d, base de la tige et racine.
- Fig. 9. — *Apocrinus Murckhsianus*, d'Orbigny, du terrain corallien, réduit aux deux oesoviennes de sa grandeur naturelle.
- Fig. 10. — *Millericrinus gracilis*, d'Orbigny, t. IV, p. 340, du corallien. — a, sommet de grandeur naturelle; b, calice grossi.
- Fig. 11. — Tige du *Millericrinus aculeatus*, d'Orbigny, de l'oxfordien.
- Fig. 12. — Tige du *Bourgueticrinus ellipticus*, d'Orbigny, t. IV, p. 341, de la craie blanche.
- Fig. 13. — *Pentacrinus fusciculus*, Schlotheim, t. IV, p. 343, du lins d'Allemagne. — a, sommet et portion de la tige de grandeur naturelle; b et c, articles de la tige grossis.
- Fig. 14. — *Isocrinus pendulus*, Hermann de Meyer, t. IV, p. 345, du terrain corallien.

PLANCHE CIII.

POLYPS ZOANTHAIRES APORES. — TUBINOIDES ET OCULINOIDES.

- Fig. 1. — Figure théorique d'un polypierite pour montrer la disposition des six cloisons primaires (1) et des six cloisons secondaires (2).
- Fig. 2. — Polypierite dans lequel ont apparu les cloisons du troisième ordre (3), constituant ainsi le troisième cycle. Les numéros 1 et 2 continuent à représenter les cloisons de premier et de second ordre.
- Fig. 3. — Un des six systèmes du quatrième cycle limité par des cloisons primaires (1), coupé dans son milieu par une cloison secondaire (2) et montrant les cloisons des troisième, quatrième et cinquième ordres (3, 4, 5).
- Fig. 4. — Un des systèmes du cinquième cycle, où l'on voit les cloisons de cinq ordres désignés par leurs chiffres correspondants.
- Fig. 5. — *Cyathina levigata*, Edwards et Haime, t. IV, p. 366, de la craie blanche d'Angleterre. — a, de grandeur naturelle; b, le calice grossi.
- Fig. 6. — *Discocyathus Eudessii*, Edwards et Haime (*Cycloites Eudessii*, Michelini), t. IV, p. 367, de l'oolithe inférieure du Calvados.
- Fig. 7. — *Trochocyathus revoluta*, Edwards et Haime, t. IV, p. 369, du terrain miocène du Piémont; type des vrais *Trochocyathus*.
- Fig. 8. — *Trochocyathus obesus*, Edwards et Haime (*Turbinaria obesa*, Michelini), du même gisement. — a, de grandeur naturelle; b, calice grossi; type du groupe des *Apocyathus*.
- Fig. 9. — *Paracyathus corynophylax*, Edwards et Haime (*Turbinaria corynophylax*, Lanark), t. IV, p. 370, de l'argile de Sheppy.

- Fig. 10. — *Deltocyathus italicus*, Edwards et Haime (*Stephanophyllia italicica*, Michelin), t. IV, p. 374, du terrain miocène de Tortone.
- Fig. 11. — *Turbinaria Dizoni*, Edwards et Haime, t. IV, p. 372, de l'argile de Londres. — a, de grandeur naturelle ; b, grossi ; c, coupe de la même.
- Fig. 12. — *Solidostrochus tuberosus*, Edwards et Haime, t. IV, p. 372, du grès vert de Blackdown, de grandeur naturelle.
- Fig. 13. — *Platystrochus Stockeri*, Edwards et Haime (*Turbinaria Stockesi*, Lea), t. IV, p. 373, du terrain éocene de l'Alabama ; grossi.
- Fig. 14. — *Ceratostrochus multistriatus*, Edwards et Haime (*Turbinaria multistriata*, Michelotti), t. IV, p. 373, du terrain miocène de Tortone.
- Fig. 15. — *Discostrochus Orbignyanus*, Edwards et Haime, t. IV, p. 373, du tertiaire éocene de l'Alabama.
- Fig. 16. — *Flabellum Woodii*, Edwards et Haime, t. IV, p. 375, du crag d'Angleterre.
- Fig. 17. — *Flabellum extensum*, Micheliza, du terrain miocène du Piémont.
- Fig. 18. — *Doxima Sowerbyi* Edwards et Haime, t. IV, p. 375, du terrain éocene de Highgate. — a, grandeur naturelle ; b et c, grossie.
- Fig. 19. — *Oculina conferta*, Edwards et Haime, t. IV, p. 376, de l'argile de Londres. — a, de grandeur naturelle ; b, grossissement d'un des calices.
- Fig. 20. — *Astrella crassoromosa*, Edwards et Haime (*Oculina crassoromosa*, Michelini), t. IV, p. 376, du terrain miocène de Mantelan.
- Fig. 21. — *Synhelina Sharpeana*, Edwards et Haime, t. IV, p. 377, de la craie de Douvres.
- Fig. 22. — *Diploelia papillosa*, Edwards et Haime, t. IV, p. 377, de l'argile de Londres.
- Fig. 23. — *Eselinia gemmata*, Edwards et Haime (*Oculina gemmata*, Michelini), t. IV, p. 378, de la grande oolithe du Calvados.
- Fig. 24. — *Styphophora rugosa*, Edwards et Haime (*Oculina rugosa*, d'Archiac), t. IV, p. 379, du terrain nummulitique de Biarritz.
- Fig. 25. — *Astrorea auverniaca*, Edwards et Haime (*Astrea auverniaca*, Michelini), t. IV, p. 379, du terrain éocene supérieur d'Auvergne. — a, grandeur naturelle ; b, quelques calices grossis.

PLANCHE CIV.

POLYPS ZOANTHAIRES APORES. — ASTREIDES EUSMILIDES.

- Fig. 1. — *Cylconella oltevillensis*, Edwards et Haime, t. IV, p. 381, du calcaire grossier d'Hauteville.
- Fig. 2. — *Phacotilia Parkinsoni*, Edwards et Haime (*Turbinaria rufa*, Michelini), t. IV, p. 382, du terrain turonien du département du Var.
- Fig. 3. — *Trochonella Fanjosi*, Edwards et Haime, t. IV, p. 382, de la craie de Maestricht.
- Fig. 4. — *Trochonella cuneolus*, Edwards et Haime (*Turbinaria cuneolus*, Michelini), du terrain turonien.
- Fig. 5. — *Parasmilia centralis*, Edwards et Haime (*Madrepora centralis*, Mantell), t. IV, p. 383, de la craie blanche.
- Fig. 6. — *Diplostenium cordatum*, Goldfuss, t. IV, p. 384, de la craie de Maestricht.
- Fig. 7. — *Pelecypora Austini*, Edwards et Haime, t. IV, p. 384, du grès vert (cénonien) de Haldou.
- Fig. 8. — *Stylosmilia Michelini*, Edwards et Haime, t. IV, p. 385, du terrain corallien du Doubs.
- Fig. 9. — *Dendromilia Dauvillae*, Edwards et Haime, t. IV, p. 385, du terrain éocene supérieur d'Auvergne.
- Fig. 10. — *Apolemilia semisigilata*, Edwards et Haime (*Lobophyllia semisigilata*, Michelini), t. IV, p. 386, du terrain corallien de Verdun, moitié de la grandeur naturelle.
- Fig. 11. — *Rhipidogryra Martiniana*, Edwards et Haime (*Lobophyllia Martiniana*, Michelini), t. IV, p. 387, du terrain turonien des Martiques, moitié de la grandeur naturelle.
- Fig. 12. — *Pachygryra labyrinthica*, Edwards et Haime (*Lobophyllia labyrinthica*, Michelini), t. IV, p. 388, du terrain turonien des Corbières, moitié de la grandeur naturelle.

- Fig. 13. — *Stylinasolida*, M. Cey, t. IV, p. 388, de l'oolithe inférieure et de la grande oolithe d'Angleterre.
— a, grandeur naturelle d'un moule; b, grossissement d'une partie du même; c, état naturel du polypier, grossi.
- Fig. 14. — *Discocoma tubulosa*, d'Orbigny (*Styliina tubulosa*, Michelin, non Goldfuss), t. IV, p. 395, du terrain corallien. — a, grandeur naturelle; b, quelques calices grossis.
- Fig. 15. — *Lodocaria obeliaea*, d'Orbigny (*Madrepora obeliaea*, Michelin), t. IV, p. 389, du terrain corallien.
- Fig. 16. — *Concentrea regularis*, d'Orbigny (*Astrea regularis*, Klipstein), t. IV, p. 391, du terrain calcaire de Saint-Cassian. — a, grandeur naturelle; b, un calice grossi.
- Fig. 17. — *Stylocoria emarginata*, Edwards et Haime (*Astrea emarginata*, Lamarck), t. IV, p. 391, du calcaire grossier de Paris. — a, grandeur naturelle; b, quelques calices grossis.
- Fig. 18. — *Astrocoenia decaphylla*, Edwards et Haime (*Astrea decaphylla*, Michelin), t. IV, p. 392, du terrain turonien. — a, grandeur naturelle; b, quelques calices grossis.
- Fig. 19. — *Stephanocenia intersepta*, Edwards et Haime (*Astrea intersepta*, Michelin), t. IV, p. 393, espèce vivante figurée pour montrer les coupes plus visibles que dans les fossiles. — a, grandeur naturelle; b, coupe longitudinale; c, coupe transversale.
- Fig. 20. — *Columnastraea striata*, Edwards et Haime (*Astrea striata*, Goldfuss; *Astrea variolaris*, Michelin), t. IV, p. 396, du terrain turonien des Corbières. — a, grandeur naturelle; b, calices grossis.
- Fig. 21. — *Phyllocenia compressa*, Edwards et Haime (*Astrea compressa*, Michelin), t. IV, p. 396, du terrain turonien.
- Fig. 22. — *Heterocenia exigua*, Edwards et Haime (*Lithodendron exiguum*, Michelin), t. IV, p. 396, du terrain turonien des Martigues. — a, grandeur naturelle; b, calices grossis.

PLANCHE CV.

POLYPS ZOANTHAIRES APORES. — ASTREIDES PROPREMENT DITS.

- Fig. 1. — *Circophyllia truncata*, Edwards et Haime (*Anthophyllum truncatum*, Goldfuss), t. IV, p. 398, de terrain éocène.
- Fig. 2. — *Monticella trochoidea*, Edwards et Haime, t. IV, p. 398, de l'oolithe inférieure.
- Fig. 3. — *Lasmonilia lobata*, d'Orbigny (*Lobophyllia lobata*, Blainv.), t. IV, p. 401, de l'étage turonien, moitié de la grandeur naturelle.
- Fig. 4. — *Eunomia radiata*, Lamouroux, t. IV, p. 401, de la grande oolithe. — a, de grandeur naturelle; b et c, grossissement de quelques polypières.
- Fig. 5. — *Gyrophyllia cerberiformis*, d'Orbigny (*Meandrina binimosa*, Michelin), t. IV, p. 406, du terrain miocène du Piémont.
- Fig. 6. — *Latomedes Davidsoni*, d'Orbigny, t. IV, p. 405, de l'oolithe inférieure.
- Fig. 7. — *Apidiscus cristatus*, Edwards et Haime (*Cyclolites cristata*, Lamarck), t. IV, p. 407, du terrain cénonanien des monts Aures. — a, vu en dessous; b, en dessous; c, de profil, de grandeur naturelle, d'après un échantillon du musée de Genève.
- Fig. 8. — *Stellaria elegans*, d'Orbigny, t. IV, p. 407, du terrain cénonanien. — a, grossi; b, grandeur naturelle.
- Fig. 9. — *Meandrina pyrenaica*, Michelin, t. IV, p. 408, du terrain turonien des Corbières.
- Fig. 10. — *Hydnopora Styriana*, Edwards et Haime (*Monticellaria Styriana*, Michelin), t. IV, p. 409, du terrain crétacé de Goussu.
- Fig. 11. — *Cladocora multicostata* (*Lithodendron multicostatum*, Michelin), t. IV, p. 410, du terrain miocène de la Touraine. — a, grandeur naturelle; b, un polypaire grossi.

- Fig. 12. — *Pleurocora gemmata*, Edwards et Haime (*Lithodendron gemmata*, Michelin), t. IV, p. 410, de l'étage turonien.
- Fig. 13. — *Astrea Argus*, Michelin, t. IV, p. 411, du terrain miocène.
- Fig. 14. — *Solenaster turonensis*, Edwards et Haime (*Astrea turonensis*, Michelin), de l'étage miocène de la Touraine. — a, grandeur naturelle; b, quelques polypières grosses.
- Fig. 15. — *Iastrea helianthoides*, d'Orbigny (*Astrea helianthoides*, Goldfuss), t. IV, p. 413, de l'étage oxfordien.
- Fig. 16. — *Plerastraea tessellata*, Edwards et Haime (*Astreatessellata*, Michelin), t. IV, p. 415, du terrain éocène du département de l'Oise. — a, grandeur naturelle; b, quelques polypières grosses.
- Fig. 17. — *Morphaster Ludoviciana*, d'Orbigny (*Agericaria Ludoviciana*, Michelin), t. IV, p. 415, du céno-manien du Mans.
- Fig. 18. — *Thamnopora micrazona* (*Astrea micrazona*, Michelin), t. IV, p. 416, de l'étage cénomanien.
- Fig. 19. — *Parastraea lophiona*, Edwards et Haime (*Astrea lophiona*, Michelin), t. IV, p. 418, du terrain corallien.
- Fig. 19 bis. Quelques polypières du *Parastraea meandrites*, (Mich.) Edwards et Haime.
- Fig. 20. — *Cryptasteria Woodi*, Edwards et Haime, t. IV, p. 419, du crag. — a, une masse de callopores dans laquelle les polypières sont engagés; b, un polypiere isolé.
- Fig. 21. — *Rhizostorgia brevisima*, Edwards et Haime (*Astrea brevisima*, Deshayes), t. IV, p. 420, de l'éocène de Gap.
- Fig. 22. — *Cladomarginaria semisphaerica*, Edwards et Haime (*Astrea semisphaerica*, Defrance), t. IV, p. 420, du terrain miocène de la Touraine.

PLANCHE CVI.

POLYPS ZOANTHAIRES APORES, PERFORÉS ET TABULÉS. — FUNGIDES, MARENÉPÔTIERS,
POSITIONES, MILLEPOURIERS.

- Fig. 1. — *Microbacia coronata*, Edwards et Haime (*Fungia coronata*, Goldfuss), t. IV, p. 421, du grès vert d'Angleterre.
- Fig. 2. — *Anabacia Bouchardii*, Edwards et Haime, t. IV, p. 421, de la grande oolithe. — a, vu en dessous; b, vu en dessous; c, une partie grossie.
- Fig. 3. — *Gemmocystis stellifera*, Edwards et Haime (*Fungia stellifera*, d'Archiac), t. IV, p. 422, de la grande oolithe.
- Fig. 4. — *Cyclaster elliptica*, Lamarck, t. IV, p. 423, de l'étage turonien.
- Fig. 5. — *Palaeocyclus Fletcheri*, Edwards et Haime, t. IV, p. 424, du terrain silurien supérieur.
- Fig. 6. — *Cyclasteris andamanensis*, d'Archiac, t. IV, p. 424, du terrain ammonitique de Biarritz.
- Fig. 7. — *Cyathaster Valmondoisicus*, Edwards et Haime (*Neondrina Valmondoisica*, Michelin), t. IV, p. 425, du terrain éocène supérieur de Valsoudois.
- Fig. 8. — *Comoseris vermicularis*, (Mac Coy) Edwards et Haime, t. IV, p. 426, de la grande oolithe d'Angleterre.
- Fig. 9. — *Eupammia trochiformis*, Edwards et Haime (*Turbinolia elliptica*, Brongniart), t. IV, p. 427, du calcaire grossier du bassin de Paris.
- Fig. 10. — *Endopachys Macfarrii*, (Lea) Edwards et Haime, t. IV, p. 428, du terrain éocène de l'Alabama.
- Fig. 11. — *Stephanophyllia agoracoides*, (Risso) Michelin, t. IV, p. 429, du terrain pliocène d'Asi.
- Fig. 12. — *Dendrophylax digitatus*, Blainville, t. IV, p. 429, du terrain miocène.
- Fig. 13. — *Steropammia humilis*, Edwards et Haime, t. IV, p. 430, de l'argile de Londres.
- Fig. 14. — *Modrepara curvata*, Goldfuss (*M. Solanderi*, Defrance), t. IV, p. 430, de l'étage éocène supérieur.
- Fig. 15. — *Turbinaria cyathiformis* (*Gemmipora cyathiformis*, Blainville), t. IV, p. 431, du terrain miocène.

- Fig. 16. — *Astreopora asperina*, (Michelin) Edwards et Haime, t. IV, p. 431, du terrain éocène supérieur. — a, quelques polypières grossis.
- Fig. 17. — *Porites incrassata*, Defrance (*P. Collegiana*, Michelin), t. IV, p. 432, du terrain miocène. — a, quelques polypières grossis.
- Fig. 18. — *Lithore Ameliora*, Edwards et Haime, t. IV, p. 432, du calcaire grossier de Paris.
- Fig. 19. — *Microstena porosa*, Lamouroux (*Alecopora microstena*, Michelin), t. IV, p. 433, de la grande oolithe de Caen. — a, fragment grossi.
- Fig. 20. — *Pleurodyctium problematicum*, Goldfuss, t. IV, p. 434, du terrain dévonien. — a, échantillon de grandeur naturelle; b, grossissement; c, coupe verticale.
- Fig. 21. — *Heliolites interstincta*, Edwards et Haime (*Medrepora interstincta*, Linné), t. IV, p. 438, du terrain dévonien. — a, quelques polypières grossis.
- Fig. 22. — Coupe verticale de l'*Heliolites Marchioni*, Edwards et Haime, du terrain silurien supérieur.
- Fig. 23. — *Fistulipora minor*, Mac Coy, t. IV, p. 438, du terrain carbonifère d'Angleterre.
- Fig. 24. — *Azopora parisensis*, Edwards et Haime (*Alecopora parisensis*, Michelin), t. IV, p. 439, du calcaire grossier de Grignan.

PLANCHE CVII.

POLYPS ZOANTHAIRES TABULÉS ET RUGUEUX. — FAVOSITIDÉS, SÉMATOPORIDÉS, TRÉCIDÉS, STAURIDIÉS, CYATHAZONIIDIÉS ET CYATHOPHYLLIDIÉS.

- Fig. 1. — *Favosites Gothlandicus*, Lamarck, t. IV, p. 440, du terrain silurien.
- Fig. 2. — *Michelinia tenuisepa*, Phillips, t. IV, p. 441, du terrain carbonifère. — a, coupe longitudinale d'une polypière.
- Fig. 3. — *Chaetetes Trigeri*, Edwards et Haime, t. IV, p. 442, du terrain dévonien. — a, grandeur naturelle; b, coupe grossie.
- Fig. 4. — *Monticulipora papillata*, Edwards et Haime, t. IV, p. 443, du terrain silurien supérieur. — a, grandeur naturelle; b, grossissement d'une partie de la surface.
- Fig. 5. — *Beaufontia Egertoni*, Edwards et Haime, t. IV, p. 443, du terrain carbonifère; grandeur naturelle.
- Fig. 6. — *Comites intertextus*, Eichwald, t. IV, p. 444, du terrain silurien supérieur. — a, grandeur naturelle; b, une portion grossie.
- Fig. 7. — *Bolyssites catenularia*, Fischer, t. IV, p. 445, du terrain silurien. — a, surface supérieure de grandeur naturelle; b, coupe verticale.
- Fig. 8. — *Syringopora geniculata*, Phillips, t. IV, p. 445, du terrain carbonifère; de grandeur naturelle.
- Fig. 9. — *Dendropora explicata*, Michelin, t. IV, p. 446, du terrain dévonien de Ferques.
- Fig. 10. — *Rhabdopora megastoma*, Edwards et Haime, t. IV, p. 447, du terrain carbonifère d'Angle-terre. — a, grandeur naturelle; b, une portion grossie.
- Fig. 11. — *Tachypora Davidsoni*, Edwards et Haime, t. IV, p. 447, du terrain dévonien de Ferques. — a, de grandeur naturelle; b, une portion grossie.
- Fig. 12. — *Columnaria Gothlandica*, Edwards et Haime, t. IV, p. 448, du terrain silurien supérieur. — a, vue de profil; b, vue en dessus; de grandeur naturelle.
- Fig. 13. — *Starria astriformis*, Edwards et Haime, t. IV, p. 449, du silurien supérieur. — a, grandeur naturelle; b, un calice grossi.
- Fig. 14. — *Metriophyllum Bouchardi*, Edwards et Haime, t. IV, p. 450, du terrain dévonien de Ferques. — a, vue de profil, de grandeur naturelle; b, calice grossi.
- Fig. 15. — *Cyathazonia cornuta*, Michelin, t. IV, p. 451, du terrain carbonifère. — a, grandeur naturelle; b, grossissement.
- Fig. 16. — *Zaphrentis Philippoi*, Edwards et Haime, t. IV, p. 452, du terrain carbonifère. — a, vue de profil, de grandeur naturelle; b, calice grossi.

- Fig. 17. — *Amplexus cornu-bovis*, Michelin, t. IV, p. 452, du terrain carbonifère. — a, vu de profil, de grandeur naturelle; b, calice; c, coupe grossie.
- Fig. 18. — *Lobophyllum Dumonti*, Edwards et Haime, t. IV, p. 453, du terrain carbonifère de Belgique. — a, vu de profil, de grandeur naturelle; b, calice grossi.
- Fig. 19. — *Anisophyllum Agassizii*, Edwards et Haime, t. IV, p. 453, du terrain dévonien d'Amérique.
- Fig. 20. — *Antacophyllum mitratum*, Edwards et Haime, t. IV, p. 454, du terrain silurien supérieur, calice grossi.

PLANCHE CVIII.

POLYPS ZOANTHAIRES ET ALCYONAIRES. — CYATHOPHYLLIDES, AULOPORIDES, ALCTONIDES, GRAPTOLITHIDES.

- Fig. 1. — *Cyathophyllum heterophyllum*, Edwards, t. IV, p. 455, du dévonien de l'Eifel. — a, de profil; b, coupe verticale.
- Fig. 2. — *Chasmophyllum perfoliatum*, Edwards et Haime, t. IV, p. 457, du terrain dévonien.
- Fig. 3. — *Acerularia pentagona*, Edwards et Haime, t. IV, p. 457, du terrain dévonien.
- Fig. 4. — *Lithostrea Stokesii*, Edwards et Haime, t. IV, p. 460, du terrain carbonifère de l'Amérique septentrionale.
- Fig. 5. — Coupe verticale de l'*Azophyllum radicum*, Edwards et Haime (*Cyathophyllum radicum*, de Koninck), t. IV, p. 461, du terrain carbonifère de Belgique.
- Fig. 6. — *Loudalia floriformis*, Edwards et Haime, t. IV, p. 462, du terrain carbonifère.
- Fig. 7. — Coupe verticale du *Cystiphyllum silurium*, Lonsdale, t. IV, p. 462, du silurien supérieur d'Angleterre.
- Fig. 8. — *Pyrgio Michelini*, Edwards et Haime, du carbonifère de Belgique.
- Fig. 9. — *Audouina tubiformis*, Goldfuss, t. IV, p. 463, du terrain dévonien (sur une valve de Brachiopode).
- Fig. 10. — *Cladochonus crassus*, Mac Coy, (*Jania crassa*, idem), t. IV, p. 463, du terrain carbonifère.
- Fig. 11. — *Distichopora antiqua*, Deffrance, t. IV, p. 466, du calcaire grossier de Chambon.
- Fig. 12. — *Iris mettensis*, Goldfuss, t. IV, p. 467, des terrains récents de Sicile. Deux articles, a et b, moitié de grandeur naturelle.
- Fig. 13. — *Mopane costata*, Edwards et Haime, t. IV, p. 467, du terrain éocene d'Angleterre — a, grandeur naturelle; b, un fragment grossi.
- Fig. 14. — *Graphularia Whetstonei*, t. IV, p. 468, de l'argile de Londres — a, grandeur naturelle; b, fragment grossi.
- Fig. 15. — *Grotopilites priodon*, t. IV, p. 473, du terrain silurien. — a, grandeur naturelle; b, fragment grossi vu du côté; c, section longitudinale du même; d, le même vu du côté du dos; e, le même vu du côté des cellules.
- Fig. 16. — *Grotopilites nuntius*, Barrande, du terrain silurien, de grandeur naturelle.
- Fig. 17. — *Grotopilites turriculatus*, Barrande, du terrain silurien, de grandeur naturelle.
- Fig. 18. — *Rostries Linnei*, Barrande, t. IV, p. 473, du terrain silurien de Bohême. — a, grandeur naturelle; la plus grande impression représente l'individu adulte, la plus petite le jeune; b, deux cellules grossies.
- Fig. 19. — *Bipinnaria palmae*, Barrande, t. IV, p. 475, du terrain silurien de Bohême. — a, grandeur naturelle; b, fragment grossi.
- Fig. 20. — *Bipinnaria prista*, Bisinger, du terrain silurien. — a, grandeur naturelle; b, fragment grossi.
- Fig. 21. — *Cleidognathus furcatus*, Hall, t. IV, p. 475, du silurien inférieur d'Amérique, de grandeur double.
- Fig. 21 bis. — *Cleidognathus ramosus*, Hall, du même gisement.
- Fig. 22. — *Didinomorpha Forchameri*, Geinitz, t. IV, p. 476, du terrain silurien supérieur, grandeur naturelle.

- Fig. 23. — *Didimograpsus serratus*, Hall, du silURIEN d'Amérique, de grandeur double.
Fig. 24. — *Gladiolites Geinitzianus*, Barrande, t. IV, p. 475, du terrain silURIEN. — a, grandeur naturelle; b, fragment grossi.
Fig. 25. — *Websteria crisioides*, Edwards et Haime, t. IV, p. 347, de l'argile de Londres. — a, grandeur naturelle; b, fragment grossi.

PLANCHE CIX.

FORAMINIFÈRES.

N. B. Toutes les figures de cette planche sont très fortement grossies à l'exception des figures 4, 5 et 19 à 23, dont les grossissements sont indiqués.

- Fig. 1. — *Orbulina univira*, d'Orbigny, t. IV, p. 483, du terrain tertiaire de Vienne.
Fig. 2. — *Oolina clavata*, d'Orbigny, t. IV, p. 483, du même terrain.
Fig. 3. — *Fissurina alata*, Reuss, t. IV, p. 483, du terrain tertiaire éocene des environs de Berlin.
Fig. 4. — *Dactyliopora cylindracea*, Lamarck, t. IV, p. 485, du calcaire grossier de Paris, de grandeur double.
Fig. 5. — *Conodictyon striatum*, Munster, t. IV, p. 486, du terrain corallien de Streitberg; au même grossissement.
Fig. 6. — *Cyclodina cretacea*, d'Orbigny, t. IV, p. 485, du terrain cénonanien, fortement grossie.
— a, grossissement encore plus fort de deux tours consécutifs.
Fig. 7. — *Orbulolina lentisculata*, Lamarck, t. IV, p. 486, du terrain apien de la perte du Rhône.
— a, grandeur naturelle; b, côté convexe en partie usé, pour montrer la disposition des loges; c, côté concave.
Fig. 8. — *Globularia oculata*, d'Orbigny, t. IV, p. 487, du terrain miocène de Vienne.
Fig. 9. — *Nodosaria rugosa*, d'Orbigny, t. IV, p. 488, du même gisement. (C'est par erreur que le texte, t. IV, p. 488, indique la figure 10.)
Fig. 10. — *Desulina elegans*, d'Orbigny, t. IV, p. 489, du même gisement.
Fig. 11. — *Franciscularia foliata*, Alth, t. IV, p. 490, de la craie de Lensberg.
Fig. 12. — *Marginulina cristellinae*, Czjekc, t. IV, p. 491, du terrain miocène de Vienne.
Fig. 13. — *Cristellaria reniformis*, d'Orbigny, t. IV, p. 495, du terrain miocène de Vienne.
Fig. 14. — *Flabellina rugosa*, d'Orbigny, t. IV, p. 496, de la craie supérieure.
Fig. 15. — *Robulina ornata*, d'Orbigny, t. IV, p. 496, du terrain miocène de Vienne.
Fig. 16. — *Fusulina cylindrica*, Fischer, t. IV, p. 497, du terrain carboïlique de Russie.
Fig. 17. — *Nostanina Bouyoua*, d'Orbigny, t. IV, p. 497, du terrain miocène de Vienne.
Fig. 18. — Coupe de la *Nostanites grossissima*, d'Archiac, t. IV, p. 498, du groupe des *Astrea grossi* 16 fois.
Fig. 19. — *Nummulites Puschi*, d'Archiac. — a, vue par sa tranche; b, surface en partie enlevée de manière à montrer la coupe sur la moitié de l'étendue; grandeur naturelle.
Fig. 20. — *Nummulites Gavensis*, Joly et Leymerie, du terrain nummulitique des Landes. — a, grandeur naturelle; b, segment de la spire grossi huit fois; c, coupe transverse grossie 6 fois; d, portion de la même grossie trente fois; e, portions de tours découverts et portions de la lame grossies trente fois; d'après MM. d'Archiac et Haime.
Fig. 21. — *Nummulites terebrata*, Lamarck, variété subglobuleuse du calcaire grossier, de grandeur naturelle.
Fig. 22. — *Nummulites Lyelli*, d'Archiac et Haime, du Véronais, grandeur naturelle.
Fig. 23. — *Opercularia plicata*, Czjekc, t. IV, p. 505, du terrain miocène de Vienne.
Fig. 24. — *Polystomella rugosa*, d'Orbigny, t. IV, p. 505, du même gisement.
Fig. 25. — *Spirulina austriaca*, d'Orbigny, t. IV, p. 505, du même gisement.

- Fig. 26. — *Orbiculina rotella*, d'Orbigny, t. IV, p. 506, du même gisement.
Fig. 27. — *Alveolina Houeri*, d'Orbigny, t. IV, p. 507, du même gisement.
Fig. 28. — *Rotalia calemburgensis*, d'Orbigny, t. IV, p. 507, du même gisement.
Fig. 29. — *Globigerina bulloides*, d'Orbigny, t. IV, p. 509, du même gisement.
Fig. 30. — *Truncatulina lobulata*, d'Orbigny, t. IV, p. 510, du terrain pliocène d'Italie.
Fig. 31. — *Bulimina Buchiana*, d'Orbigny, t. IV, p. 513, du terrain miocène de Vienne.
Fig. 32. — *Uvigerina urnula*, d'Orbigny, t. IV, p. 513, du même gisement.
Fig. 33. — *Clavulina communis*, d'Orbigny, t. IV, p. 514, du même gisement.
Fig. 34. — *Gaudryina siphonella*, Reuss, t. IV, p. 514, du tertiaire cocéen de Berlin.
Fig. 35. — *Amphistegina mucicula*, d'Orbigny, t. IV, p. 515, du terrain miocène de Vienne.
Fig. 36. — *Heterostegina simplex*, d'Orbigny, t. IV, p. 516, du même gisement.
Fig. 37. — *Guttulina austriaca*, d'Orbigny, t. IV, p. 517, du même gisement.
Fig. 38. — *Globulina guttula*, Reuss, t. IV, p. 518, du terrain cocéen de Berlin.
Fig. 39. — *Polymorphina lanceolata*, Reuss, t. IV, p. 519, du même gisement.
Fig. 40. — *Chitostomella cylindroidea*, Reuss, t. IV, p. 520, du même gisement. Le texte porte par erreur le mot *cylindrops* au lieu de *cylindroidea*.
Fig. 41. — *Textularia Meyeriana*, d'Orbigny, t. IV, p. 521, du terrain miocène de Vienne.
Fig. 42. — *Bilobulina turgida*, Reuss, t. IV, p. 523, du terrain cocéen de Berlin.
Fig. 43. — *Spiraloculina conicalis*, d'Orbigny, t. IV, p. 524, du terrain miocène de Vienne.
Fig. 44. — *Triloculina enquistiana*, Reuss, t. IV, p. 524, du tertiaire cocéen de Berlin.
Fig. 45. — *Articulina gibbosa*, d'Orbigny, t. IV, p. 525, du terrain miocène de Galicie.
Fig. 46. — *Sphaeroidina variabilis*, Reuss, t. IV, p. 525, du tertiaire cocéen de Berlin.
Fig. 47. — *Quinqueloculina Mariae*, d'Orbigny, t. IV, p. 526, du terrain miocène de Vienne.

PLANCHE CX.

SPONGIAIRES. — CLIONIDES, PÉTROSPONGIODES.

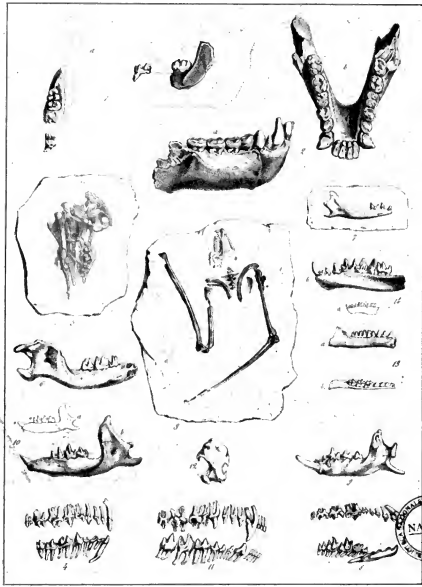
- Fig. 1. — Perforations produites par la *Ciona Duvernoyi*, Michelie, sur une valve d'huître, t. IV, p. 533, du terrain miocène des environs de Tournai.
Fig. 2. — Bélemnite de la craie blanche, percée par des *Talpina* et des *Dendrina*, t. IV, p. 533.
— a, *Talpina remosa*, de Hagenow; b, *Dendrina*.
Fig. 3. — *Cassinopora cupuliformis*, d'Orbigny, t. IV, p. 537, de la craie blanche; un tiers de la grandeur naturelle. — a, grossissement d'une portion de test.
Fig. 4. — *Guettardia angularis* (*Brachiodites angularis*, T. Smith); *Ventriculites quadrangularis*, Mantell, t. IV, p. 537, de la craie blanche, moitié de la grandeur naturelle.
Fig. 5. — *Ocellaria decurrens* (*Ventriculites decurrentes*, T. Smith), t. IV, p. 538, de la craie supérieure d'Angleterre.
Fig. 6. — *Cephalites longitudinalis*, T. Smith, t. IV, p. 538, du groupe des *Annulati*, provenant de la craie blanche.
Fig. 7. — *Cephalites campanulatus*, T. Smith, du groupe des *Dilatati*, provenant également de la craie blanche.
Fig. 8. — *Cribroporia reticulata*, (Goldfuss) d'Orbigny, t. IV, p. 539, du terrain corallien, moitié de la grandeur naturelle. — a, grossissement d'une partie du test.
Fig. 9. — *Calotrychium agaricoides*, Goldfuss, t. IV, p. 539, de la craie supérieure d'Allemagne, moitié de la grandeur naturelle.
Fig. 10. — Fragment du *Porospongia marginata*, Goldfuss, t. IV, p. 540, du terrain jurassique de Mandach.

- Fig. 11. — *Eudesa clavata*, Lamouroux (*Eudea cribraria*, Michelin), t. IV, p. 541, de la grande oolithe, de grandeur naturelle. — a, grossissement d'une partie du test.
- Fig. 12. — *Eudea lagenaaria*, Lamouroux, de la grande oolithe.
- Fig. 13. — *Hippolimus Bromé*, d'Orbigny, t. IV, p. 542, du terrain corallien du Wurtemberg. — a, fragment grossi. (Voyez, sur ces trois dernières espèces, la note de la page 542.)
- Fig. 14. — *Cnemidium stellatum*, Goldfuss, t. IV, p. 544, du terrain oxfordien du mont Randen, moitié de la grandeur naturelle.
- Fig. 15. — *Siphonia fucus*, Goldfuss (*Siphonia pyriformis*, Sowerby), t. IV, p. 544, du grès vert de Blackdown. — a, un échantillon entier, moitié de la grandeur naturelle; b, une tête un peu plus petite que nature; c, coupe de la même.
- Fig. 16. — *Holothroa costata*, Lamouroux, t. IV, p. 545, de l'étage cénomanien; genre à rattir aux *Siphonia*, un tiers de la grandeur naturelle.
- Fig. 17. — *Hippolimus fungoides*, Lamouroux, t. IV, p. 545, du terrain cénomanien du Calvados, un tiers de la grandeur naturelle.
- Fig. 18. — *Lynnora Michelini*, d'Orbigny, t. IV, p. 547, de la grande oolithe de Normandie.
- Fig. 19. — *Actinospongia monon*, (Münster) Pictet, (*Heliopsis*, d'Orbigny), t. IV, p. 548, du terrain saliferien de Saint-Cassian. — a, vu de profil; b, vu en dessous.
- Fig. 20. — *Chonetes reticulatus*, (Goldfuss) d'Orbigny, t. IV, p. 549, du terrain corallien de Streitberg, moitié de la grandeur naturelle. — a, un fragment grossi.
- Fig. 21. — *Terepistillum*, (Goldfuss) d'Orbigny, t. IV, p. 550, de la craie blanche d'Allemagne; deux cinquièmes de la grandeur naturelle.
- Fig. 22. — *Verrucopangia armata*, d'Orbigny (*Scyphia armata*, Klipstein), t. IV, p. 551, du terrain saliferien de Saint-Cassian. Le trait indique la grandeur naturelle.
- Fig. 23. — *Sporitespongia concinna*, d'Orbigny (*Cnemidium concinnum*, Klipstein), t. IV, p. 551, du même gisement. — a, fragment grossi.
- Fig. 24. — *Stellipangia substellata*, d'Orbigny (*Tragus stellatum*, Goldfuss), dessinée d'après un échantillon de la craie cénomanienne d'Essen. — a, grandeur naturelle.
- Fig. 25. — *Amorphospongia tuberosa*, (Goldfuss) d'Orbigny, t. IV, p. 555, du terrain corallien; moitié de la grandeur naturelle.
- Fig. 26. — *Stromatopora concentrica*, Lonsdale, t. IV, p. 556, du terrain silurien supérieur d'Angleterre. — a, portion d'une coupe verticale.

FIN DE L'EXPLICATION DES PLANCHES.

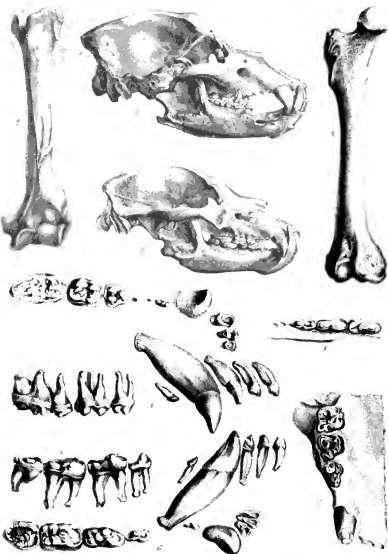
MAMMIFÈRES

PII

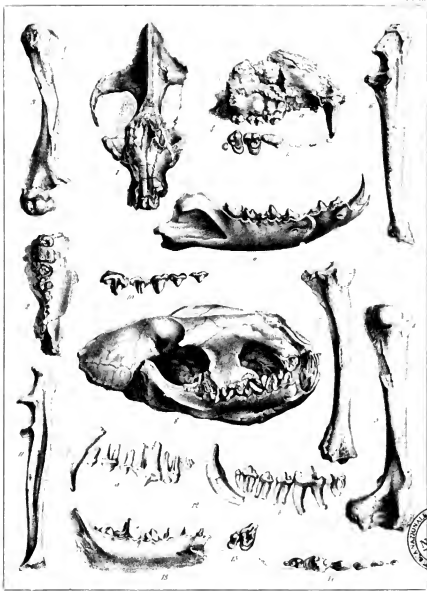


Fabre et Léb.
F. J. G.

Quadrumanes, Chiroptères et Insectivores

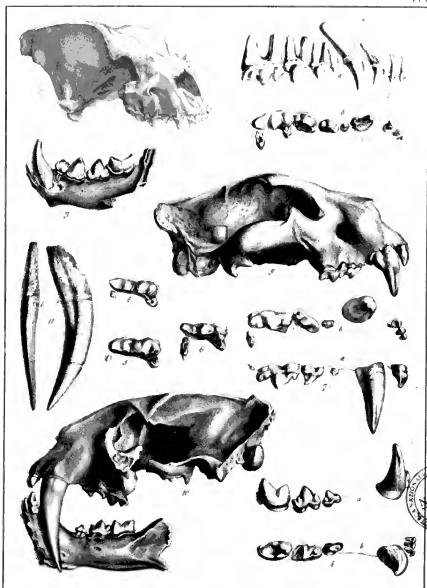


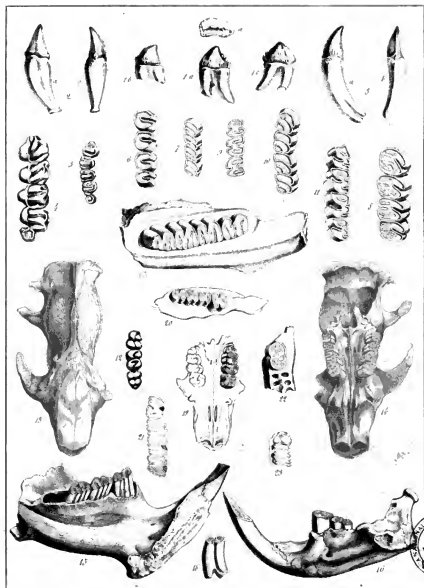
Ursidae



Ursides et Canides.



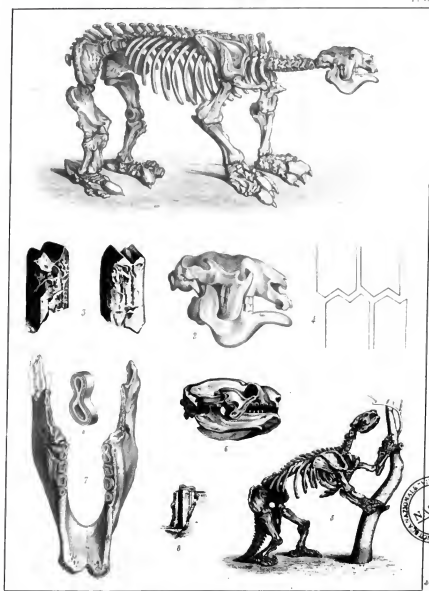




Dessin de G.

Imp. à la Cour de l'Art à Paris.

Phoques et Rongeurs.



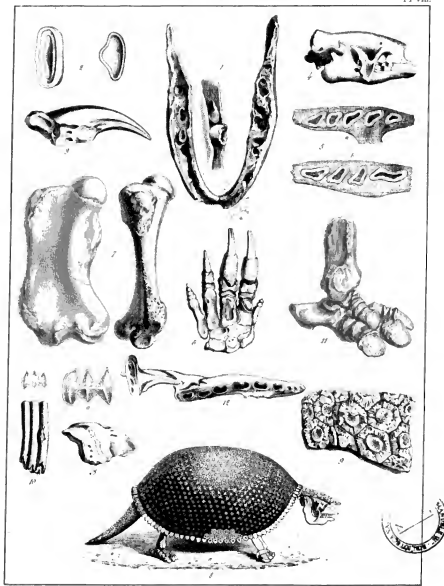
Baïrcroft lith.

Les Imprimeurs de Sene Si l'École

Megatherium et Mylodon.

MAMMIFERA - I dentes.

PI VIII.



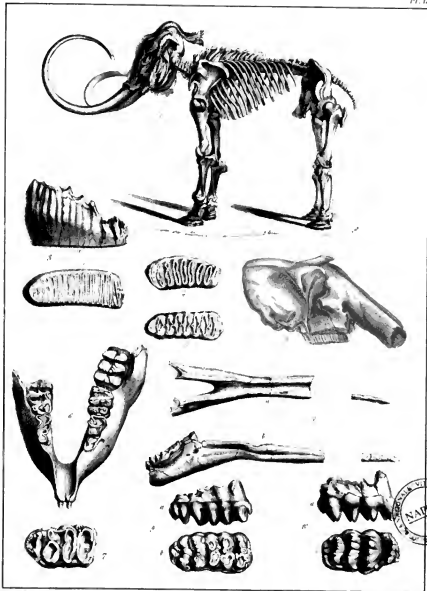
Plaque VIII

les Immeubles Gémeau à Paris

Megalonyx, Scelidotherium, Glyptodon.

Utile pour T.B. Ballot. Librairie à Paris.

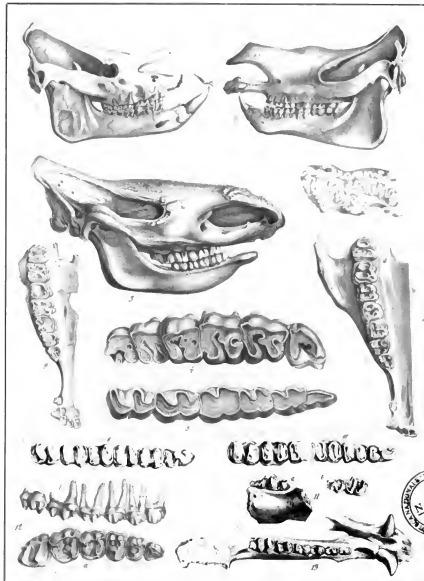
Digitized by Google



éléphants et Mastodontes.

MAMMIFÈRES Particularité des proboscidiens

PL V



Rhinocéros et Tapiroïdes.



148.5.2.16

Rhinocéros et Tapiroïdes.

MAMMIFÈRES Pacaydarmes

Pl. XI.

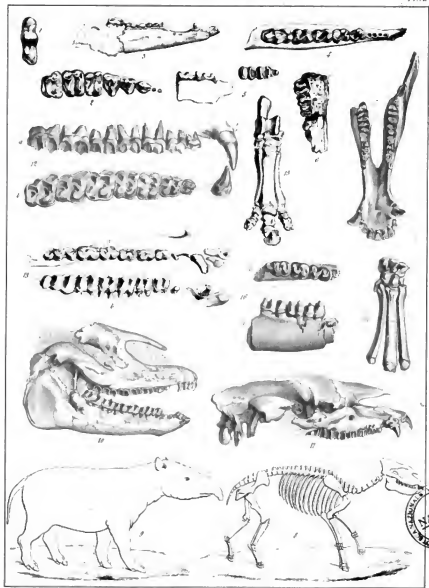


Illustration lith.

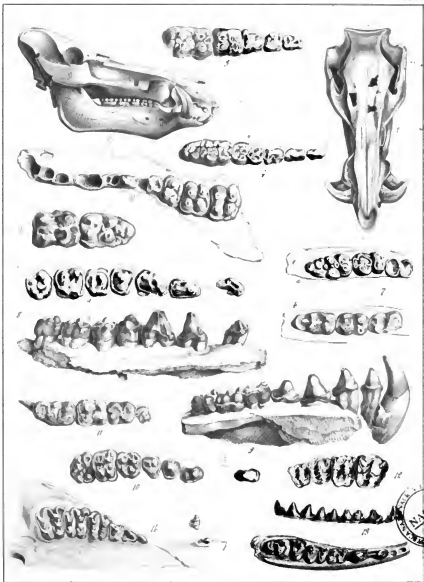
Impr. Gauthier à Paris

Tapiroïdes et Paléothérioides.

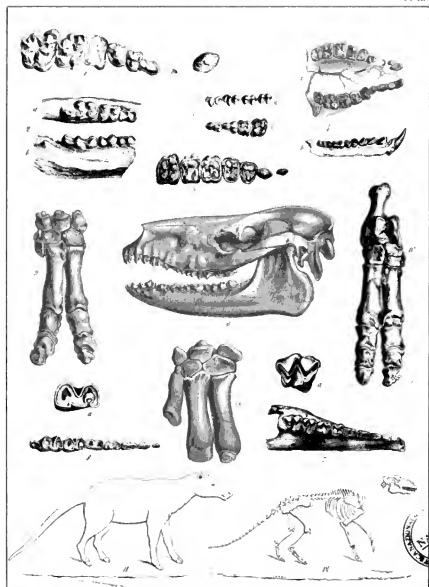


Solipèdes, Macrauchenia, Hippopotamés

Digitized by Google



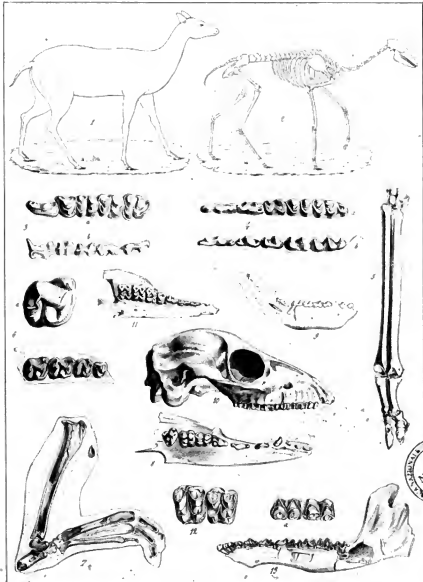
Suilliens (Cochons &c.)



Lithographies J. A.

Dessin J. S. et J. de J. Paris

Suiliens et Anoplotherioides



Bouron int.

Imp. Lemerre et Cie 87 Paris

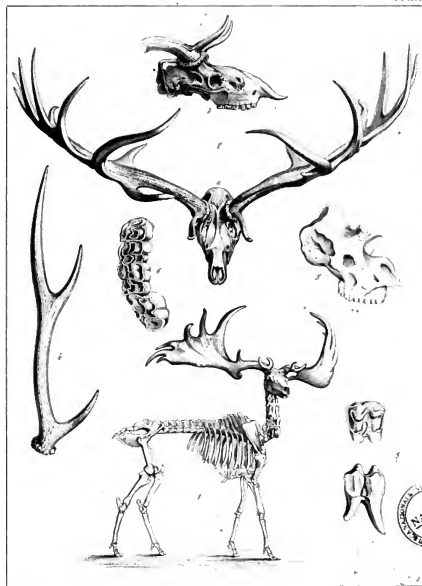
Anoplotherioides

Publié par J. B. Bailleure Librairie à Paris

Digitized by Google

MAMMIFERES Ruminants

PI XVII

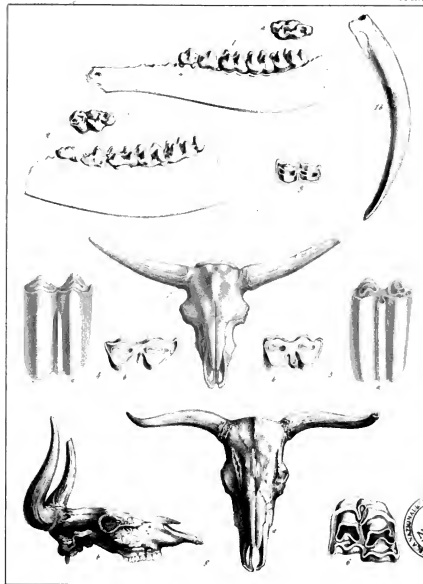


BIBLIOTHEQUE LIBRE

Imp. Lemerre et de Sotz à Paris

Cerfs et Sivatherium

Publie par J. B. Baillière Libraire à Paris



Reproduction

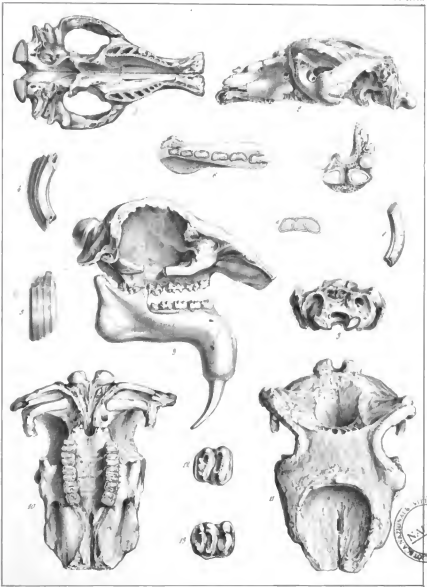
Dupl. Université de Sienne di Pisa

Cervides et Bœufs

Publie par J. B. Bouillet. Librairie de Paris

MAMMIFÈRES incertains

PI XVIII

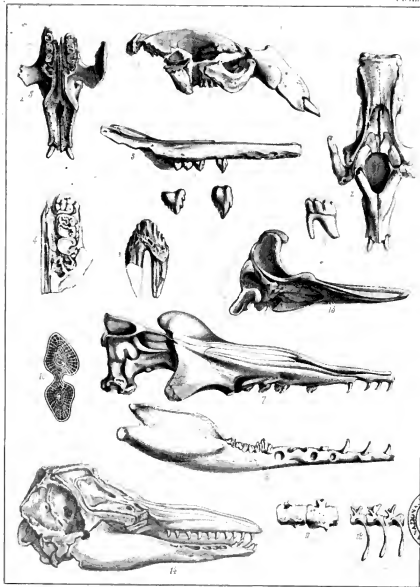


Bonnes Ms

Imp. L'Américaine de Jean St-Péras

Toxodon et Dinothereum.

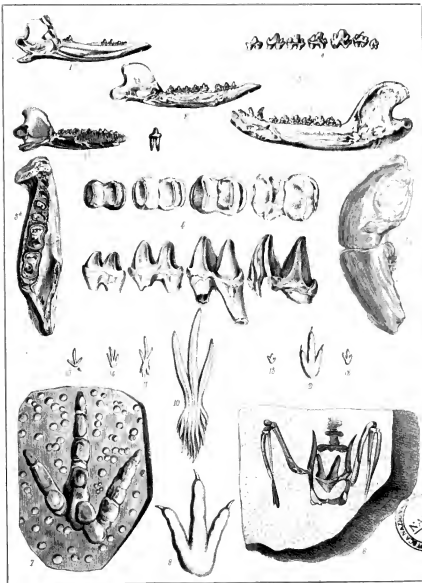
Publie par J. B. Baillière éditeur à Paris,



Bonnier 1853

Imprimé à Paris

Sirénoides, Zeuglodontes, Cétacés.



Bibliothèque

Imp. Lemerre et Cie

Marsupiaux et traces d'Oiseaux.

OISEAUX.

PL. XXI.



Bibliothèque

Im. Lemerre, Paris

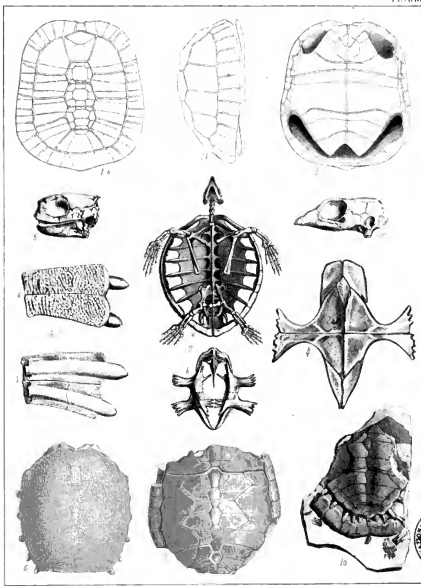
Oiseaux des Terrains Tertiaires, Oiseaux de la Nouvelle Zélande.

Publie par J. B. Baillière, Libraire à Paris

Digitized by Google

REPTILES Chelontens

Pl. XXII.



Præcincta

doct. L. F. T. F. F.

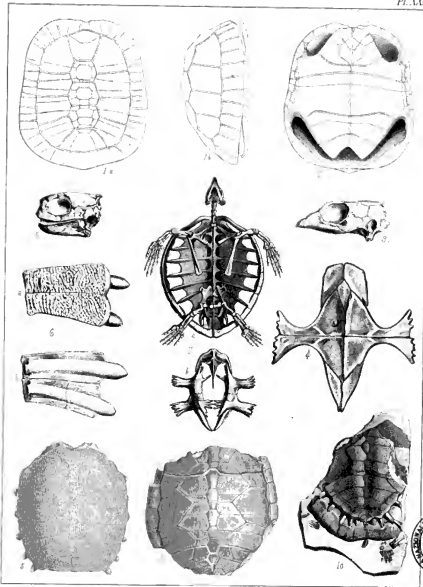
Tortuēs.

Digitized by Google

Digitized by Google

REPTILES Chelonians

PL.XXII.



BOSTON: 1850.

LIBRARY OF CONGRESS

Tortoises.

Edited by Charles H. Smith, Jr., M.A., F.R.S.



Archiv für Natur.

Imp. Lemercier Paris

Megalosaurus et Ilymosaurus

REPTILES Dinosauriens

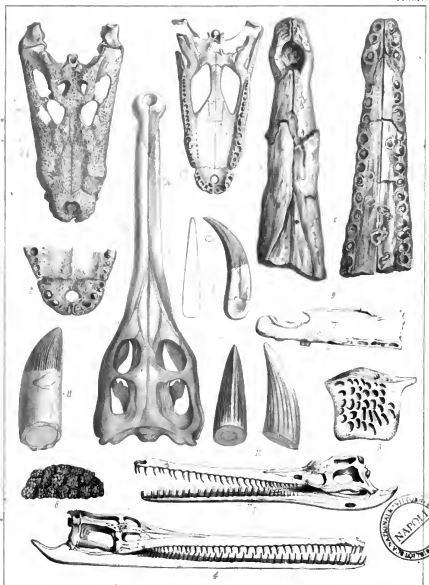
PI XXIV.



Imprimerie de

Imp. Lemerre, Paris.

Iguanodon et Pelorosaurus.

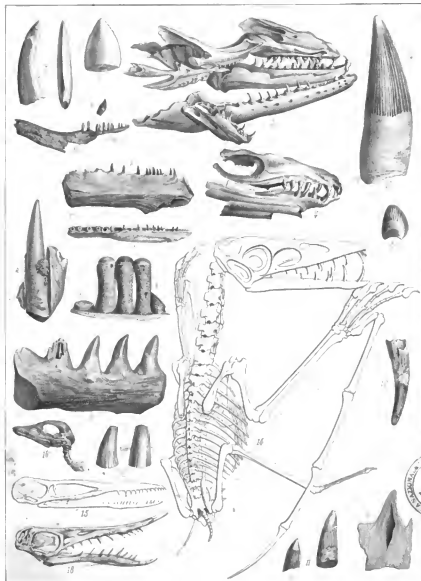


Soc. Zool. de France

Digitized by Google

REPTILES

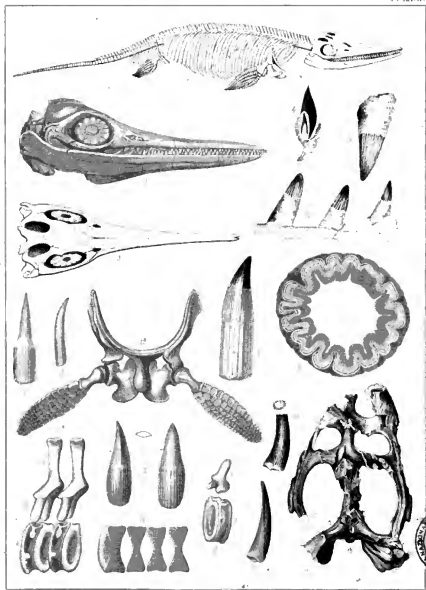
PLXXVII.



Lackerbauer Lib

Imp. Lemercier Paris

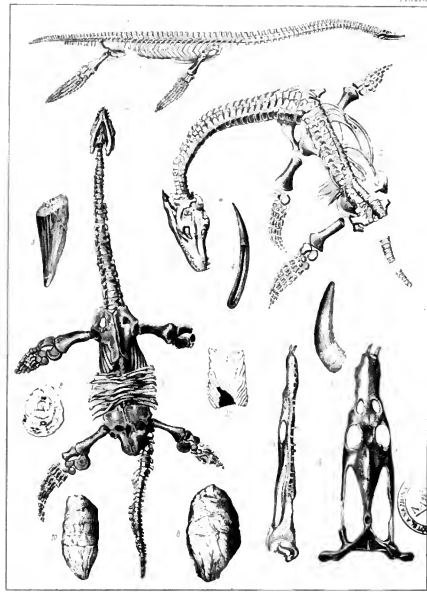
Lacertiformes et Ptérodactyliens



Lemire lith.

Impr. L. Lemire, Paris.

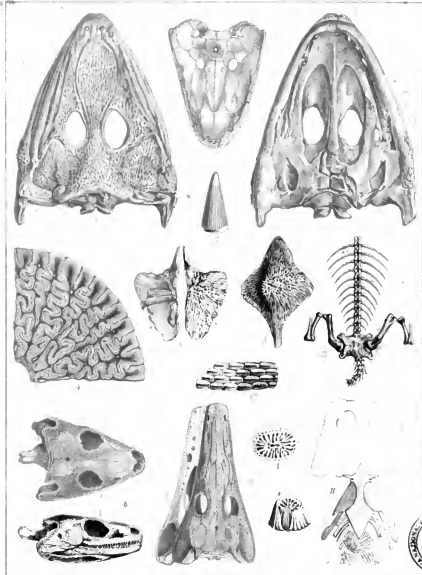
Ichthyosaurus et Simosaurus



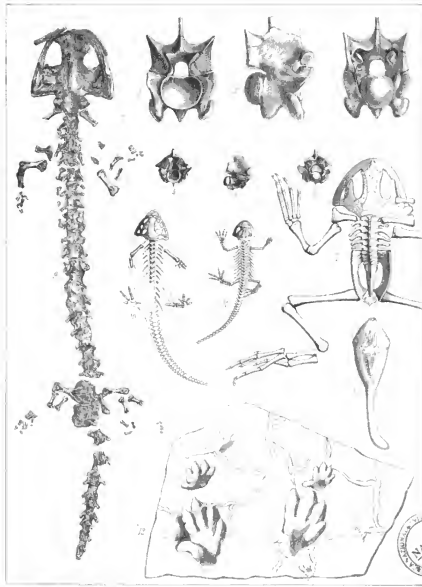
Leyendecker

London: Chapman & Hall.

Plesiosaurus et Nothosaurus.



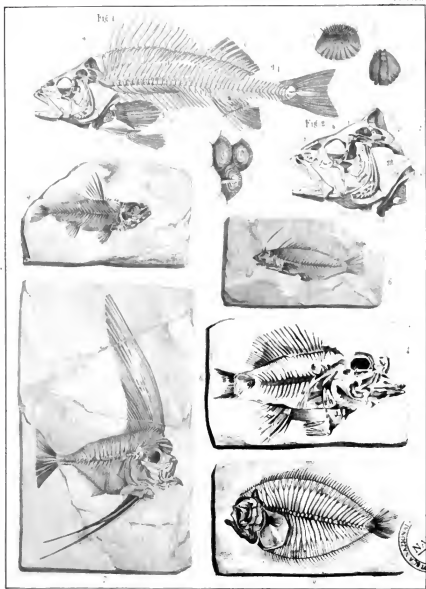
Mastodonosaurus Archegosaurus &c.



Serpents, Grenouilles, Salamandres et Traces de pas

Muséum National

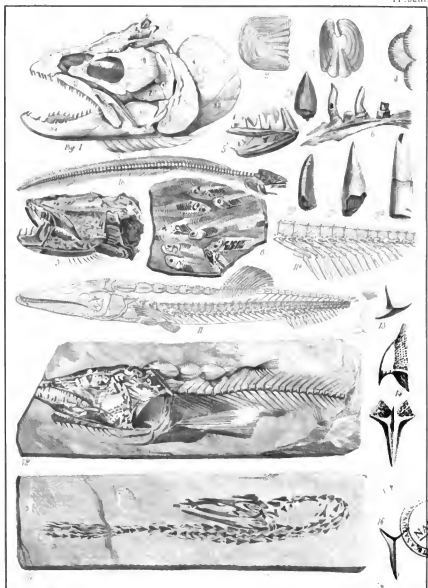




Ctenoides et Pleuronectes.

POISSONS Teleostéens et Ganoides

Pl. XXXII.



Extrait de

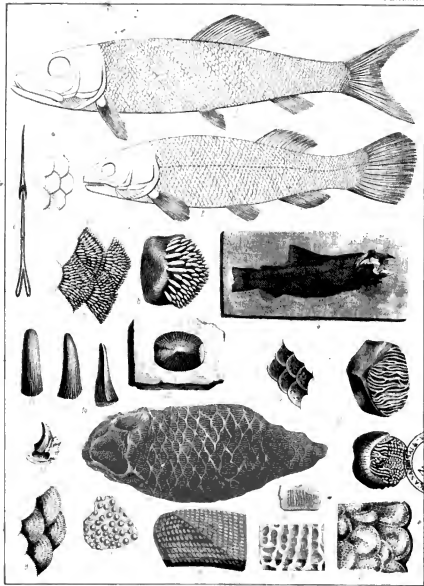
Les Leçons de Poissons

Cycloïdes et Hoplopleurides

Dessin par J.B. Baillière Libraire à Paris

POISSONS Ganoides

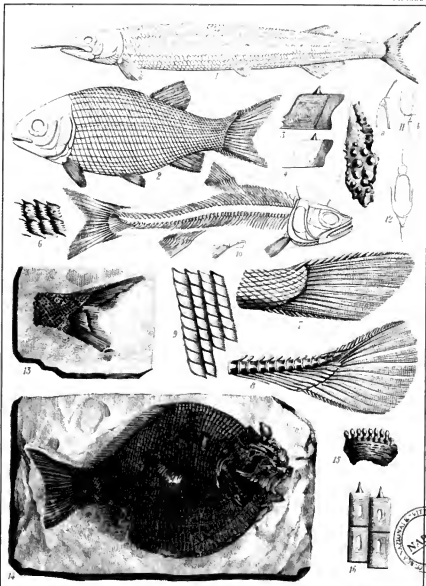
PL. XXXIII



Ganoides Cyclifères.

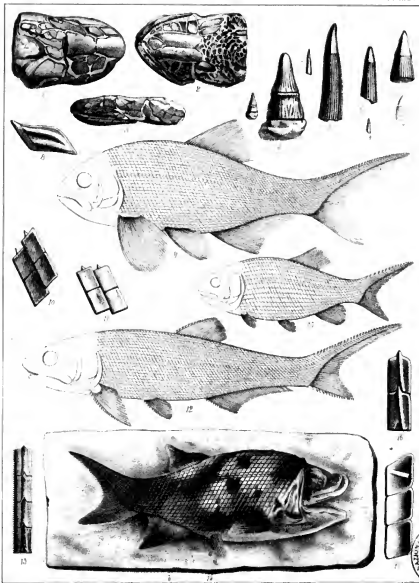
POISSONS. Poissons

Pl. XXIV



Lacoste: 16

Lépidostéides homocerques.



Lépidostéides hétérocercques.

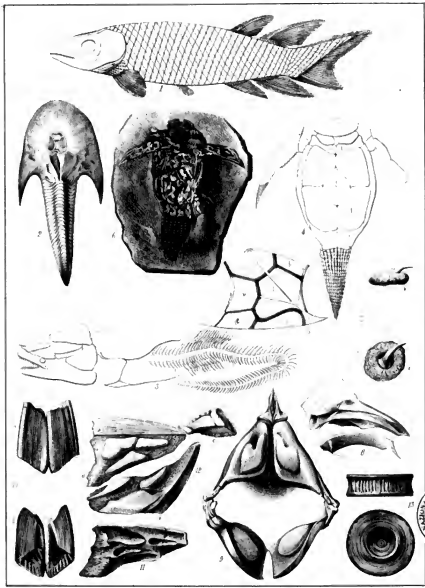


POISSONS Ganoides

PI XXXVI.

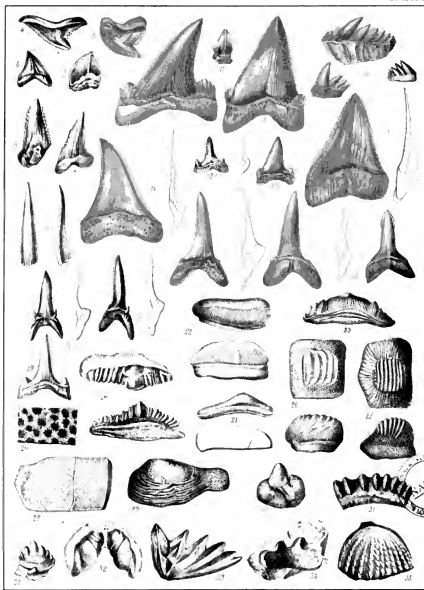


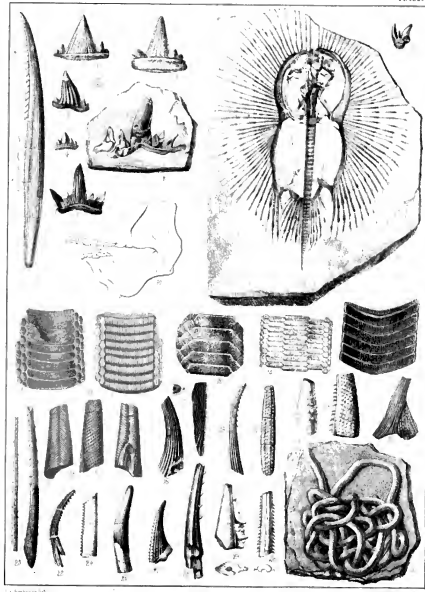
Acanthodiens et Pycnodontes.



Diptériens, Céphalaspides, Chimérides

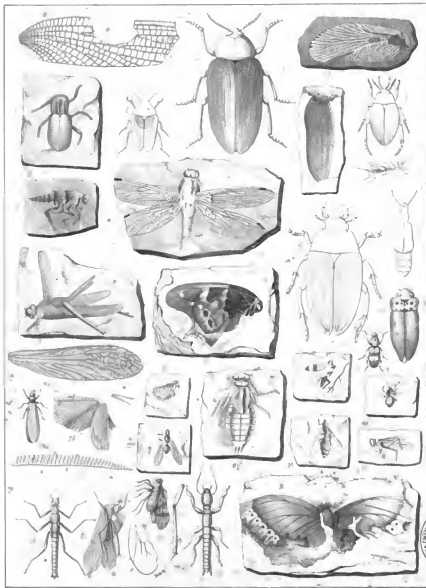






1. 30. Hyodontes, Rajidiens et Ichthyodorulites. 31. Cololithe.





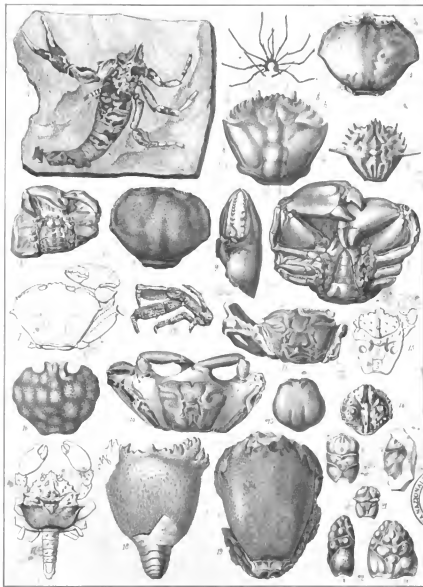
A. L. GARNIER

Imp. Lemerre Frères

Insectes de divers gisements.

ARACHNIDES ET CRUSTACE

PL. XII.



Laurens et fils

Paris, 1860

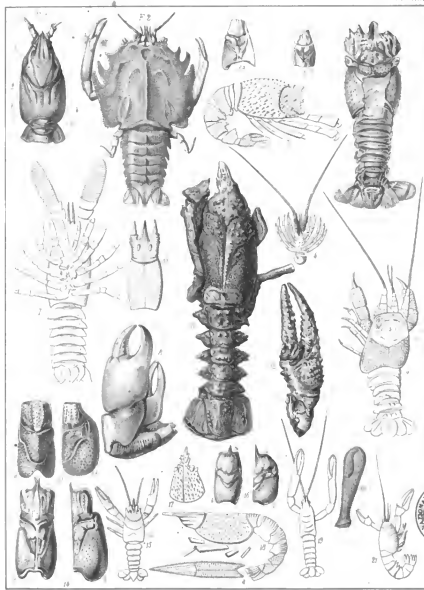
Décapodes brachyures et anomoures

Publie par J. B. Baillière, Libraire à Paris

Digitized by Google

CRUSTACÉS

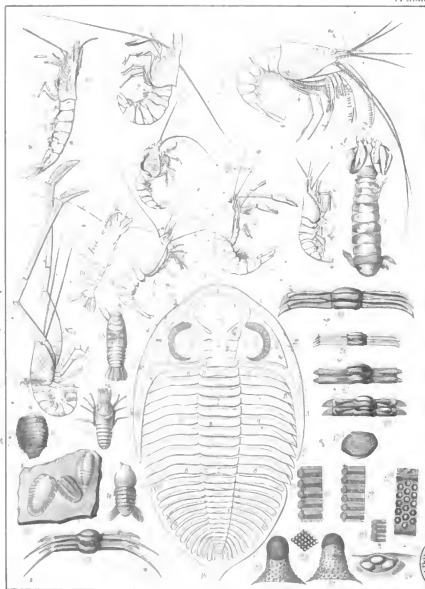
Pl. XII



Lacaze-Duthie

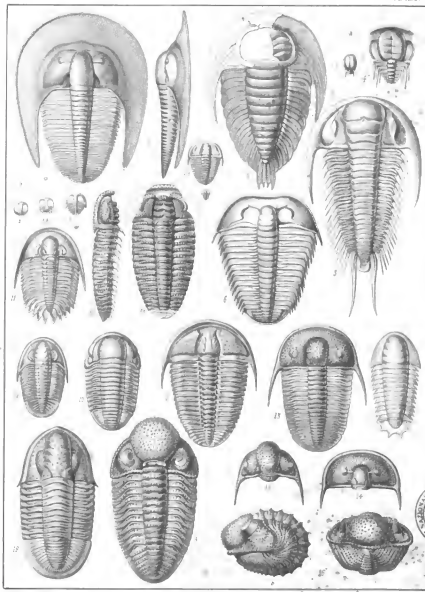
Imp. Lumière Pari.

Décapodes macrourés. (Cirrassés & Astaciens).



CRUSTACES

PL XLIV



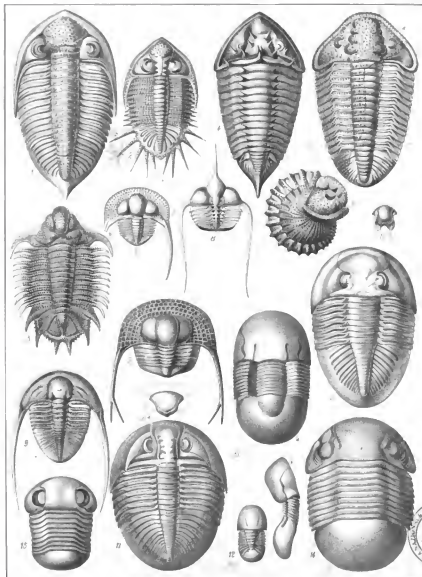
Leuckart's Lith.

By Lamereur & Duvy

Trilobites.

CRUSTACÉS

Pl. XLV.



L'Académie des

Sciences de l'Institut de France

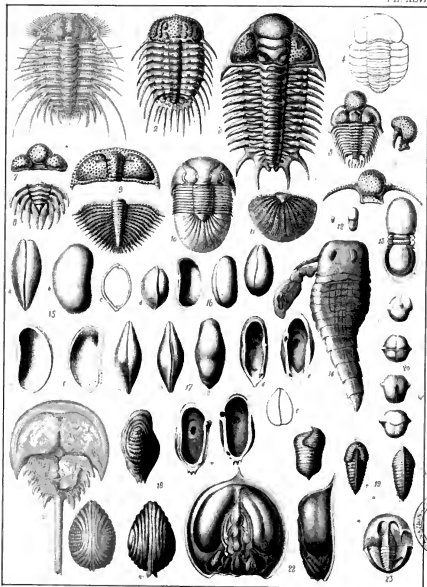
Trilobites.

Publie par J. B. Baillière Libraire à Paris



CRUSTACÉS

PL. XLVI



Lacaze-Buisson

Imp. Lemercier-Paris

Trilobites, Cycloïdes et Xiphosures

ARTICULÉS

PL. XLVII.



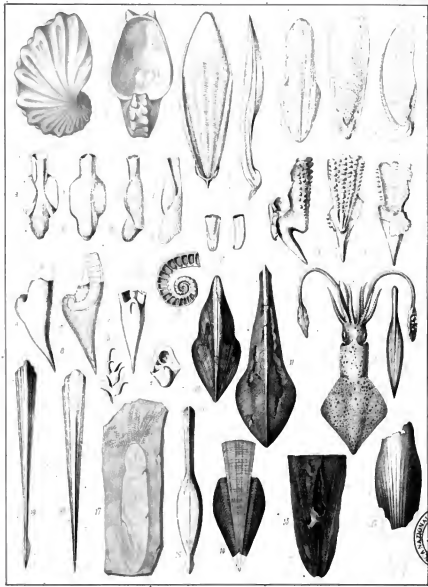
Cochranae Lith.

Dep. à l'Académie des

Cirrhipèdes, Annélides, &c.

D'après une Fig. de l'Académie des





Octopides, Sepides, Loligides, &c.



Lickerbauer lith.

Imp. Lemerre, Paris

Bélemnitédes

MOLLUSQUES CÉPHALOPODES Tentaculifères

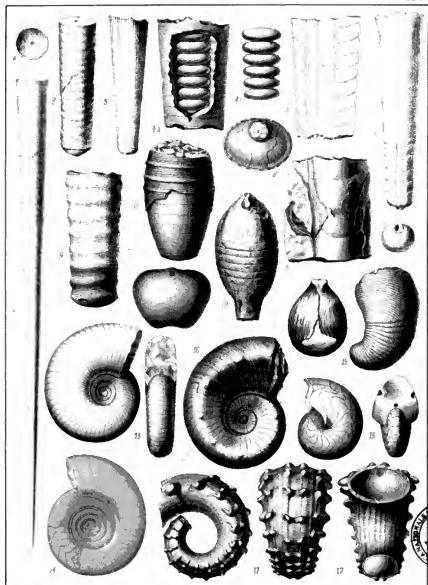
PL.



Leroux-Beauvois

des Travaux de l'Art

Nautilides



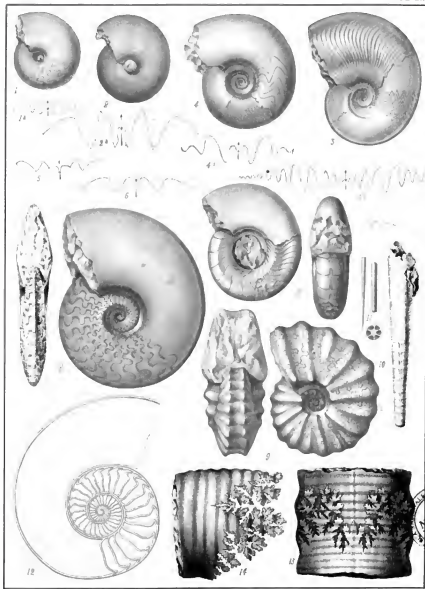
F. GARNIER ET FILS

DÉP. LIBRAIRIE DE DROUOT

Nautilides, Gonophocératites, Clyménides, etc.

CÉPHALOPODES Tentaculifères

PL. LI.



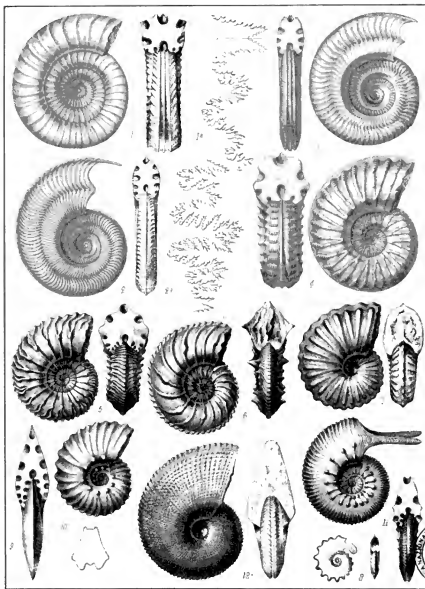
Leidenbauer lith.

Imp. Lemerre & Cie

Ammonitides.

CÉPHALOPODES Tenta subfere

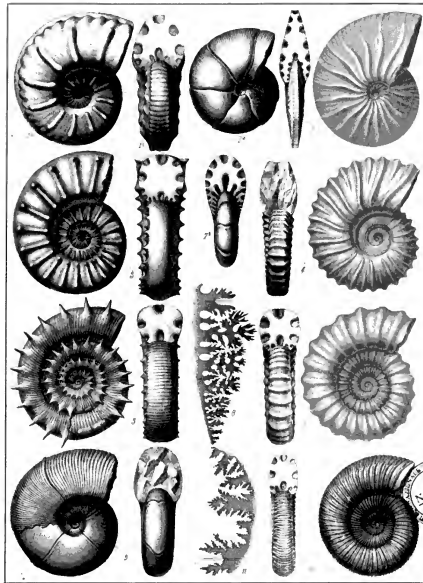
PL LIII



Ammonites

MOLLUSQUES CÉPHALOPODÉS tentaculaires.

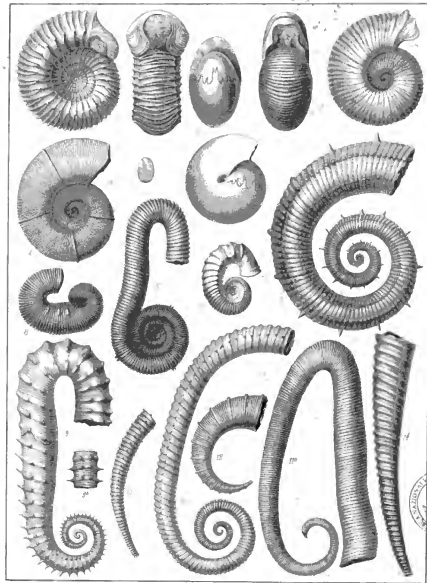
PL. LIV



Aminonites.

MOLLUSQUES CÉPHALOPODIFI'S tentaculaires

PL. LV



Archibaldgeorg. Hoff

Imp. L'Imprimerie Paris.

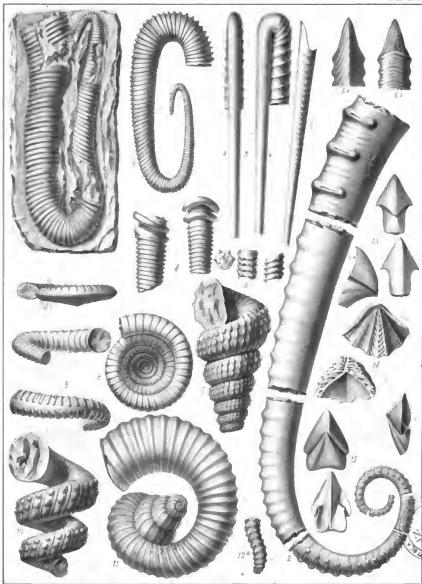
Ammontides

Publié par J. B. Baillière, Librairie à Paris.

Digitized by Google

MOLLUSQUES CEPHALOPODES Tentaculifères

PL. LVI

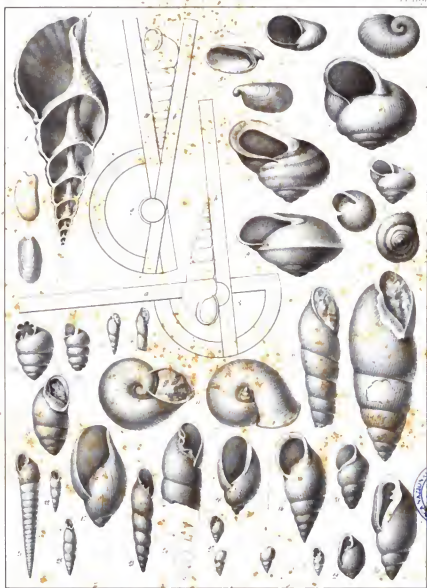


Fischerhausen filii

Ammonites

Publie par J.B. Baillière, Libraire à Paris

Digitized by Google



Limicoides, Colimacides, Auriculides.

MOLLUSQUES GASTROPODES Planaires & Pectinibranches

PI. XXII



MOLLUSQUES GASTÉROPODES Pertumbanches

PI. LIX



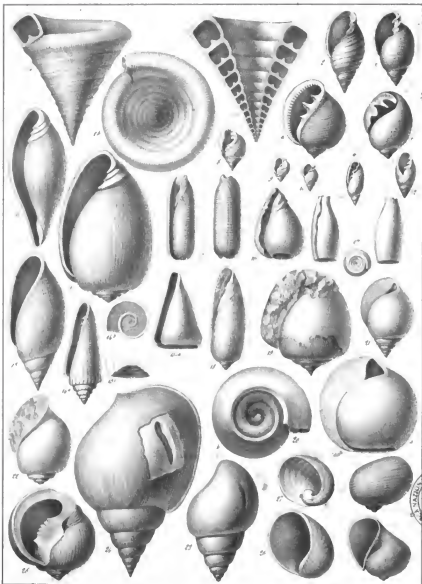
Pyramidellides.

Publie par J B Baillière, Libraire à Paris

Digitized by Google

MOLLUSQUES GASTÉROPODES Pectinibranches

Pl. I, 3



Liekerbayer 5th

Java Interview Form

Pyramidellides et Naticides.



Longueur 20

Imp. Lemerre, Paris

Naticides. Néritides. Trochides.

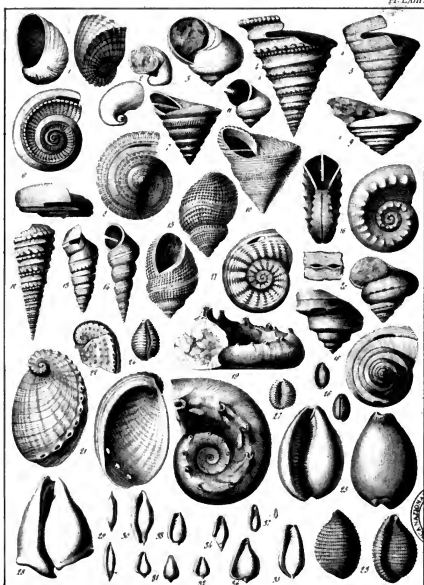
Édité par J. B. Baillière, Libraire à Paris.



Trochides.

MOLLUSQUES GASTÉROPODES Pectinibranches

PI. LXXXI.



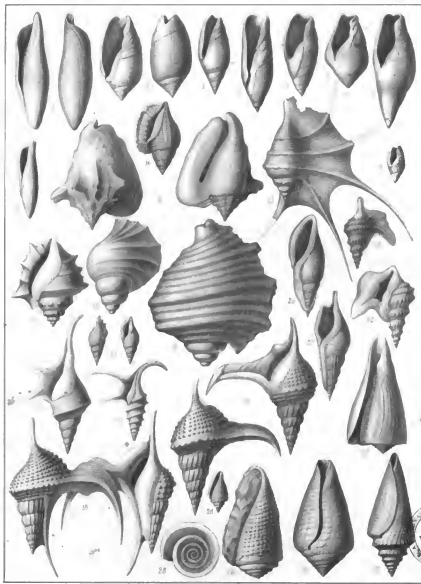
P. L. Leuckart, lith.

Impr. de l'Imprimerie Paris.

Haliotides et Cypréades.

Publié par J. B. Baillière Libraire à Paris

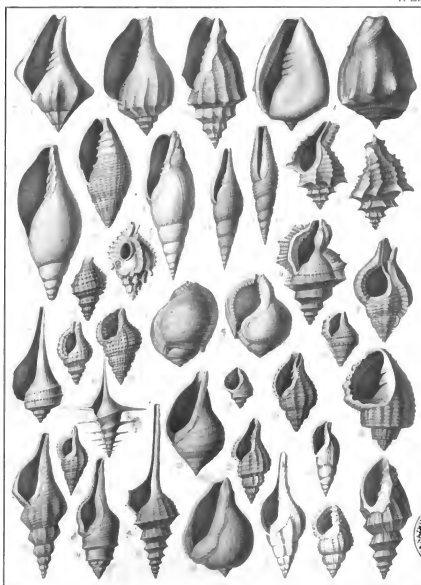




Laurensius. 72.

Monographia. 37.

Olivides, Strombides, Conides.



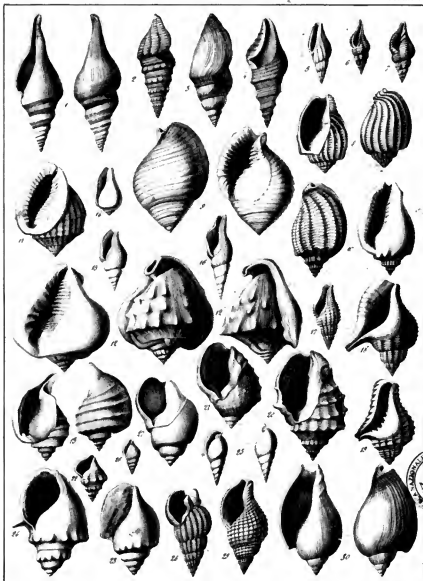
Volutides et Muricides.

Édité par J. B. Baillière et Fils.



MOLUSQUES GASTEROPODES Pectinibranches

PI. LXV.



Fischer-Hauer lith.

Impr. Desmet à Paris

Muricides et Buccinides.

MOLLUSQUES GAS'TEROPODES Pectinibranches

PI LXVII



MOLLUSQUES GASTEROPODES Pectinibranches

PI LXVIII



Eckstein'sch.

sup. Tenuiss. Pen.

Crépidulidés et Fissurellidés



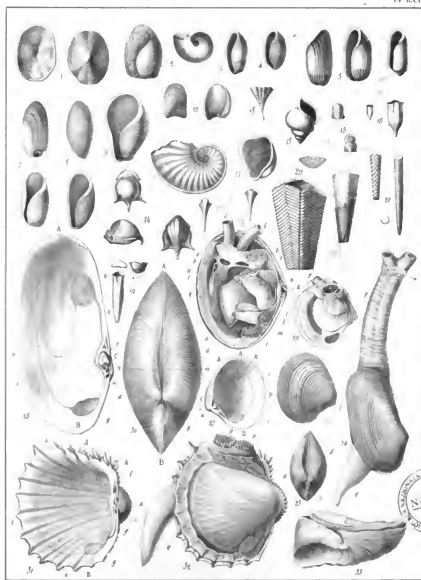
J. C. Lachmann 186

Imp. Demarteau Paris

Fissurellides, Acméides, Cyclobranches, Dentalides.

Publié par J. B. Baillière Libraire à Paris

Digitized by Google



Lachmann tab.

Imp. Garnier Frères Paris

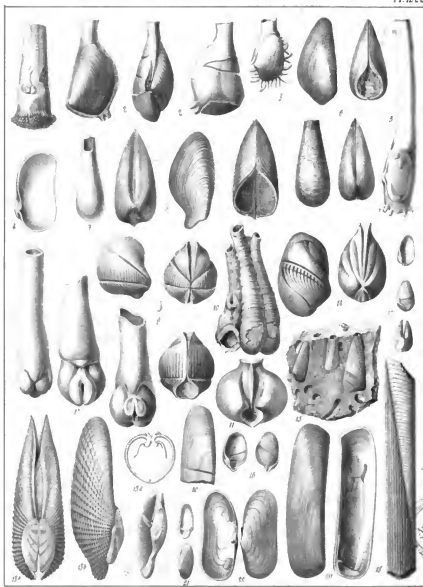
Tectibranches . Hétéropodes , Ptéropodes

Caractères généraux des ACÉPHALES

Publie par J.B. Baillière, Libraire à Paris

MOLLUSQUES ACEPHALES Orthoconques Sénarialeales

PI. LXV



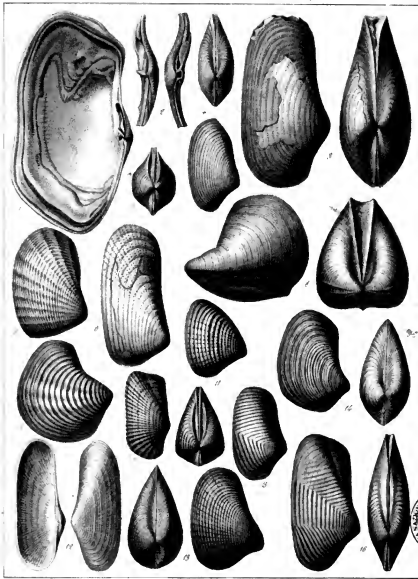
Lamarck 1801

Imp. Lemerre Paris



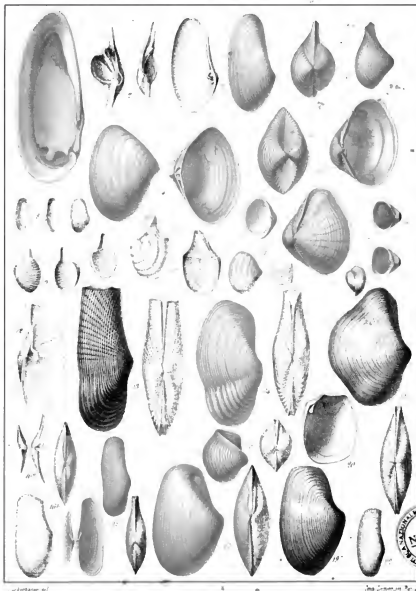
Clavagellides, Pholadides, Solénides.

P. Lemerre 15 Bailliére Librairie à Paris



BRUNNEN DE PARIS

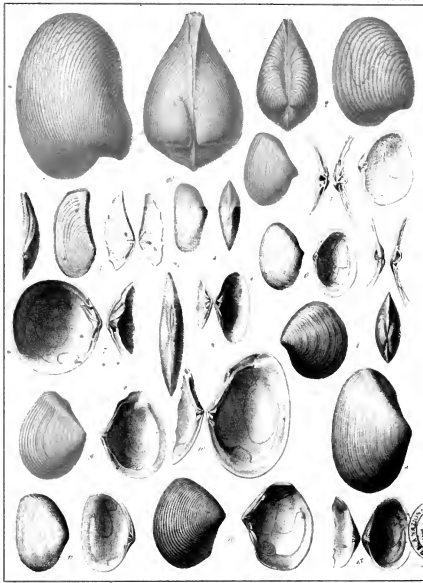
Panopées et Pholadomyes



Mycides, Mactrides; Corbulides, Anatinides

MOLLUSQUES ACÉPHALES Orthoconques Sinupallidæ

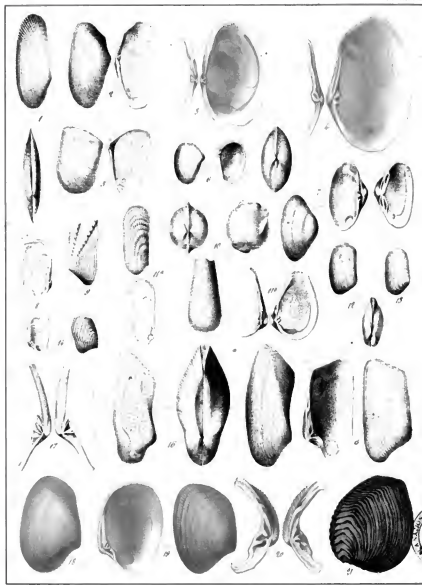
PI. LXIV



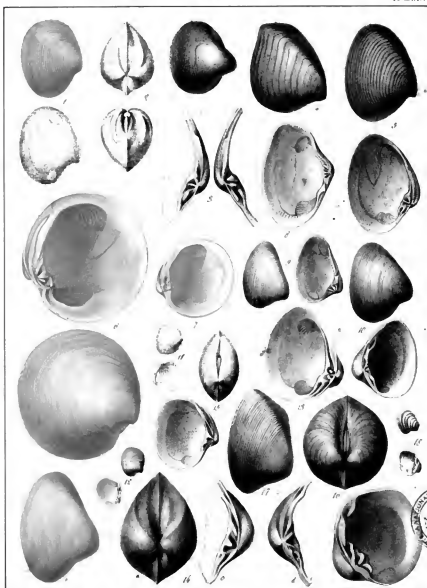
Collection de

PI. LXIV

Anatinides, Mésodesmides, Amphidesmides, Tellinides



Tellinides, Pétricolides, Cythérides.



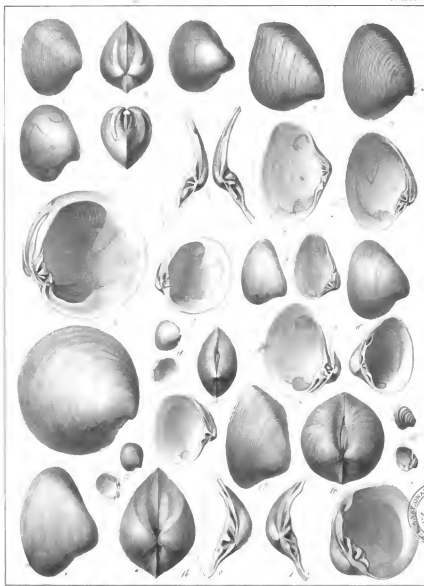
Fischer-Laufer del.

M. G. D. de T.

Cytherides, Cyclasides, Cyprinides

MOLLUSQUES ACEPHALLES Orthoconques Simpaticules

PL XXV



L'atelier de J. G.

Imp. Comptoir Paris.

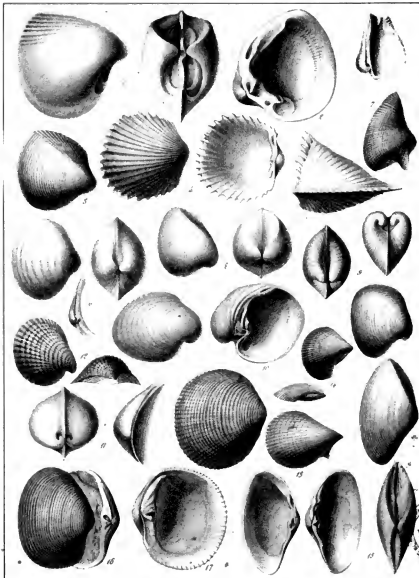
Cytherides, Cyclasides, Cyprinides

Publié par B. Baillière et Fils à Paris.

Digitized by Google

MOLLUSQUES ACÉPHALES Orthoconques Integropalléales

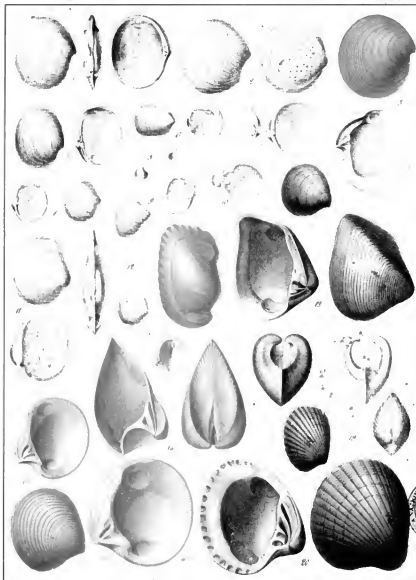
PI. LXXII



Cardides et Lucinides.

Publié par J. P. Blaustein à Paris

Digitized by Google



Lucinides et Astartides.

MOUJQUES ACINNALES Orthoconques integropalléales.

PL XXX



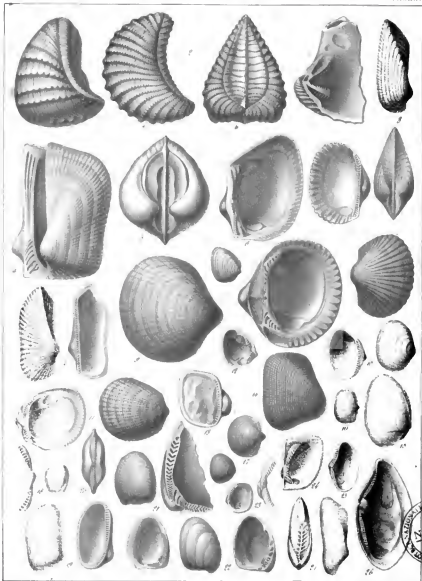
carthageen del

Imp. Levrault et Fils

Astartides, Unionides, Carlonotides, Trigonides.

Publie par B. Baillière Libraire à Paris

Digitized by Google

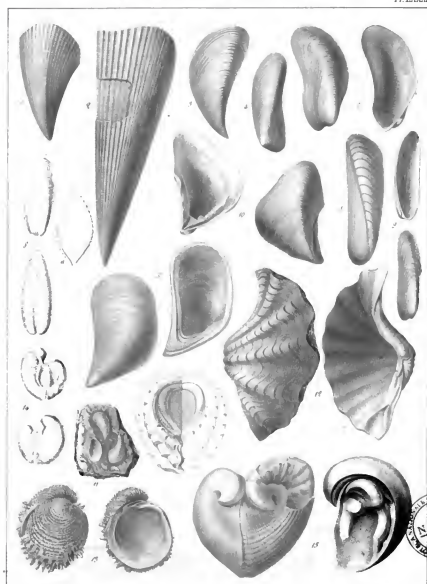


Monographie

Imp. Lemercier Paris

Trigonides et Arcacides.

Édité par J. B. Baillière, librairie à Paris



La Jérôme fil

Imp. Gauthier-Duval

Mytilides, Tridaenides, Chamides.

MOLLUSQUES ACEPHALIQUES. Pleurocoquines

PL XXXV



L'Amateur des

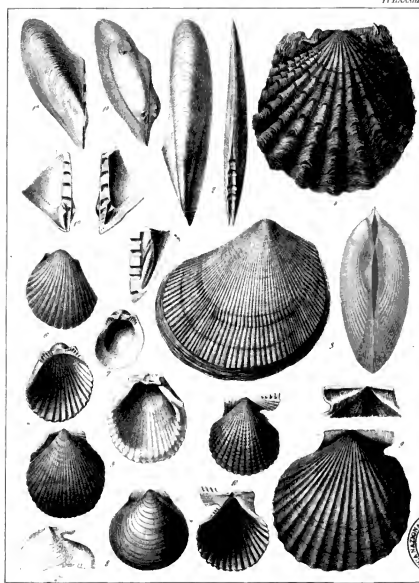
Minéraux Paris

Malléacés.

Publié par J. B. Biadene Libraire à Paris

MOLLUSQUES ACÉPHALES Placoques

PILAISON



Lauchique des

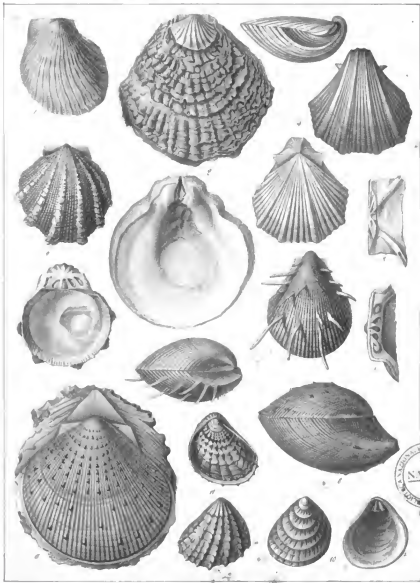
Levée à Paris

Malléacés, Limides, Pectinides

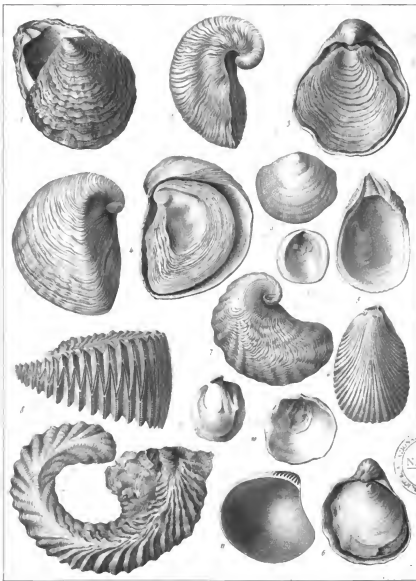
Publie par J. B. Baillière, Libraire à Paris

MOULS SOUFFS ACEPHALES Pleuroconques

H.J.XXIV



Pectinides



Lüderitzauer det.

Jug. Leemaeer Pera

Ostracés

Publie par J. B. Baillière Libraire à Paris

MOLLUSQUES Brachicopodes

PI. LXXXVI.



Lacaze-Duthier del.

Imp. Gérard et Fils



Térebratulides et Thécidéides

Publie par J.B. Baillière, Librairie à Paris

Digitized by Google

MOLLUSQUES Brachiopodes

PL. LXXXV.



L'Erckhausen lith.

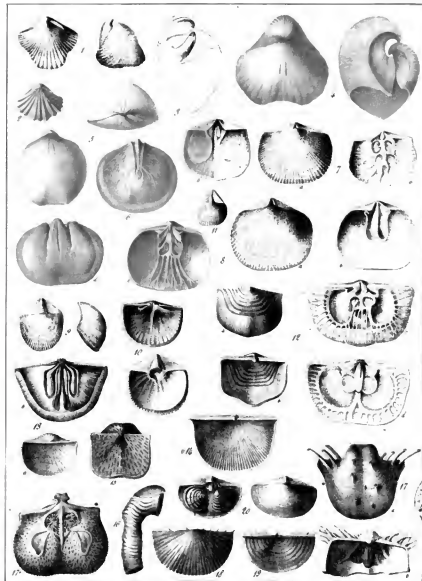
Imp. Lemercier Paris

Spiriférides et Rhynchonellides.

Publie par J B Baillière Libraire à Paris

MOLLUSQUES Brachiopodes

PI LXXXVIII



Engraving by J. B. Baudouin

Imp. J. Denonville, Paris

Rhynchonellides et Productides.

Published by J. B. Baillière Librairie à Paris

Digitized by Google





Lacaze-Duthiers del.

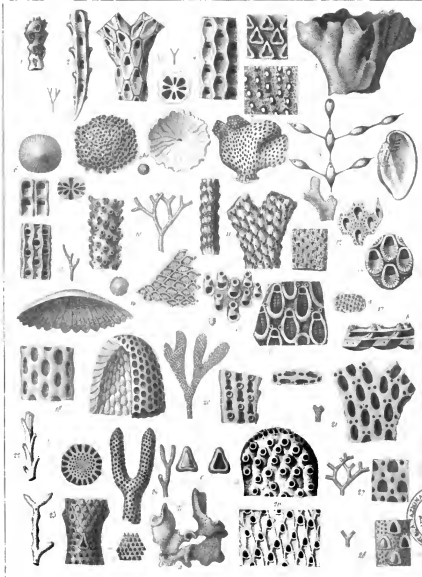
D'Orbigny Paris

Calcéolides, Cranides, Orbiculides, Lingulides... Rudistes.



MOLLUSQUES Bryozoaires

104



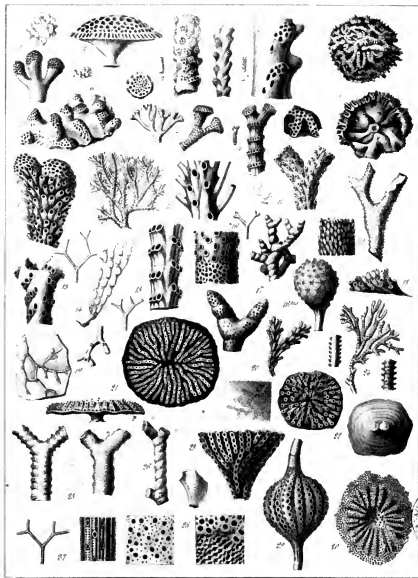
“*an infection site*

big changes. 8

Cellarioïdes , Escharoïdes , Flustinoïdes , Crisides , Operculinés

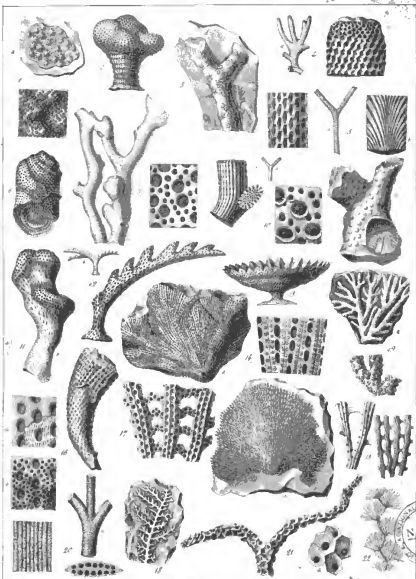
Publié par J. B. Bailliére, Libraire à Paris

Digitized by Google



Lactenbauer lith.

Tubuliporides

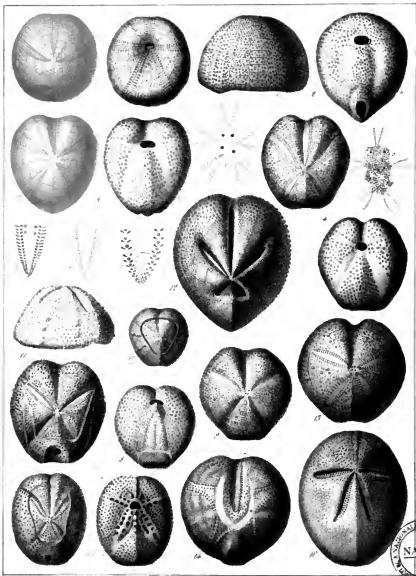


Leclercque del.

Dep. Gendarmerie Toul.

Tubuliporides

Publie par J.B. Baillaud et C. R.



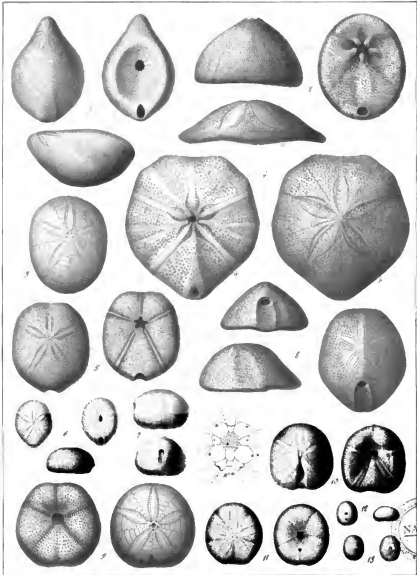
Spatangooids



COPPIER

ECHINODERMES - Echinides

Pl. XCIV.

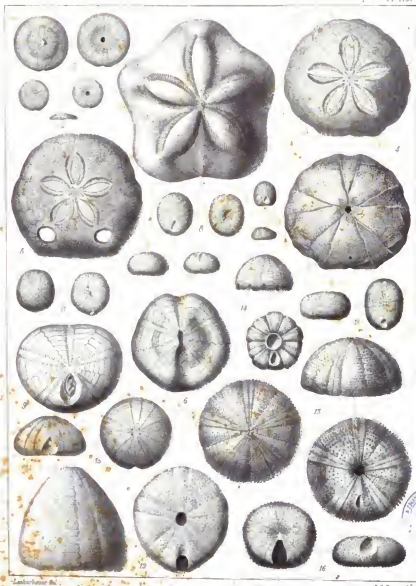


Lachassagne del.

Imp. Lemerre et Cie

Clypéastroïdes

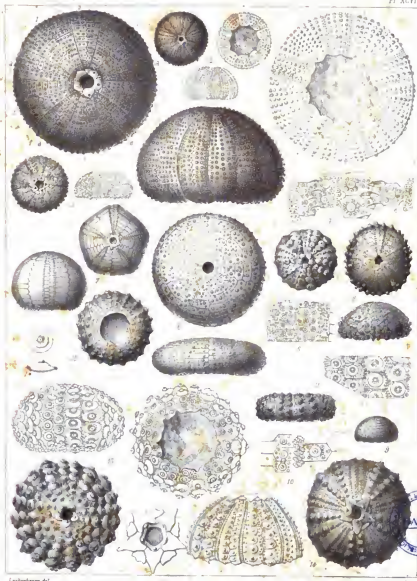
Publie par J. B. Baillière et Fils à Paris



Clypéastroides.

ECHINODERMES Echimides.

Pl. XCVI

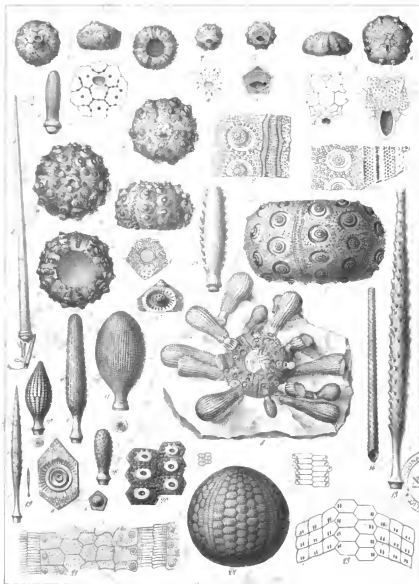


Cidarides latistellés.

Publié par J.B. Baillière et fils. Libraires à Paris

ECHINODERMES Echinides

Pl. XVII



ECHINIDÉMES Steller 1803

PL. ACTINI.



London 1803

Dep. Librairie, Paris

Astérides et Ophiurides

Publié par J. B. Dujardin, et fils à Paris

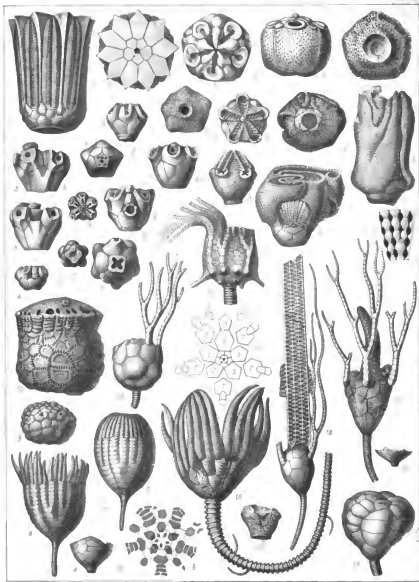
ECHINIDÉS COMMUNES

Pl. XCIX



ECHINODERMES Crinoïdes

Pl. C



Lecherbauer del.

Le Brun imprimeur

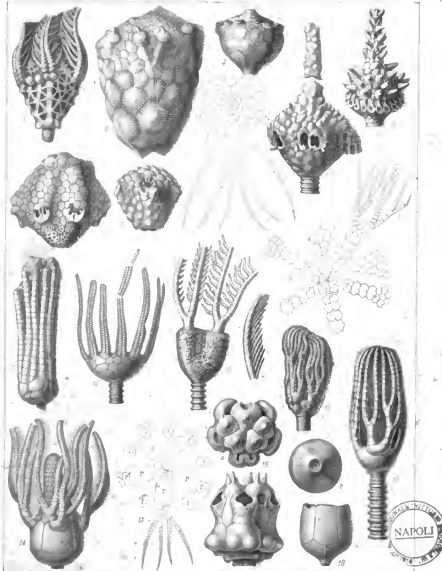
Polycrinides, Haplocrinides, Anthocraïdes et Cyathocrinides (Cyathocrinus).

Publie par J. B. Baillière et fils Libraires à Paris.



EDENTATES Crinoïdes.

Pl. CI



Lacaze-Buisson del.

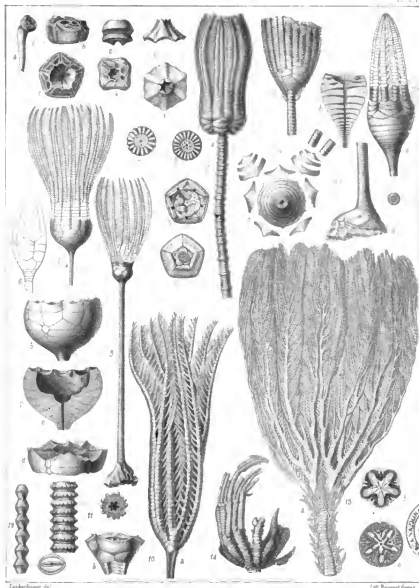
J. J. Beaufort Paris.

Cyathocrinides (Actinocriniens, Carpocriniens et Platycriniens.)

Publie par J. B. Baillière et Fils, Libraires à Paris.

ECHINODERMES Crinoïdes.

Pl. C7



Landerbauer del.

Lith. E. Beaufort frères

Pycnocrinidées (Eugenacriniens, Encriniens, Apocriniens et Pentaocriniens)

Publié par J. B. Baillière et fils Libraires à Paris

Digitized by Google

POLYPS Zoanthaires apores.

Pl. CIII



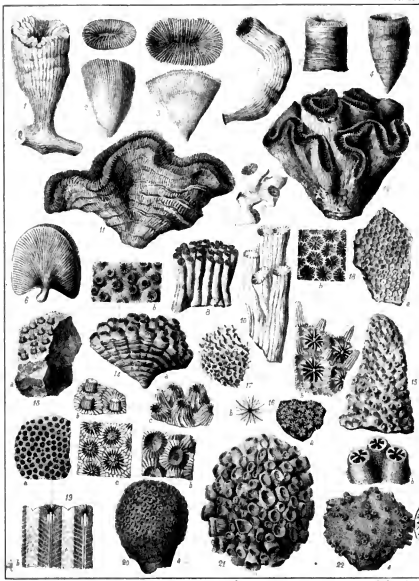
Lateral view

Frontal view

Turbinolides et Oculinides.

DPLATES. Zoophytes apores.

Pl. CIV



Leichtweiss del

Zittel-Braun-Pfeiffer

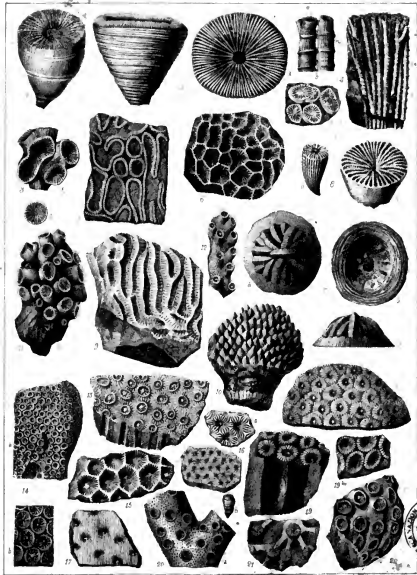
Astreides Eusmilides.

Publ. par J.B. Baillière et fils. Libraires à Paris



POINTEZ ZOANTHIDIES apores

P. C.



zeichnungen der

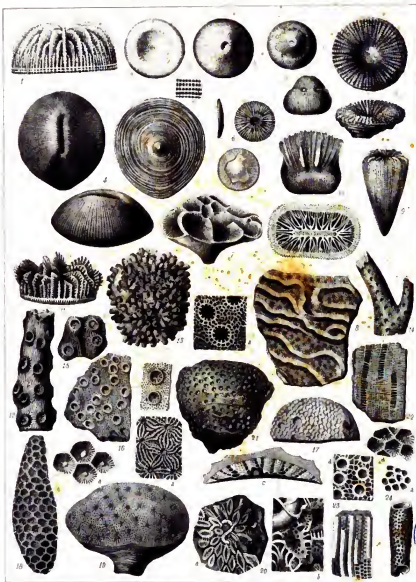
Lith. Boucq-Braun

Astréides proprement dites.

Publie par J.B. Baillière et fils Libraires à Paris



POUPE'S ZOANTHIDES apertes perforées et tubulaires



Leuckart del.

Gravé par G. ...

Fungides, Madrépores, Porides, Milléporides.



Faunes ZOOTOMAIRES Tabules et Régne



Lithographie de

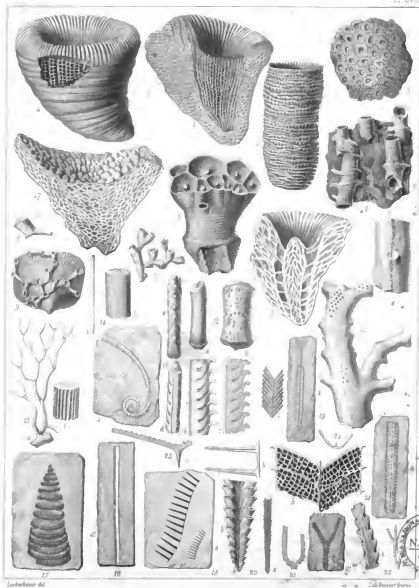
Litho-Bonapart Paris



Favositides. Sératoporides, Thécides, Staurides, Cyathaxonides et Cyathophyllides.

ZANTHAIKES et ALCYONAIKES

P. 252

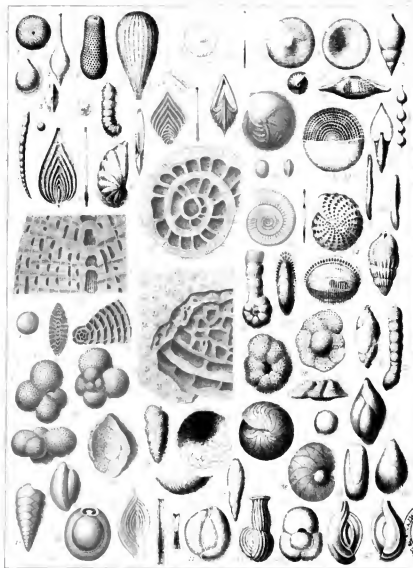


Liebermann del.

Zollinger Brux.



Cyathophyllides, Auloporidae, Alcyonides, Graptolithides.

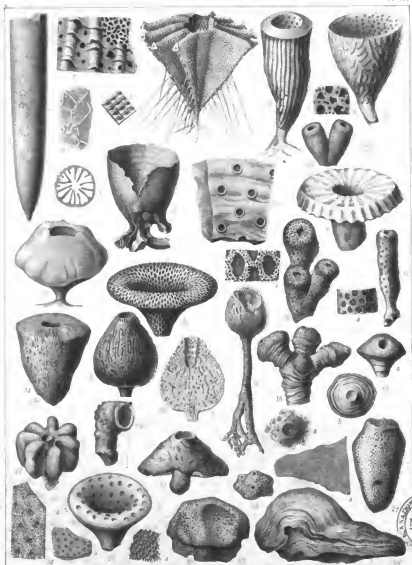


Foraminifères.



SPONGES

HG



Liebeleser des

10 Second Form

Clionides et Pétrospongides.



SBN 647385









